



دانشکده برق و رباتیک

پایان نامه کارشناسی ارشد مهندسی برق
گرایش قدرت

طراحی و شبیه سازی یک فیلتر فعال برای بهبود کیفیت توان

یک مرکز رایانه‌ای با تکیه بر منطق فازی

جاوید خراسانی

اساتید راهنما

دکتر علی اکبر قره ویسی
دکتر سید ابراهیم حسینی

تابستان ۱۳۸۴

به نام آنکه

هر چه هست و نیست

از لطف و حکمت اوست

... این اندک را پذیر

تقدیم

به آنکه

با دلواپسی‌ها یش همراه من است

با حمایت و حضورش امید را در من زنده نگاه می‌دارد

مرا دوست دارد و از پیشرفت من شاد می‌شود



پدر، مادر

و همه عزیزانم

«متشرکرم»

اساتید گرانقدر

جناب آقای دکتر علی اکبر قره ویسی

جناب آقای دکتر سید ابراهیم حسینی

حسن ظن شما به اینجانب و راهنماییها و حمایتهای محبت آمیزتان در انجام این پایان نامه مایه مباحثات و افتخار من است. همواره ارادتمند شما خواهم بود.

جاوید خراسانی

از اساتید محترم

جناب آقای دکتر احمد دارابی ، جناب آقای دکتر علی دستفان

و جناب آقای دکتر محمد رضا رفیعی

که مسؤولیت دفاع این پایان نامه را بر عهده گرفتند تشکر می‌نمایم.

همچنین از دوستانم در دانشگاه صنعتی شاهرود که در این مدت همراه من بودند،
نیز دوست و برادر عزیزم آقای مهندس رضا ریحانی کمال تشکر را دارم.

جاوید خراسانی

چکیده

کامپیوترها از جمله وسایلی هستند که در بسیاری کاربردهای خانگی، تجاری و صنعتی به طور گسترده یافت می شوند. این دستگاهها که از منابع تغذیه سوئیچینگ بهره می برند مصرف کننده هایی غیر خطی هستند که جریانی با هارمونیکهای بالا مصرف می کنند. به این ترتیب این جریان مغشوش و هارمونیکی به میزان زیادی بر مؤلفه های کیفیت توان از جمله اعوجاج هارمونیکی کل جریان و ولتاژ تاثیر منفی می گذارد. از این جهت در این پایان نامه با در نظر گرفتن یک مدل جریانی برای کامپیوتر شخصی، یک فیلتر فعال تکفاز برای یک مرکز کامپیوتر طراحی شده است. مدل سازی این مرکز و فیلتر فعال اینورتری مورد نظر در نرم افزار MATLAB و حل معادلات آن به روش اویلر انجام گرفته است. در این راستا برای محاسبه مؤلفه اصلی جریان از روش تبدیل فوریه بهبود یافته با پنجره لغزان استفاده شده است. همچنین به عنوان یک روش دیگر، یک شبکه فازی-عصبی تطبیقی پیشنهاد و نشان داده شده است که نتایج حاصل از هر دو روش به میزان زیادی به هم نزدیک می باشد. در بخش دیگر یک کنترلر فازی برای کنترل ولتاژ باس DC طراحی و با یک کنترلر خطی مقایسه شده است. کنترلر فازی در حالت دائمی پاسخی بهتر از خود نشان می دهد و به تغییرات پارامترهای سیستم از جمله بار حساسیت کمتری دارد. نتایج شبیه سازیها نشان می دهد که عمل حذف هارمونیکهای جریان بار بخوبی انجام گرفته است.

کلمات کلیدی: فیلتر فعال-کامپیوتر-کیفیت توان- منبع تغذیه سوئیچینگ- کنترل فازی- ANFIS

فهرست عناوین

صفحه	عنوان
۱	فصل اول: مقدمه
۱	۱-۱ مقدمه
۲	۲-۱ تاثیر اغتشاشات
۳	۳-۱ کامپیوتراها
۳	۴-۱ فیلتر فعال، راه حلی برای مشکلات کیفیت توان
۴	۵-۱ تاریخچه
۵	۶-۱ بخش‌های پایان نامه
۷	فصل دوم: ساختار مداری فیلترهای فعال
۷	۱-۲ مقدمه
۷	۲-۲ روش کلی جبران
۹	۳-۲ روش اتصال فیلترهای فعال قدرت
۹	۱-۳-۲ فیلترهای فعال موازی
۱۱	۲-۳-۲ فیلترهای فعال سری
۱۴	۳-۳-۲ فیلترهای فعال سری-موازی
۱۴	۴-۳-۲ فیلترهای فعال مرکب
۱۶	۴-۲ انواع مدارهای فیلترهای فعال
۱۸	۵-۲ فیلتر اینورتری تکفاز
۲۱	۶-۲ تولید شکل موج جریان مرجع
۲۳	۷-۲ محاسبه متغیر جبران شدنی
۲۳	۱-۷-۲ روش‌های آنالوگ
۲۴	۲-۷-۲ محاسبات FFT دیجیتال
۲۴	۳-۷-۲ الگوریتم جبران توان جعلی
۲۵	۴-۷-۲ روش‌های دیگر

۲۵	۵-۷-۲ تحلیل فوریه بهبود یافته با پنجره لغزان
۲۵	۸-۲ روش‌های کنترل
۲۵	۱-۸-۲ کنترل حلقه باز
۲۶	۲-۸-۲ روش‌های کنترل حلقه بسته
۲۶	۱-۲-۸-۲ روش ولتاژ ثابت خازن
۲۶	۲-۲-۸-۲ روش جریان ثابت سلف
۲۷	۳-۲-۸-۲ روش‌های بهینه سازی
۲۷	۴-۲-۸-۲ تکنیک کنترل خطی ولتاژ
۲۷	۵-۲-۸-۲ روش‌های دیگر
۲۸	۳-۸-۲ استفاده از کنترلر فازی

۲۹	فصل سوم: مدل بارهای کامپیوتروی
۲۹	۱-۳ مقدمه
۲۹	۲-۳ هارمونیکهای جریان یک کامپیوتر
۳۲	۳-۳ حذف هارمونیکها

۳۴	فصل چهارم: فیلتر فعال تکفاراز برای بهبود کیفیت توان مرکز کامپیوترو
۳۴	۱-۴ مقدمه
۳۵	۲-۴ محاسبه مولفه اصلی جریان بار
۳۶	۱-۲-۴ تبدیل فوریه با پنجره لغزان
۳۹	۲-۲-۴ محاسبه مولفه اصلی با استفاده از ANFIS
۴۱	۳-۴ ساختار مدار قدرت
۴۱	۱-۳-۴ ولتاژ بس DC
۴۱	۲-۳-۴ خازن بس DC
۴۲	۳-۳-۴ سلف محدود کننده جریان
۴۳	۴-۴ روش پیشنهادی مدولاسیون باند هیسترزیس

۴۵	۴-۵ طراحی کنترلر فازی
۴۹	فصل پنجم: نتایج شبیه‌سازی
۴۹	۱-۵ مقدمه
۴۹	۲-۵ مدلسازی
۵۰	۳-۵ عملکرد کنترلر خطی در هنگام تغییرات بار
۵۳	۴-۵ عملکرد کنترلر فازی در هنگام تغییرات بار
۵۳	۱-۴-۵ راه اندازی
۵۶	۲-۴-۵ کاهش بار
۶۰	۳-۴-۵ افزایش بار
۶۳	۵-۵ مقایسه کنترل فازی و کنترل تناسبی
۶۳	۶-۵ اثر تغییر بهره ورودی خطأ و ظرفیت خازن در حالت گذراي سیستم با کنترلر فازی
۶۴	۷-۵ استفاده از ANFIS
۶۶	۸-۵ تغییر پارامترها
۶۶	۱-۸-۵ حالت نمونه
۶۹	۲-۸-۵ تغییر ولتاژ مرجع باس dc
۷۱	۳-۸-۵ تغییر ظرفیت خازن باس dc
۷۲	۴-۸-۵ تغییر اندوکتانس محدود کننده جریان
۷۳	۵-۸-۵ تغییر بار
۷۴	۶-۸-۵ تغییر فرکانس سوئیچینگ
۷۶	۷-۸-۵ تغییر همزمان پارامترها
۷۸	۸-۸-۵ جمع بندی
۸۰	نتیجه گیری و پیشنهادها
۸۲	مراجع
۸۵	ضمیمه: برنامه کامپیوتروی

فصل اول

مقدمه

۱-۱) مقدمه

کاربرد الکترونیک قدرت در قالب ادوات FACTS^۱ تاکنون انتظارات موجود را برای کاهش محدودیتهای سیستم انتقال برآورده نکرده است؛ اما با وجود این، حضوری فعال و موثر در رفع مشکلات سیستم توزیع دارد. الکترونیک قدرت از سه جهت در سیستم توزیع تاثیر گذار است. در وهله اول وسایل گرانقیمت صنعتی و خانگی را توسعه می دهد، آنگاه به همین دلیل باعث ایجاد مشکلاتی می شود و نهایتاً خود به حل این مشکلات کمک می کند.

از یک سو الکترونیک قدرت و میکروالکترونیک، به شکل قابل توجهی کیفیت زندگی مدرن را بالا برده اند و باعث گسترش وسایل قابل کنترل و پریازده در صنعت و منازل شده اند؛ از سوی دیگر این دو تکنولوژی بسیار حساس هستند و با یکدیگر و نیز به طور فزاینده در کیفیت تامین^۲ انرژی الکتریکی تداخل می کنند.

قطعات سوئیچ نیمه هادی جدید در محدوده وسیعی از کاربردهای شبکه توزیع و بارهای صنعتی و خانگی استفاده می شوند. کاربردهایی نظیر درایوهای کنترل سرعت موتورها، کامپیوترها و

1 - Flexible AC Transmission System
2 - Quality of Service

وسایل الکترونیکی مصرف کنندکان (مثل تلویزیون و ...) از این قبیل هستند. این قطعات الکترونیک قادرت راه حل‌هایی اقتصادی و قابل اعتماد برای مدیریت و کنترل بهتر مصرف انرژی الکتریکی هستند. با وجود این، مشخصه‌های غیر خطی این قطعات نیمه هادی باعث ایجاد ناخالصی در شکل موجه‌ای ولتاژ و جریان در نقطه اتصال مشترک (PCC)^۱ بارهای صنعتی می‌شود. این قطعات آلوده کننده و معوج کننده اصلی سیستم قادرت هستند.

در حال حاضر پردازنده‌های میکروالکترونیک به بسیاری کاربردها راه یافته‌اند. از کاربردهای صنعتی، تشخیصهای پزشکی و اندازه‌گیریها گرفته تا کاربردهای خانگی مثل ویدئو و DVD، از پردازنده‌های میکروالکترونیکی استفاده می‌کنند. این کاربردها نسبت به مسائل کیفیت توان مثل اغتشاشات الکتریکی یا هارمونیکهای سیستم قادرت بسیار حساس و آسیب پذیر هستند. البته تنها کاربردهای میکروالکترونیکی این مشکل را ندارند؛ بلکه بارهای نیمه هادی نیز که اصلی‌ترین آلوده کننده سیستم قادرت هستند خود به این آلودگی حساسند.

۱-۲) تاثیر اغتشاشات

اتفاقات غیر قابل توجیه در شبکه‌های کامپیوتری، فرسودگی پیش از موعد موتورها، پارازیتهای خطوط مخابراتی و گرم شدن بیش از حد ترانسفورماتورها، تنها بخش کوچکی از مخاطراتی است که مشکلات کیفیت توان^۲ به دستگاههای خانگی و صنعتی تحمیل می‌کند. یک نقص کوچک در کیفیت توان ممکن است تمام کارخانجات را به تعطیلی بکشاند.

مطالعات شرکت برق کانادا نشان می‌دهد که مشکلات کیفیت توان شامل افت و نوسان ولتاژ،^۳ گذر^۴ و هارمونیکها، سالانه حدود ۱/۲ میلیارد دلار تلفات در این کشور ایجاد می‌کند. به دلیل خطرات و آلودگیهای ذاتی ایجاد شده، محققان به دنبال یافتن روش‌هایی برای حل این مشکلات هستند و

1 - Point of Common Coupling

2 - Power Quality

3 - Voltage Sag and Surge

4 - Transient

صنایع به طور گسترده‌ای در استفاده از وسایل جدید و پیچیده برای بهبود کیفیت توان اقدام می‌کنند.

۱-۳) کامپیووترها

بارهای کامپیووتری را می‌توان در همه بخش‌های خانگی، تجاری و صنعتی هر جامعه یافت. طبیعت این بارها بسیار غیرخطی است. طبق اندازه گیری‌های به عمل آمده، منابع تغذیه سوئیچینگ کامپیووترهای شخصی، هارمونیکهای جریانی تا مرتبه ۲۵ تولید می‌کنند^[۱]. میزان هارمونیکهای جریان، شکل موج و مدل بار کامپیووتری در فصل سوم به تفصیل بررسی شده است. در این پژوهه یک فیلتر فعال تکفاز برای حذف هارمونیکهای جریان یک مرکز کامپیووتر و بهبود کیفیت توان آن طراحی و شبیه‌سازی شده است.

۱-۴) فیلترفعال، راه حلی برای مشکلات کیفیت توان

دو روش برای مقابله با مشکلات کیفیت توان وجود دارد^[۲]. روش اول تصحیح بار^۱ است به این معنی که بار نسبت به اغتشاشات توان، با حساسیت کمتری طراحی شود. روش دیگر نصب سیستمهای تصحیح خط^۲ برای حذف یا تقلیل اغتشاشات سیستم قدرت است.

ساده‌ترین و معمولترین روش فیلترکردن هارمونیکها استفاده از فیلترهای غیر فعال است. این فیلترها اغلب برای کاربردهای مختلف به طور خاص طراحی می‌شوند، اما کارکرد آنها به هارمونیکهای کمی محدود می‌شود و می‌توانند باعث ایجاد پدیده تشدید^۳ در سیستم قدرت شوند. این فیلترها از عناصر ذخیره کننده انرژی، خازن و سلف، استفاده می‌کنند. معمول‌ترین این فیلترها، فیلتر LC موازی^۴ و فیلتر LC موازی پایین گذر^۵ است. مزایای این فیلترها، سادگی، قابلیت اطمینان و هزینه پایین آنهاست. اما مهمترین معايب آنها ایجاد تشدید در سیستم، بازدهی -که تابعی از ساختار کلی

1 - Load Conditioning

2 - Line Conditioning

3 - Resonance

4 - Shunt-Tuned LC Filter

5 - Shunt Low-Pass LC Filter

سیستم است. و مسائل تنظیم و عدم تنظیم احتمالی آنهاست. این مشکل با استفاده از فیلترهای فعال رفع می شود.

در بین تکنیکهای مختلف جدیدی که برای بهبود کیفیت توان وجود دارد، فیلتر فعال قدرت^۱ (APF) به عنوان روشی مهم و قابل انعطاف برای جبران اغتشاشات ولتاژ و جریان در شبکه توزیع شناخته شده است. APF با استفاده از ادوات الکترونیک قدرت مولفه های جریان و ولتاژ را به گونه ای ایجاد می کند که مولفه های هارمونیکی بارهای غیر خطی یا خطوط تغذیه را حذف کند. ایده فیلترهای فعال تقریبا قدیمی است اما توسعه عملی آنها با بهبود توانایی ها در الکترونیک قدرت و کنترل میکرو کامپیوتری و نیز کاهش قیمتها امکان پذیر شده است به این ترتیب تدریجاً APF ها بر فیلترهای غیر فعال برتری یافته و با رقابتی شدن قیمتshan سهم عمدۀ ای در بازار را به سرعت به خود اختصاص خواهند داد.

۱-۵) تاریخچه

مفهوم پایه ای فیلترهای فعال اولین بار توسط Sasaaki و Machida در سال ۱۹۷۱ ارائه شد[۳]. این ساختار شامل یک فیلتر بالاگذر است که مؤلفه اصلی جریان بار را جدا می کند. مابقی سیگнал، مؤلفه های هارمونیکی می باشند که پس از تقویت، با فاز مخالف، از طریق یک ترانسفورماتور به خط اعمال می شوند و جریان خط عاری از هارمونیک می گردد. این سیستم به علت استفاده از یک تقویت کننده دارای راندمان کمی بود و در عمل مورد استفاده قرار نگرفت.

در سالهای ۱۹۷۳ و ۱۹۷۴ تحقق فیلترهای فعال با استفاده از اینورترهای سوئیچینگ توسط Hoft و Patel انجام شد[۴-۵]. این افراد کار خود را از طریق شبیه سازی ارائه نمودند.

اولین مدل آزمایشگاهی از فیلترهای فعال در سال ۱۹۷۶ توسط Amentani از کشور ژاپن ساخته شد[۶]. تا سال ۱۹۸۳ کارهای مشابهی توسط دیگران ارائه شد. در سال ۱۹۸۴، Akagi نظریه توان راکتیو لحظه‌ای را ارائه داد[۷]. در همین سال او و همکارانش بر مبنای همین نظریه یک مدل

آزمایشگاهی برای جبران توان راکتیو لحظه‌ای ساختند. این نظریه بهترین شیوه جبران سازی در حضور منبع سینوسی را ارائه می‌دهد. از سال ۱۹۸۴ تا کنون این نظریه بیشترین کاربرد را در طراحی فیلترهای فعال داشته است [۱۱-۱۸].

از آن زمان به بعد اینورترهای PWM به عنوان یکی از پرکاربردترین و مرسوم‌ترین روش‌های تولید جریان‌های هارمونیکی در فیلترهای فعال مورد توجه قرار گرفته است. در این راستا انواع مدولاسیونهای PWM در مقالات متعددی مورد استفاده و ارزیابی قرار گرفته‌اند. به این ترتیب بخش عمده‌ای از مشکلات حل شده اما ابهامات زیادی در مبحث شناسایی هارمونیکها وجود داشته است.

۱-۶) بخش‌های پایان نامه

در فصل دوم مروری کلی بر انواع فیلترهای فعال، روش‌های محاسبه متغیر جبران شدنی، روش‌های کنترل و ... ارائه شده است. بجز نظریه توان راکتیو لحظه‌ای، روش‌های دیگری نیز برای بکارگیری در فیلترهای فعال، معرفی و مورد استفاده قرار گرفته‌اند که در فصل دوم به طور مختصر به آنها اشاره خواهد شد. یکی از مسائل مهم دیگر در فیلترهای فعال کنترل ولتاژ منبع DC در فیلترهای اینورتری است. در فصل دوم برخی روش‌های کنترل به اختصار مورد بررسی قرار می‌گیرند در این راستا نیز روش‌های مختلفی استفاده شده است [۱۶-۱۲].

در فصل سوم مشخصه‌های جریان و ولتاژ یک بار کامپیوتری و یک مرکز کامپیوتر مورد بررسی قرار می‌گیرد. همچنین آرایشی که برای یک مرکز کامپیوتر در این پروژه در نظر گرفته شده در این فصل معرفی خواهد شد.

در فصل چهارم مدار در نظر گرفته شده برای این پروژه معرفی و محاسبات مربوط به آن آمده است.

روشی که در این پایان نامه برای محاسبه متغیر جبران شدنی استفاده شده، بر مبنای تحلیل فوریه بهبود یافته با پنجره لغزان است که در سال ۲۰۰۱ ارائه شد [۱۷]. بر مبنای این روش محاسبه هارمونیک با یک پروسessor کم سرعت نیز قابل پیاده سازی است. این روش نیز در فصل چهارم به طور

کامل مورد بررسی قرار گرفته است. همچنین در این فصل یک روش هوشمند با استفاده از شبکه های فازی-عصبی تطبیقی^۱ برای محاسبه جریان هارمونیکی معرفی شده است. این روش به تعداد نمونه های کمتری از جریان بار نیاز دارد. در فصل چهارم همچنین ایده ای برای بهبود اعوجاج هارمونیکی کل^۲ ارائه شده است. بر این اساس روش مرسوم مدولاسیون باند هیسترزیس، با باند نامتقارن مورد استفاده قرار گرفته است و نزدیک به یک درصد بهبود در THD حاصل شده است.

در این پژوهه یک کنترلر فازی برای کنترل ولتاژ خازن در نظر گرفته شده و در فصل چهارم چگونگی طراحی آن آمده است.

در فصل پنجم نیز نتایج شبیه سازی بیان شده است. در این فصل در ابتدا روش مدلسازی مدار در نظر گرفته شده، شامل مرکز کامپیوتر و فیلتر فعال، بیان خواهد شد. این مدل برای شبیه سازی در محیط نرم افزار MATLAB مورد استفاده قرار گرفته است.

در ادامه تاثیر کنترلر فازی طراحی شده در حالات گذراي سیستم شامل راه اندازی و حذف و اضافه شدن قسمتی از بار نشان داده شده است. در این راستا یک کنترلر خطی نیز طراحی شده و نتیجه کار با کنترلر فازی مقایسه شده است.

همچنین دو روش محاسبه جریان هارمونیکی یعنی روش تبدیل فوریه بهبود یافته با پنجره لغزان و روش هوشمند (ANFIS) با یکدیگر مقایسه شده‌اند. در ادامه نیز تاثیر تغییر مقادیر برخی المانها و پارامترها بر هارمونیکهای جریان و THD آن بررسی شده است.
فصل ششم به نتیجه گیری و ارائه پیشنهادات اختصاص یافته است.

1 - Adaptive Neuro-Fuzzy Interface System (ANFIS)
2 - Total Harmonic Distortion (THD)

فصل دوم

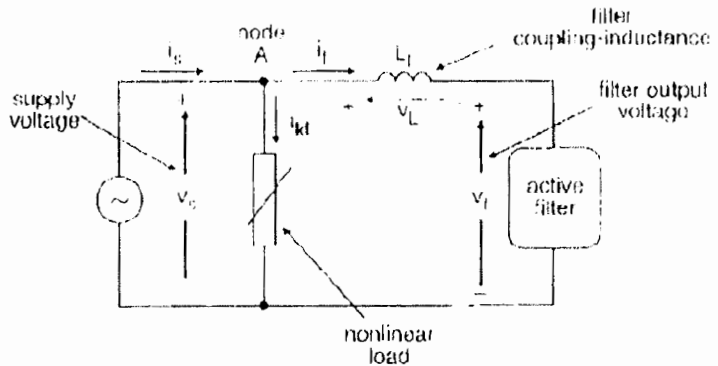
ساختار مداری فیلترهای فعال

۱-۲) مقدمه

در این فصل به معرفی فیلترهای فعال خواهیم پرداخت. در ابتدا روش کلی جبران هارمونیک توسط این فیلترها را بررسی می‌کنیم. در ادامه انواع اتصالات فیلترهای فعال و سپس انواع مدارهای مورد استفاده در این فیلترها را بررسی خواهیم نمود. آنگاه پس از مروری کوتاه بر انواع روشهای مدولاسیون، روشهای محاسبه متغیر جبران شدنی را معرفی خواهیم کرد. در انتها نیز نگاهی مختصر به انواع روشهای کنترل فیلترهای فعال خواهیم داشت.

۲-۲) روش کلی جبران هارمونیک

فیلترهای فعال به طور کلی برای جبران هارمونیکها و نیز توان راکتیو مورد استفاده قرار می‌گیرند. در هر دو صورت عملیات جبران از یک روش کلی پیروی می‌کند که اساس فیلترهای فعال را تشکیل می‌دهد. در این بخش با این روش کلی جبران آشنا می‌شویم. به طور خلاصه می‌توان گفت که جریانی برابر با قسمت هارمونیکی جریان بار و در خلاف جهت آن به مدار تزریق می‌شود تا آن را حذف نماید.^[۱۸]



شکل ۱-۲ ساختار کلی یک فیلتر فعال موازی

شکل ۱-۲، نحوه قرارگرفتن یک فیلتر موازی (با هدف جبران هارمونیک جریان) را نشان می-دهد. شکل ۱-۲ را می‌توان به صورت دو منبع که با یک اندوکتانس به هم متصل شده اند بررسی نمود. منبع اصلی، منبع تغذیه است که سینوسی فرض می‌شود. منبع دوم که یک منبع فعال غیرخطی است، نمایانگر فیلتر فعال است. این منبع، شکل موج مدوله شده‌ای تولید می‌کند که جریان خروجی مدار اصلی را کنترل می‌کند. هدف این منبع شکل دادن جریان منبع تغذیه به صورت یک جریان کاملاً سینوسی است. در واقع این منبع را می‌توان به عنوان یک منبع ولتاژ قابل کنترل دارای تغییرات پیوسته در نظر گرفت. این منبع ولتاژ می‌تواند شکل موج ولتاژ خروجی لازم برای ایجاد جریان جبران سازی مورد نیاز فیلتر را تولید کند. به این ترتیب تاثیرات هارمونیکی بار از بین خواهد رفت.

در مدار شکل ۱-۲ داریم:

$$v_f(t) = v_s(t) - L_s \frac{di_f(t)}{dt} \quad (1)$$

جریان بار را می‌توان به صورت زیر نوشت:

$$i_{ld}(t) = i_{fundamental}(t) + i_{harmonics}(t) \quad (2)$$

از KCL در گره A داریم:

$$i_s(t) = i_{ld}(t) + i_f(t) \quad (3)$$

با فرض اینکه جریان فیلتر $i_f(t)$ در رابطه بالا به تونه ای کنترل شود تا دقیقاً برابر جریان هارمونیکی مرجع باشد، خواهیم داشت:

$$i_f(t) = -i_{harmonics}(t) \quad (4)$$

در این صورت جبران سازی بخوبی انجام خواهد شد.

به این ترتیب تحقق عملیات کنترل را می‌توان در دو مرحله زیر خلاصه نمود:

۱) جریان غیرخطی بار اندازه گیری می‌شود و مؤلفه هارمونیکی آن با استفاده از تبدیل فوریه یا هر روش دیگر در حالت دائمی، محاسبه می‌گردد. اگر هارمونیکهای بار تغییر کنند، محاسبه کننده هارمونیکها باید بعد از یک سیکل کامل، مرجع جدیدی تولید کند.

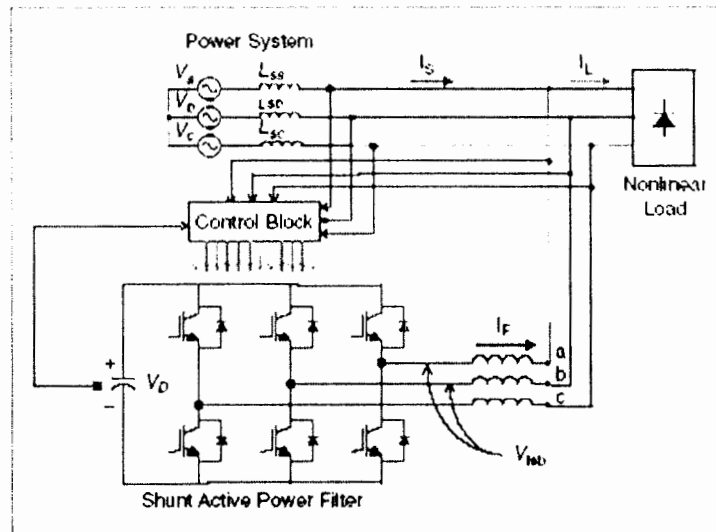
۲) جریانی در فیلتر بر اساس رابطه (۴) ایجاد می‌شود تا مؤلفه هارمونیکی بار را حذف نماید. نتیجتاً از نظر تئوری تضمین می‌شود که فیلتر جریان هارمونیکی بار را به نحو مطلوبی جبران نماید.

۳-۲) روش‌های اتصال فیلترهای فعال قدرت (APF)

در این بخش انواع اتصالات فیلترهای فعال را بررسی می‌کنیم. با توجه به اینکه فیلترهای فعال سه فاز کاربرد بیشتری در صنعت دارند ساختارهای این بخش از نوع سه فاز در نظر گرفته شده‌اند. البته باید تاکید کرد که این ساختارها در فیلترهای سه فاز و تکفاز مشابه هستند.

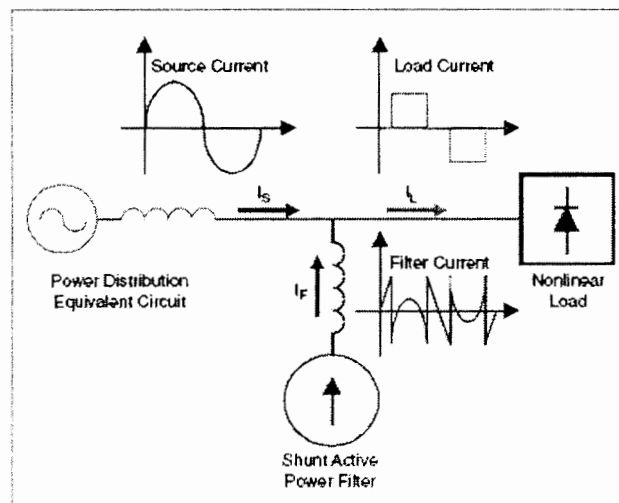
۲-۳-۱) فیلترهای فعال موازی

فیلترهای فعال موازی با یک بس dc کنترل شده ساختاری شبیه یک جبران ساز استاتیک^۱ دارد که برای جبران توان راکتیو در سیستم انتقال استفاده می‌شود[۲]. APF موازی هارمونیکهای جریان بار را با تزریق یک جریان هارمونیکی برابر و مخالف، جبران می‌کند. در این حالت APF موازی مانند یک منبع جریان عمل می‌کند که مؤلفه‌های هارمونیکی تولید شده توسط بار را با اختلاف فاز ۱۸۰ درجه تولید می‌کند. شکل ۲-۲ چگونگی اتصال یک APF موازی و شکل ۳-۲ جبران جریان هارمونیکی بار را نشان می‌دهد.

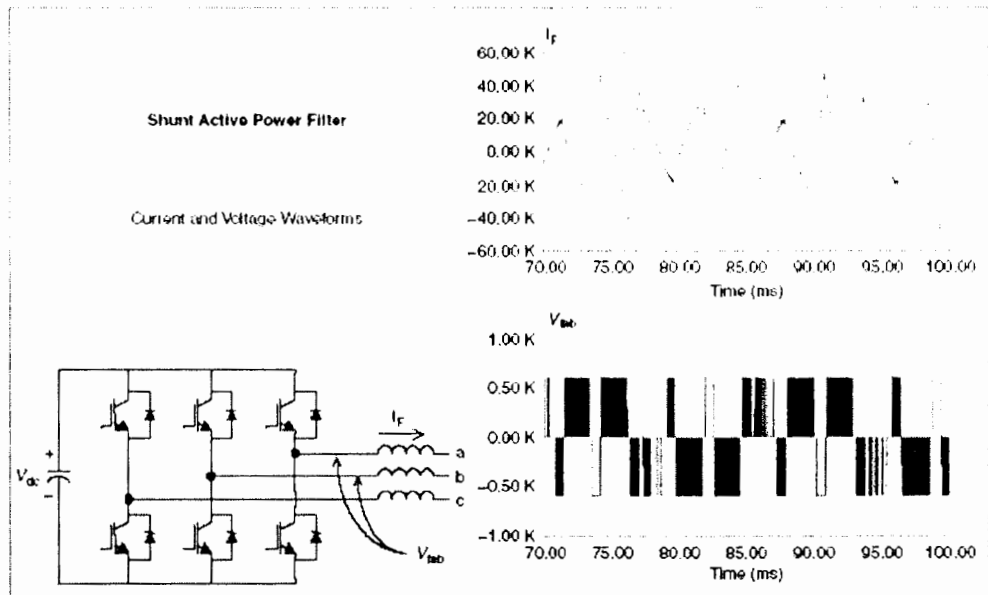


شکل ۲-۲ ساختار فیلتر فعال قدرت موازی

برای تولید جریان I_F برای فیلتر به صورت شکل ۲، بلوک کنترل کننده باید V_{ab} را مطابق شکل ۴-۲ تولید کند.



شکل ۲-۳ جریان فیلتر برای جبران هارمونیکهای جریان بار



شکل ۴-۲ شکل موج جریان و الگوی PWM ولتاژ برای جبران هارمونیکهای بار

مزیت فیلترهای موازی این است که تنها جریان جبران سازی را به اضافه جزء کوچکی از جریان هارمونیک اصلی تولید می‌کنند و لذا محدودده توانی کار آنها به میزان زیادی کاهش می‌یابد. همچنین برای جریانهای بیشتر می‌توان چند فیلتر را با هم موازی کرد.

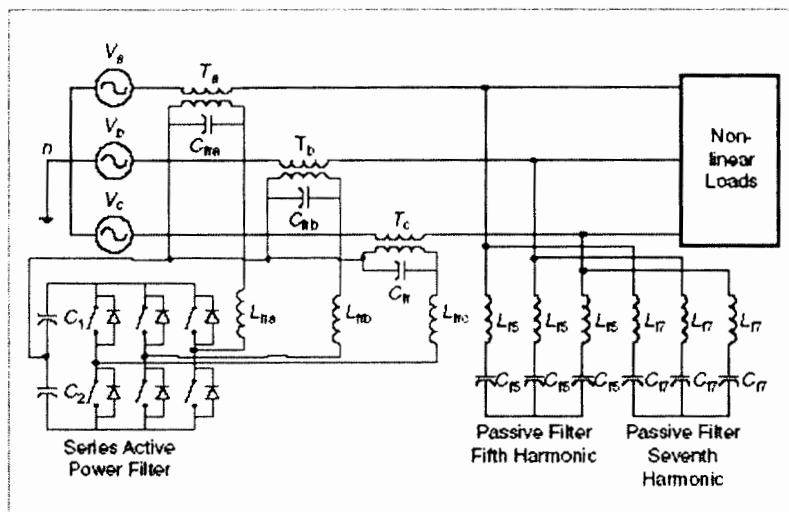
۲-۳-۲) فیلترهای فعال سری

APF های سری در اوخر دهه ۱۹۸۰ ایجاد شدند و اساساً به صورت یک تنظیم کننده ولتاژ و یک ایزولاتور هارمونیک بین بار غیر خطی و سیستم عمل می‌کنند [۲]. فیلتر سری مصرف کننده را از ولتاژ نامناسب تغذیه محافظت می‌کند. این روش برای جبران عدم تعادل ولتاژ و افت ولتاژ^۱ منبع ac و برای کاربردهای توان پایین استفاده می‌شود. APF سری برای استفاده در UPS ها^۲ مناسب است، زیرا به ذخیره انرژی نیاز ندارد و مقادیر نامی اجزا آن کوچک است. این فیلتر جزئی از ولتاژ را به صورت سری با منبع ولتاژ تزریق می‌کند و لذا می‌توان آن را به صورت یک منبع ولتاژ کنترل شده در نظر

1 - Voltage Sag

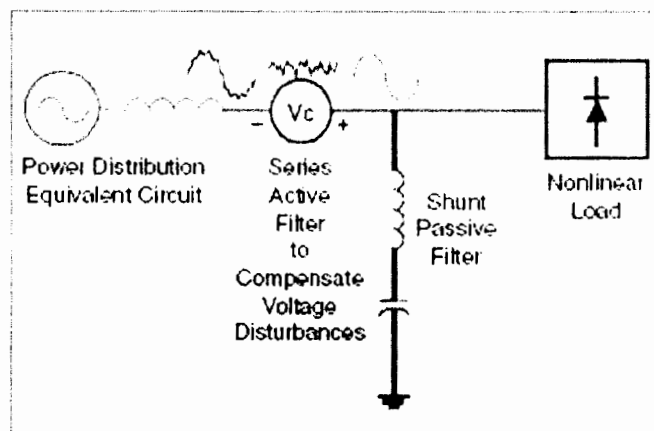
2 - Uninterruptable Power Supply

گرفت که افت ولتاژ را در طرف بار جبران می‌نماید. در اغلب حالات، فیلترهای اکتیو سری به صورت ترکیبی با فیلترهای LC غیر فعال موازی با بار به کار می‌روند. این فیلتر به عنوان یک ایزولاتور هارمونیک عمل می‌کند تا هارمونیکهای جریان بار بجای سیستم توزیع از طریق فیلتر غیر فعال به گردش درآیند. مزیت اصلی این روش این است که توان نامی فیلتر غیر فعال سری تابع کوچکی (در حدود ۰٪) از توان نامی بار است. با وجود این توان نامی APF سری در حالت جبران ولتاژ افزایش می‌یابد. شکلهای ۵-۲ و ۶-۲ به ترتیب چگونگی اتصال و کارکرد APF سری را نشان می‌دهد.

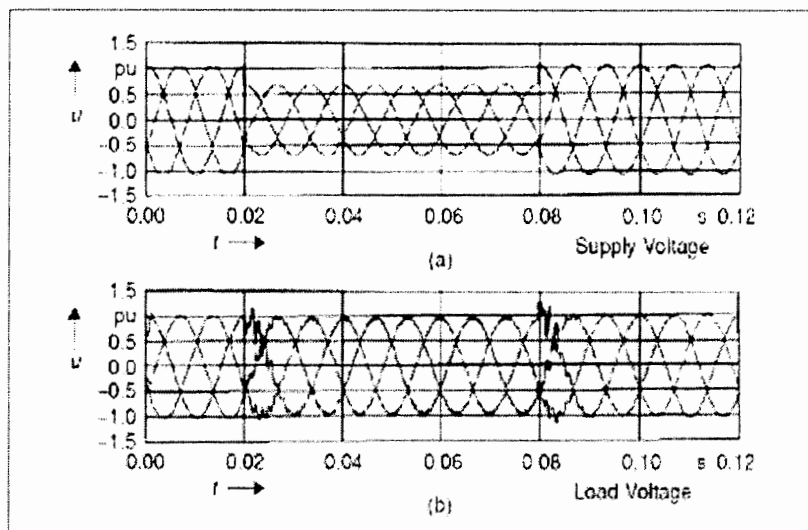


شکل ۵-۲ ساختار فیلتر غیر فعال سری با فیلترهای غیر فعال موازی

فیلترهای سری همچنین برای رفع اغتشاشات هارمونیک اصلی ولتاژ نیز قابل استفاده هستند. شکل ۷-۲ کارکرد فیلتر اکتیو را به هنگام افت ولتاژ منبع نشان می‌دهد. ولتاژ بار ثابت می‌ماند و تنها در لحظات اولیه و انتهایی اغتشاش، نوسان و ناپایداری مشاهده می‌شود. به این ترتیب این فیلترها یک ولتاژ کاملاً سینوسی ایجاد می‌کنند که برای وسایل حساسی مثل وسایل ذخیره کننده انرژی مغناطیسی فوق رساناً^۱ بسیار حائز اهمیت است.



شکل ۲-۶ ولتاژ تولیدی فیلتر (V_c) برای جبران اغتشاشات ولتاژ

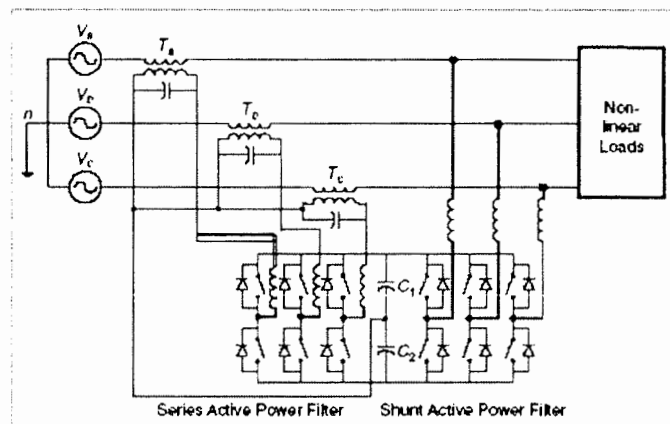


شکل ۲-۷ کارکرد فیلتر فعال سری در شرایط اغتشاش منابع ولتاژ

به دلیل مشکل اصلی مدارهای سری که باید جریانهای زیاد را تحمل کنند؛ توان آنها در مقایسه با فیلترهای موازی به شکل قابل ملاحظه‌ای مخصوصاً در ثانویه ترانسفورماتور کوپلینگ افزایش می‌یابد. لذا این فیلترها کمتر از نوع موازی در صنعت معمول هستند.

۳-۳-۲) فیلترهای فعال سری - موازی

این فیلتر ترکیبی از فیلترهای فعال سری و موازی است [۲]. یک صورت کلی آن در شکل ۸-۲ آمده است. فیلتر فعال موازی در طرف بار قرار می‌گیرد و هارمونیکهای بار (هارمونیکهای جریان بار، توان راکتیو و عدم تعادلهای جریان بار) را جبران می‌کند. در سوی دیگر بخش سری در طرف منبع است و با جبران هارمونیکهای منبع ولتاژ و عدم تعادلهای ولتاژ نوسانات سیستم قدرت را میرا می‌کند. این ساختار Unified Power Quality Conditioner نامیده می‌شود.



شکل ۸-۲ unified power quality conditioner

این ساختار از نظر کنترلی بسیار پیچیده است و هزینه زیادی هم دارد لذا جز در مواردی مثل چندان مورد استفاده قرار نمی‌گیرد. FACTS

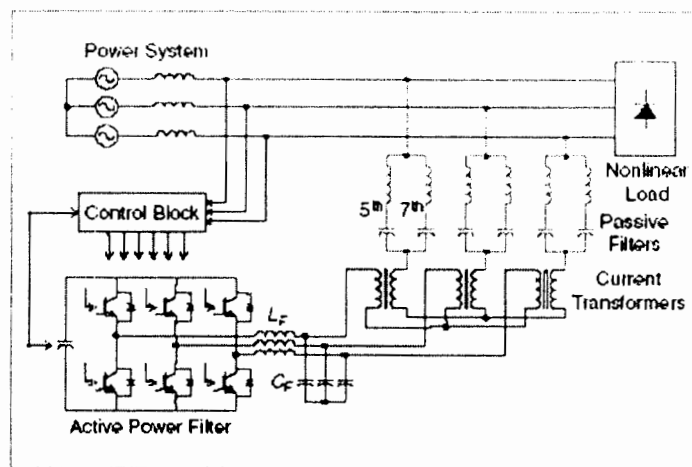
۴-۳-۲) فیلترهای فعال مرکب^۱

این فیلترها ترکیبی از فیلترهای فعال و غیر فعال هستند [۲]. یک شکل اقتصادی برای فیلترهای فعال موازی مرکب در شکل ۹-۲ آمده است. شکل ۵-۲ نیز یک فیلتر سری فعال مرکب را نشان می‌دهد. این ساختار به فیلترهای غیر فعال این امکان را می‌دهد که امپدانس دینامیکی کمی

۱ - Hybrid Active Filters

برای هارمونیکهای جریان در طرف بار داشته باشند و به این ترتیب پهنهای باند و کارکردشان بهتر شود.

این کارکرد با یک اینورتر کم توان PWM براحتی قابل دست یابی است.



شکل ۹-۲ ساختار فیلتر فعال موازی مرکب

ترکیب یک فیلتر فعال سری با یک فیلتر غیر فعال موازی به دلیل کاربرد نسبتاً کم فیلترهای فعال سری چندان مورد توجه نیست. اما ترکیب فیلتر فعال موازی با یک فیلتر غیر فعال سری بسیار مهم و کاربردی است. فیلتر فعال برای حذف تنها جزئی از هارمونیکهای مرتبه پایین جریان طراحی می‌شود در حالیکه فیلتر غیر فعال برای کل هارمونیکها در نظر گرفته می‌شود. این سیستم می‌تواند برای توانهای بالا بدون هزینه سوئیچهای توان بالا طراحی شود. تنها مشکل اصلی این روش تعداد زیاد المانهای قدرت مخصوصاً برای فیلتر غیر فعال است. همچنین با توجه به اتصال دائمی فیلتر غیر فعال به سیستم، این روش برای یک بار مشخص با هارمونیکهای معین قابل استفاده است.

ترکیب دیگری هم وجود دارد که در آن یک فیلتر فعال با یک یا چند فیلتر غیر فعال به صورت سری بسته می‌شود. این ترکیب که در شکل ۹-۲ نشان داده شده است برای کاربردهای فشار متوسط و بالا که در آن فیلتر غیر فعال، استرس سوئیچهای فیلتر فعال را کاهش می‌دهد مناسب است. البته در این زمینه کارهای چندانی انجام نشده است.

جدول ۲-۱ به طور خلاصه موارد کاربرد فیلترهای سری، موازی و سری موازی را نشان می-

دهد [۲].

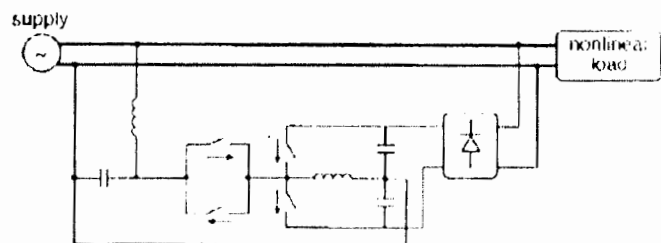
جدول ۲-۲ کاربردهای فیلترهای فعال با توجه به مشکلات کیفیت توان

نوع مشکل		اتصال فیلتر فعال
تائیر منبع AC برو بار	تائیر بار برو منبع AC	
-	حذف هارمونیکهای جریان جریان جریان راکتیو عدم تعادل جریان فلیکر ولتاژ	موازی
افت و افزایش ولتاژ ^۱ عدم تعادل ولتاژ اعوجاج ولتاژ وقفه ولتاژ فلیکر ولتاژ Voltage Notching	حذف هارمونیکهای جریان جریان جریان راکتیو عدم تعادل جریان فلیکر ولتاژ عدم تعادل ولتاژ	سری و سری-موازی

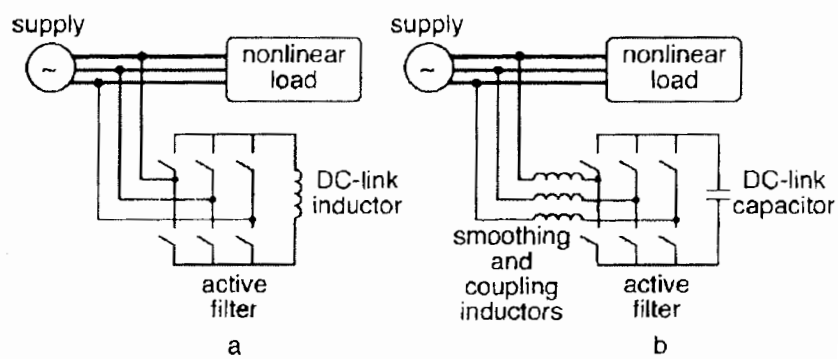
۴-۲) انواع مدارهای فیلترهای فعال

در این قسمت انواع مدارهای فیلترهای فعال را بررسی می‌کنیم [۱۹]. ساختارهای مداری معمول مورد استفاده در فیلترهای فعال عبارتند از: ساختار اینورتری - که خود دو نوع اینورتر با منبع ولتاژ^۲ و اینورتر با منبع جریان^۳ را شامل است -، رگولاتور ولتاژ، مدارهای با خازنهای سوئیچ شونده^۴ و ساختار شبکه‌ای^۵. این مدارها را می‌توان در شکل‌های ۱۰-۲ تا ۱۳-۲ مشاهده نمود.

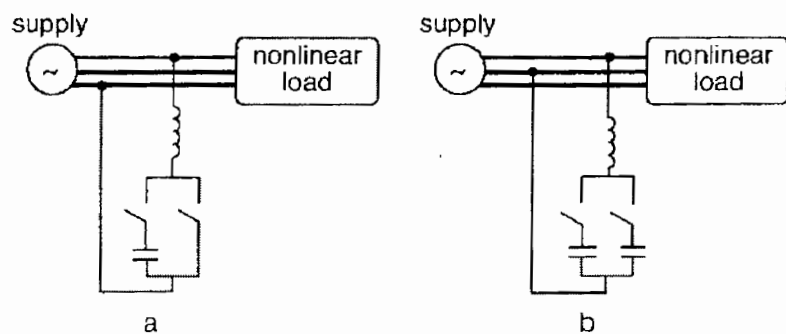
-
- 1 - Voltage Sag/Swell
 - 2 - Voltage Source Inverter
 - 3 - Current Source Inverter
 - 4 - Switched Capacitor
 - 5 - Lattice-Structured



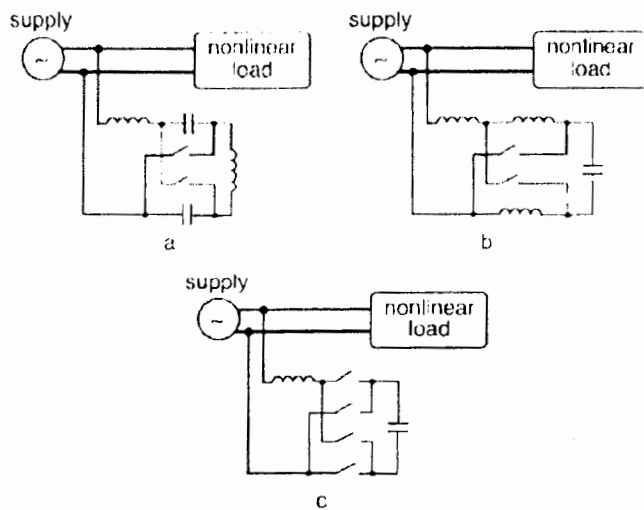
شکل ۲-۱۰-۲ فیلتر فعال از نوع رکولاتور ولتاژ



شکل ۲-۱۱-۲ فیلترهای فعال اینورتری (a) اینورتر با منبع جریان (b) اینورتر با منبع ولتاژ



شکل ۲-۱۲-۲ فیلترهای با خازنهاي سوئیچ شونده



شکل ۱۳-۲ ساختارهای شبکه ای

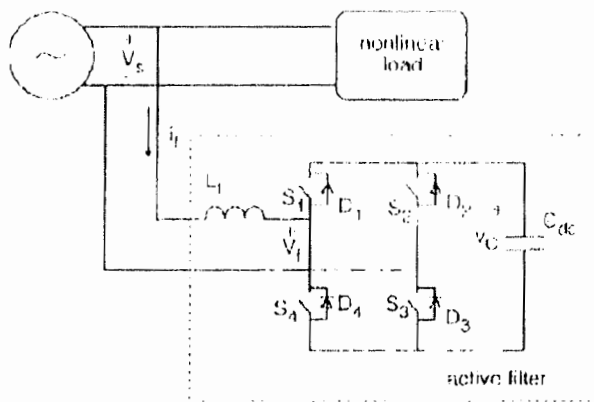
جدول ۲-۲ به طور خلاصه مقایسه ای از مدارهای معرفی شده ارائه می دهد. با توجه به این جدول می توان دریافت که مدارهای اینورتر VSI و رگولاتور ولتاژ برتریهای مشخصی نسبت به دیگر ساختارها دارند. اما با توجه به اینکه ساختار اینورتری از دیرباز در فیلترهای فعل مورد استفاده بوده و در این پایان نامه نیز به کار گرفته شده است آن را با تفصیل بیشتری بررسی می نمائیم.

۵-۲) فیلتر اینورتری تکفاز

شکل ۱۴-۲ یک مدار کلی فیلتر اینورتری تکفاز را نشان می دهد [۱۸]. یک خازن نقش منبع DC ورودی اینورتر را ایفا می کند. برای ایجاد شکل موج جریان مطابق شکل موج مرتع روشهای مدولاسیون مختلفی مورد استفاده است که در قسمت بعد آنها را به اجمال بررسی خواهیم نمود. این مدار، متداولترین مداری است که در ساختار فیلترهای فعل قدرت به کار گرفته می شود. اما دو مشکل اصلی در پیاده سازی عملی این مدار وجود دارد. اول اینکه خازن سمت DC مدار بسیار بزرگ است (4000-9000 μF) تا بتواند منبع ولتاژ ثابتی ایجاد کند. دیگر اینکه فرکانس سوئیچینگ نسبتا بالایی (20-30kHz) مورد نیاز است. در ساختارهای اینورتری سه فاز و تکفاز، مشکل ثابت نگاه داشتن ولتاژ خازن عملا با استفاده از خازنهای با ظرفیت بالا و فرکانس سوئیچینگ زیاد، رفع شده است.

جدول ۲ مقایسه انواع مدارهای فیلتر فعال قدرت

فیلتر فعال	فیلتر با ساختار شبکه-	فیلتر با خازنهای سونیج شونده	ساختارهای اینورتری		معیار مقایسه
			VSI	CSI	
رگولاتور ولتاژ	ای	۱	۳۰۱	۳	عداد فاز
توان کم و متوسط	توان کم	توان کم و متوسط	توان کم و متوسط	توان متوسط	ظرفیت توان
ساده (ردیابی ولتاژ مرجع خازن)	پیچیده (روشهای بهینه سازی)	پیچیده (روشهای بهینه سازی)	ساده (تبیت ولتاژ خازن)	پیچیده (تبیت جریان سلف)	پیچیدگی کنترل
سریع (~0.1)	کند (100)	کند (100)	سریع (~0.1)	متوسط (~1)	سرعت پاسخ (ms)
۴ سونیج و ۴ دیود	۴ سونیج دو طرفه	دو سونیج دو طرفه	تکفار: ۴ سونیج و ۶ دیود سه فاز: عسونیج و ۶ دیود	۶ سونیج و ۶ دیود	تعداد المانهای فعال
۴-۶	۲-۴	۲-۴	۲۰-۳۰	۲-۵	فرکانس سونیچینگ (kHz)
دو خازن کوچک (200uF)	-	-	خازن بزرگ (4700-9000uF)	اندوكتانس بزرگ (100mH)	منبع DC
ولتاژ نامی منبع	-	-	۱.۳-۱.۵ برابر ولتاژ نامی منبع	۱.۳-۱.۵ برابر جریان نامی منبع	ولتاژ یا جریان باس DC
یک خازن (40-100uF) و یک سلف کوچک (1mH)	یک یا دو خازن (40-80uF) یا یک لادو سلف (1-3mH)	یک یا دو خازن (40-80uF)	-	-	اجزاء AC
۱.۲-۱.۵ نامی خازنها	۱.۵ برابر ولتاژ نامی خازنها	۱.۵ برابر ولتاژ نامی خازنها	-	-	ولتاژ نامی AC
PAM ولتاژ	PWM بهینه شده ولتاژ	PWM بهینه شده ولتاژ	DC PWM ولتاژ کنترل شده با جریان	DC جریان PWM	روش کنترل
تغییرات نرم ولتاژ	تغییرات نرم ولتاژ	تغییرات نرم ولتاژ	تغییرات زیاد و سریع ولتاژ	تغییرات زیاد و سریع جریان	نایپوستگی ولتاژ یا جریان



شکل ۱۴-۲ اینورتر تکفاز با منبع ولتاژ

در واقع در این مدار مشکل جدیدی ایجاد شده است. زیرا مساله نگهداری و هزینه خازنهای بزرگ و تلفات سوئیچینگ فرکانس بالا که خود مشکل انتخاب سوئیچهای مناسب و گران قیمت نیمه هادی را در پی دارد جایگزین مشکل اولیه شده است.

در فیلترهای اینورتری ولتاژ ثابت، ولتاژ DC دو سر خازن، باید بزرگتر از پیک ولتاژ منبع باشد تا بتواند جریان لازم را بر اساس جریان مبنا به منبع تغذیه بفرستد. یکی از مشکلاتی که در این فیلتر وجود دارد این است که در زمان عبور ولتاژ منبع از صفر، ولتاژ DC خازن در دو سر اندوکتانس فیلتر می‌افتد؛ در حالیکه ولتاژ منبع بسیار کم است. لذا سرعت افزایش جریان خیلی زیاد خواهد بود. به همین دلیل برای حل این مشکل، فرکانس سوئیچینگ باید افزایش یابد. شرایط سخت تری هم وجود دارند. وقتی که ولتاژ منبع، مثبت (منفی) است و خازن DC با پلاریته منفی (مثبت) به مدار متصل می‌شود، اندازه ولتاژ دو سر اندوکتانس مجموع دو سیگنال یاد شده است و لذا باز هم فرکانس سوئیچینگ باید بیشتر شود.

البته با وجود مشکلات عملی یاد شده، فیلترهای اینورتری هنوز قسمت اعظم فیلترهای فعال موجود را تشکیل می‌دهند.

برای حل مشکلات یاد شده، مدارهای دیگری مثل Lattice-structure و switched-capacitor پیشنهاد شده اند که ظرفیت خازن و فرکانس سوئیچینگ را کاهش می‌دهند. اما مشکل اصلی این

است که این مدارها از روش‌های بهینه سازی استفاده می‌کنند و زمان بر هستند. این روشها یک الگوی بهینه برای جریان جیرانی تولید می‌کنند و ضمن اینکه خود این کار زمان بر است، در صورت تغییر الگوی بار، تولید الگوی بهینه نیز باید تکرار شود. به این ترتیب این روشها در مورد بارهای غیر خطی متغیر با زمان کاربردی ندارد.

همچنین فیلتر فعال از نوع رکولاتور ولتاژ نیز در سال ۲۰۰۰ معرفی شد که می‌توان گفت در میان فیلترهای تکفار از هرجهت بهترین است [۱۸]. اما با توجه به این که این فیلتر هنوز جایگاه مناسب خود را نیافرته است و کارهای چندانی بر روی آن انجام نشده، در این پژوهه نیز ساختار اینورتری را مورد استفاده قرار دادیم.

۶-۲) تولید شکل موج جریان مرجع

در اغلب موارد برای کارکرد دینامیکی مناسب از روش PWM استفاده می‌شود. هر شکل موج دلخواه را می‌توان با روش PWM و برش ولتاژ dc ایجاد کرد. روش‌های مختلف زیادی برای تولید شکل موجهای سینوسی یا موجهای دیگر وجود دارد. با تکنیکهای PWM خروجی ac می‌تواند به عنوان یک منبع ولتاژ و جریان کنترل شود. با این روش هارمونیکهایی غیر از هارمونیکهای دلخواه نیز ایجاد می‌شوند که می‌توان با بزرگ انتخاب کردن فرکانس حامل (carrier) آنها را کاهش داد. البته این فرکانس به نیمه هادیهای مورد استفاده نیز وابسته است.

برای تولید جریان در فیلتر مطابق با جریان مرجع سه روش PWM متفاوت وجود دارد [۲۰].

این روشها عبارتند از: نمونه برداری پریودیک^۱ (PS)، باند هیسترزیس^۲ (HB) و حامل موج مثلثی^۳ (TC).

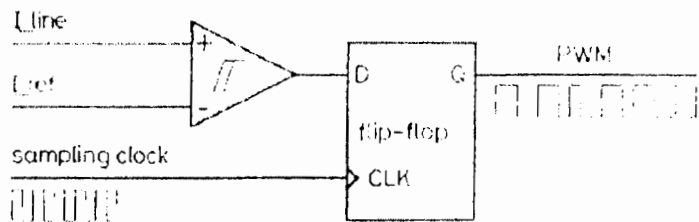
روش PS ترانزیستورهای قدرت فیلتر فعال را در لبه‌های یک موج مربعی فرکانس ثابت سوئیچ می‌کند. شکل ۱۵-۲ یک پیاده سازی آنالوگ را برای این روش نشان می‌دهد. مزیت اصلی این روش

1 - Periodical Sampling

2 - Hysteresis Band

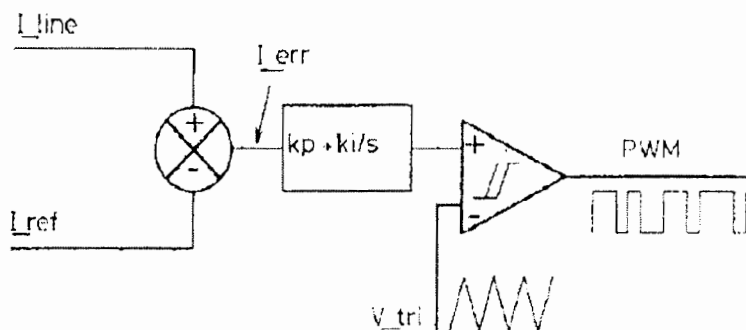
3 - Triangular Carrier

محدود شدن زمان تغییر حالت سوئیچهای به پریود پالس ساعت است. اما فرکانس سوئیچینگ واقعی کاملاً مشخص نمی‌شود.



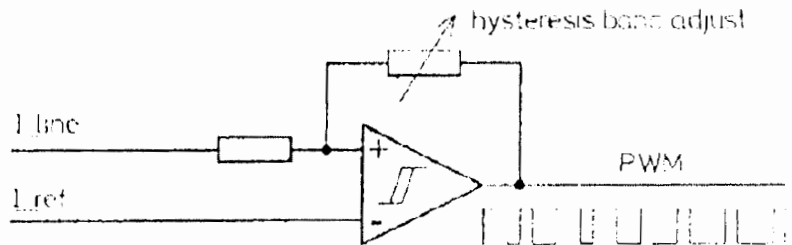
شکل ۱۵-۲ مدولاسیون به روش نمونه برداری پریودیک

شکل ۱۶-۲ یک مدار برای اجرای مدولاسیون با حامل موج مثلثی (TC) را نشان می‌دهد. این روش خطای جریان خروجی را با یک موج مثلثی با دامنه و فرکانس ثابت مقایسه می‌کند. خطاب قبل از رسیدن به مقایسه کننده از یک کنترلر انگرالی-تناسی عبور می‌کند. این روش از دو روش دیگر پیچیده‌تر است. مقادیر k_p و k_i پاسخ گذرا و خطای حالت دائمی این روش را تعیین می‌کنند.



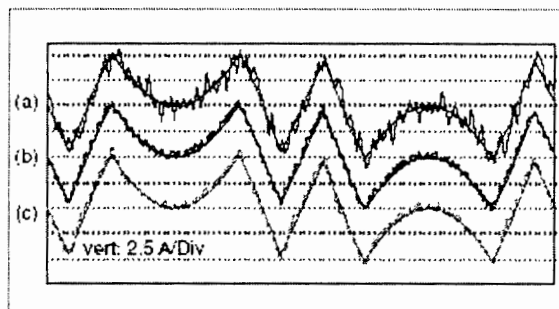
شکل ۱۶-۳ مدولاسیون به روش حامل موج مثلثی

روش HB چنانکه در شکل ۱۷-۲ نشان داده شده است، به هنگام عبور خطاب از یک مقدار ثابت (باند هیسترزیس) عمل سوئیچینگ را انجام می‌دهد. در این حالت هم فرکانس سوئیچینگ قابل تعیین نیست اما می‌توان آن را تخمین زد.



شکل ۲۷ مدولاسیون باند هیسترزیس

در بررسیهای انجام شده در مرجع [۲۰] روش HB به عنوان مناسبترین روش برای تولید یک شکل موج هارمونیکی معرفی شده است. شکل ۱۸-۲ نتایج پیاده سازی هر سه روش PWM معرفی شده را بر روی یک فیلتر فعال نشان می دهد. به این ترتیب از این روش برای پیاده سازی تولید جریان مرجع در این پروژه استفاده شد.



شکل ۱۸-۲ شکل موجهای جریان حاصل از روش‌های مختلف مدولاسیون در یک فیلتر فعال (a) روش PS (b) روش HB و (c) روش TC

۷-۲) محاسبه متغیر جبران شدنی

روشهای مختلفی برای تعیین هارمونیکهای جریان بار برای سیستمهای تکفاز و سه فاز موجود است. روش‌های مناسب برای سیستمهای تکفاز را در اینجا به طور مختصر بررسی می کنیم.

۱-۷-۲) روش‌های آنالوگ

این تکنیک از یک فیلتر پایین گذر برای تعیین مولفه اصلی جریان استفاده می کند [۲۱ و ۲۲]. آنگاه آن را از کل جریان کم می کند تا هارمونیکهای جریان را اندازه گیری کرده باشد. طراحی فیلتر

اکتیو نیاز به فیلتری حداقل از مرتبه ۶ دارد تا فرکانس قطع قابل قبولی داشته باشد. مشکل اصلی این روش خطای دامنه و فاز مولفه اصلی بدست آمده است. خطای فاز معمولاً به میزان ۱۰۰ درجه پسفاز است که در این کاربرد غیرقابل قبول است. یک مدار پیش fas را می‌توان برای حل این مساله به کاربرد. اما این کار، یک شیفت فاز ۳۶۰ درجه ایجاد می‌کند که باعث تاخیری به میزان یک سیکل کامل می‌شود. لذا این روش برای کاربردهایی که نیاز به پاسخ سریع دارند مناسب نیست.

۲-۷-۲) محاسبات FFT دیجیتال

این روش کاربرد بیشتری دارد [۲۲-۲۳ و ۱۶-۱۵]. محاسبه FFT با نمونه برداری از یک سیکل کامل (یا چند سیکل) برای محاسبه ضرایب فوریه و مؤلفه‌های فرکانس پایین جریان بار انجام می‌شود. بنابراین این روش برای بارهایی با تغییرات کند مناسب است و اگر چه نسبت به روش آنالوگ قابلیت انعطاف بیشتری دارد اما هنوز تاخیر زمانی حداقل برابر یک سیکل کامل در آن وجود دارد. همچنین زمان محاسبه این روش بسیار زیاد است. دقت‌های زیاد ۱۲ و ۱۴ بیتی برای محاسبه دقیق هارمونیکها لازم است. با استفاده از پروسسورهای ارزان و فرکانس پایین، زمان محاسبه ممکن است بیش از چند سیکل فرکانس اصلی طول بکشد. پس این روش برای کاربردهای تکفار با تغییرات سریع بار مناسب نیست. این روش تنها برای بارهای با تغییرات کند (حدود ۱۰۰ms) مانند هارمونیکهای سیستم قدرت و شبکه‌های توزیع فشارقوی و متوسط مناسب است [۱۵].

۲-۷-۳) الگوریتم جبران توان جعلی^۱

این تکنیک بر اصل جبران توان ساختگی تکیه دارد [۲۴-۲۵]. کنترلر سیستم جریان مرجعی تولید می‌کند که مؤلفه‌های نامطلوب توان جعلی را می‌نیمم می‌کند. این روش برای سیستمهای تکفار مناسب است اما حجم محاسبات زیادی را در بر می‌گیرد.

۱ - Fictitious Power

۴-۷-۲) روش‌های دیگر

تکنیک‌های تخمین هارمونیک، زیاد هستند و الگوریتم‌های DSP که بهبود یافته الگوریتم‌های FFT و DFT هستند می‌توانند به کار گرفته شوند. همچنین پیاده سازی‌های نرم افزاری فیلترها مثل فیلترهای FIR یا IIR می‌توانند جایگزین تکنیک آنالوگ شوند. روش‌های دیگری نظیر شبکه‌های عصبی، تطبیقی، تکنیک‌های تخمین تطبیقی/پیش‌بینی که کاملاً دقیق هستند و پاسخ بهتری نیز دارند ارائه شده‌اند [۲۶-۲۸].

این تکنیک‌ها محاسبات پر حجمی دارند که با کمک DSP‌ها بخوبی انجام می‌شوند. حجم محاسبات در برخی از این روش‌ها (مثل شبکه‌های عصبی و تکنیک‌های تطبیقی) زیاد است و بیشتر زمان DSP (30-250 μs) صرف محاسبه هارمونیک می‌شود.

۴-۷-۳) تحلیل فوریه بهبود یافته با پنجره لغزان

این روش از تکنیک پنجره لغزان در محاسبه تبدیل فوریه استفاده می‌کند [۱۷]. در این روش عملیات محاسباتی به نحو قابل توجهی کاهش می‌یابد به گونه‌ای که با استفاده از پروسسورهای کم سرعت براحتی قابل پیاده سازی است.

با توجه به اینکه در قسمت محاسباتی اجرای این پروژه از این روش استفاده شده است، آن را در فصل چهارم به تفصیل مورد بررسی قرار خواهیم داد.

۴-۸) روش‌های کنترل

برای کنترل مدارهای فیلتر فعال روش‌های مختلفی به کار گرفته شده اند که در ادامه می‌آید [۱۹].

۴-۸-۱) کنترل حلقه باز

در این روش جریان بار و هارمونیک‌های آن توسط حسگر نمونه برداری می‌شوند، آنگاه توان مشخصی به صورت جریان (اصولاً راکتیو) به سیستم تزریق می‌شود و هیچ فیدبکی هم وجود ندارد.

این فیلترها معمولاً از بانکهای فیلتر غیر فعال سونیچ شونده استفاده می‌کنند. تکنیکهایی نظیر حذف هارمونیک سوم از طریق تزریق این هارمونیک، استفاده از ادوات حذف هارمونیکها و استفاده از الگوی هارمونیکی ثابت و مشخص برای بار از روش‌های به کاررفته در این راستا می‌باشند.

۲-۸-۲) روش‌های کنترل حلقه بسته

این روش‌ها از نظر حذف هارمونیک دقیق‌تر هستند و نیاز به آی‌سی‌های DSP دارند.

۲-۸-۲-۱) روش ولتاژ ثابت خازن^۱

این روش برای ساختارهای اینورتری تک فاز و سه فاز با یک خازن در قسمت DC مناسب است. در این روش خازن، در حکم منبع ولتاژی است که شکل موج جریان با اتصال آن به منابع اصلی از طریق یک سلف محدود کننده جریان کنترل می‌شود. جریان حاصل با روش‌های PWM کنترل می‌شود. با توجه به اینکه انرژی به خازن وارد یا از آن خارج می‌شود ولتاژ ترمینال آن تغییر می‌کند. با انتخاب یک ولتاژ مرجع، اختلاف بین ولتاژ واقعی خازن و ولتاژ مرجع، توان حقیقی لازم برای جبران تلفات فیلتر را نشان می‌دهد. این سیگنال به سیگنال خطای کنترلر جریان اضافه می‌شود تا خطای کل سیستم را مشخص کند.

۲-۸-۲-۲) روش جریان ثابت سلف

این روش خیلی مشابه با روش قبلی است با این تفاوت که مبدل دارای سلفی در بخش dc است. دو روش اصلی برای کنترل در اینجا وجود دارد:

- مدولاسیون عرض پالس جریان(PWM): این روش برای ایجاد پالس‌های مناسب جهت تعیین مقدار متوسط سیگنال جریان در یک بازه زمانی معین استفاده می‌شود.

- مدولاسیون دامنه پالس جریان(PAM): این روش جدید و بر پایه مدولاسیون دامنه می‌باشد. پیاده سازی این روش با قطعات الکترونیک قدرت کنونی امکان پذیر نیست.

1 - Constant Capacitor Voltage

۲-۸-۳) روش‌های بهینه سازی

این روش‌ها برای مدارهای با خازنهای سوئیچ شونده و شبکه‌ای یکسان است. سرعت افزایش جریان و دامنه آن بستگی مستقیم به اندازه خازنهای ولتاژی اولیه آنها دارد. این فاکتورها تابع الگوی سوئیچینگ هستند و قابلیت انعطاف قابل ملاحظه‌ای در تولید شکل موج جریان مورد نیاز فیلتر فراهم می‌کنند. اساس کنترل این روش‌ها تعیین تابع سوئیچینگ مناسب برای سوئیچهای ساخت. وظیفه اصلی کنترلر می‌نماید که این هارمونیکهای از پیش تعیین شده به اضافه THD یا می‌نماید کردن مؤلفه اصلی جریان فیلتر است. با وجود این، این خواسته به صورت بلادرنگ قابل دستیابی نیست؛ بلکه یک تأخیر زمانی بین تغییرات هارمونیکی جریان و تعیین مجموعه جدید برای الگوی سوئیچینگ با روش بهینه سازی وجود خواهد داشت. این تکنیک اغلب برای بارهای ثابت یا بارهای با تغییرات کند مناسب است.

۴-۲-۸-۲) تکنیک کنترل خطی ولتاژ

این روش تنها برای فیلترهای اکتیو از نوع رگولاتور ولتاژ مناسب است. ولتاژ خازن خروجی به طور خطی با شارژ و دشارژ پیوسته کنترل می‌شود. مرجع ولتاژ خازن از روی هارمونیک مرجع محاسبه می‌شود و نرخ تغییرات هارمونیکهای جریان بار را شامل می‌شود. تغییر پیوسته و نرم ولتاژ خازن، در مقایسه با تغییرات ناگهانی شکل موجهای ولتاژ اینورتر، تغییر جریان در حلقه منبع/اینورتر را کنترل می‌کند و لذا فرکانس سوئیچینگ کاهش می‌یابد. مزیت اصلی این روش این است که تغییرات ناگهانی ولتاژ در سمت تغذیه رخ نمی‌دهد. به این ترتیب اندازه هارمونیکهای فرکانس بالای وارد شونده به منبع در اثر وجود اینورتر PWM کاهش می‌یابد.

۵-۲-۸-۲) روش‌های دیگر

بر اساس روش‌های تطبیقی، پیش‌بینی و مد لغزشی روش‌های دیگری پیشنهاد شده اند که پیاده سازی آنها بدون استفاده از DSP بسیار مشکل است.

۳-۸-۲) استفاده از کنترلر فازی

روشی که در این پژوهه مورد استفاده قرار گرفته از یک کنترلر فازی برای تثبیت ولتاژ خازن استفاده می کند. این روش در واقع بر مبنای روش ولتاژ ثابت خازن است که پیش از این توضیح داده شد. اما تاکنون از کنترلر فازی به این طریق در فیلترهای فعال استفاده نشده است. چگونگی انتخاب کنترلر فازی و بکارگیری آن در این پژوهه به طور مفصل در فصل چهارم بررسی خواهد شد.

فصل سوم

مدل بارهای کامپیوتروی

۱-۳) مقدمه

بارهای کامپیوتروی را می توان در همه بخش‌های خانگی، تجاری و صنعتی هر جامعه یافت. طبیعت این بارها بسیار غیرخطی است به گونه‌ای که شکل موجه‌ای جریان خط را مغشوش می‌کند و در برخی حالات می‌تواند به شکل قابل ملاحظه‌ای در شکل موج منبع ولتاژ اعوجاج ایجاد کند و نتیجتاً کارکرد بارهای کامپیوتروی را با مشکل مواجه نماید. در این فصل ابتدا نگاهی خواهیم داشت بر هارمونیکهای جریان یک کامپیووتر و سپس مدل در نظر گرفته شده برای یک کامپیووتر و یک مرکز کامپیووتر با ۲۰ دستگاه را معرفی و بررسی خواهیم نمود. لازم به ذکر است که مدل مورد نظر از داده‌های کشور کانادا استخراج شده است و بر مبنای فرکانس ۶۰Hz می‌باشد.

۲-۳) هارمونیکهای جریان یک کامپیووتر

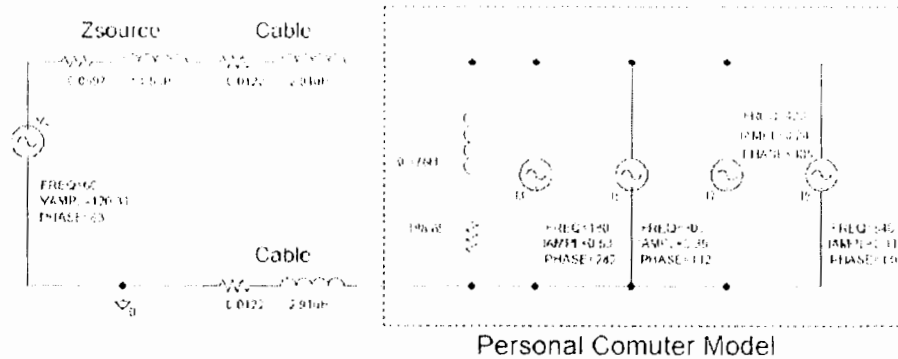
طبق اندازه گیری‌های به عمل آمده منابع تغذیه سوئیچینگ کامپیوتراهای شخصی هارمونیکهای جریانی تا مرتبه ۲۵ تولید می‌کنند. هارمونیکهای زوج، ناچیز و قابل صرف نظر هستند. در جدول ۱-۳ دامنه و فاز هریک از هارمونیکهای فرد آمده است [۱]. (فاز منبع ولتاژ در این اندازه گیری ۸۳ درجه بوده است).

جدول ۲ حلیف هارمونیکی جریان یک دستگاه کامپیوتر شخصی

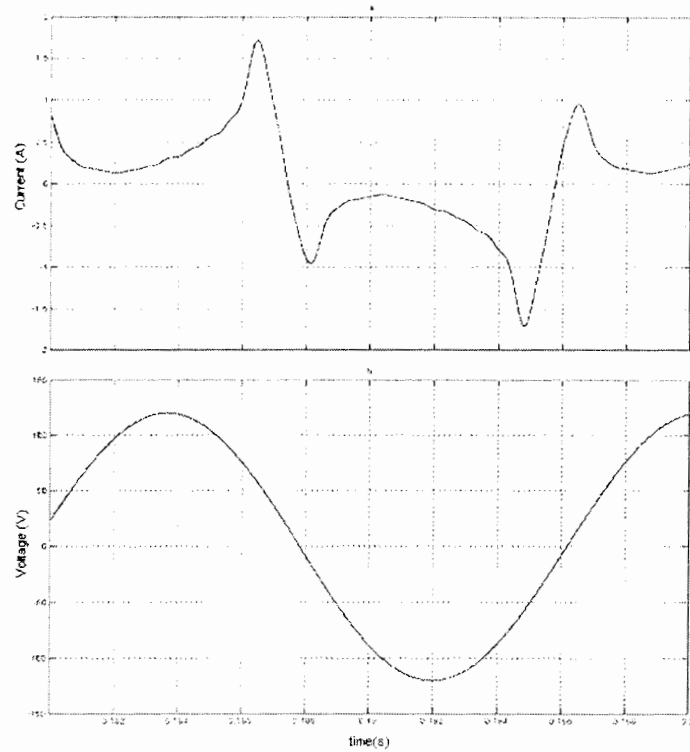
مرتبه هارمونیک	دامنه (%) هارمونیک اصلی	زاویه فاز به درجه
۱	۶۴	اصلی
۳	۲۸۲	۸۷.۹
۵	۱۱۲	۶۵.۰
۷	۳۰۵	۴۰.۷
۹	۱۴۰	۱۸.۳
۱۱	۲۹	۳.۳
۱۳	۳۱۱	۷.۳
۱۵	۱۵۳	۷.۰
۱۷	۳۵۶	۵.۱
۱۹	۲۵۱	۱.۹
۲۱	۱۵۲	۲.۷
۲۳	۳۵۷	۳.۵
۲۵	۲۱۴	۲.۲

بر این مبنای با توجه به بخش ۲ از فصل هشتم استاندارد IEEE 519-1992 منبع جریان یک مدل با منبع جریان برای چنین باری در نظر گرفت. این مدل در شکل ۱-۳ آمده است. در اینجا برای هر یک از هارمونیکها یک منبع جریان سینوسی با فرکانس مربوط به آن در نظر گفته شده است. باید خاطر نشان کرد که در شکل ۱-۳ برای سادگی تنها تا هارمونیک نهم در مدلسازی آمده است. شکل موج ولتاژ در نقطه اتصال به منبع و جریان بار با در نظر گرفتن مدل کامل برای کامپیوتر به صورت شکل ۲-۳ است. چنانکه مشخص است جریان شکل ۲-۳ b با مولفه اصلی $0.6\angle 64^\circ$ بسیار هارمونیکی است.

و دارای اعوجاج هارمونیکی کلی^۱ برابر با THD=118.8% است (این مقدار از شبیه سازی در محیط Matlab/Simulink حاصل شده است).



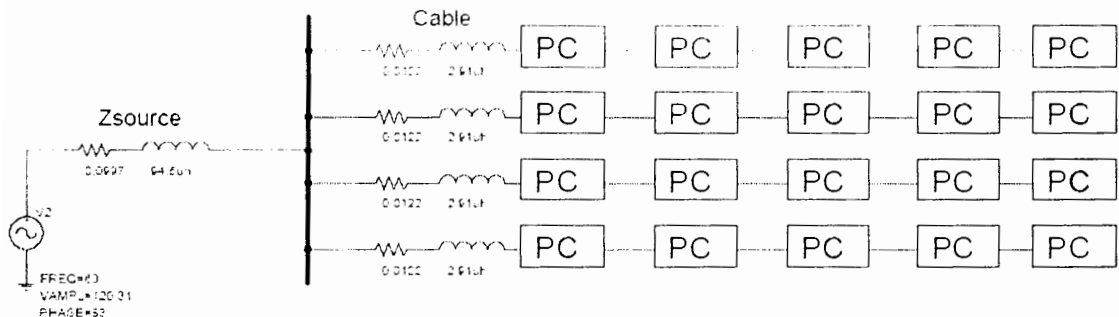
شکل ۱-۳ مدار معادل یک کامپیوتر شخصی (در منابع جریان سینوسی این شکل، جریان از سمت منفی به مثبت جاری می شود)



شکل ۲-۳ (a) شکل موج جریان مصرفی کامپیوتر (b) شکل موج ولتاژ در نقطه اتصال به منبع

^۱ - Total Harmonic Distortion

در این پروژه برای شبیه سازی یک مرکز کامپیوتر، آرایشی به صورت شکل ۳-۲ برای آن در نظر گرفته شده است. در این حالت مجموعاً ۲۰ دستگاه کامپیوتر در ۴ دسته ۵ تایی از طریق چهار کابل به منبع متصل شده اند.

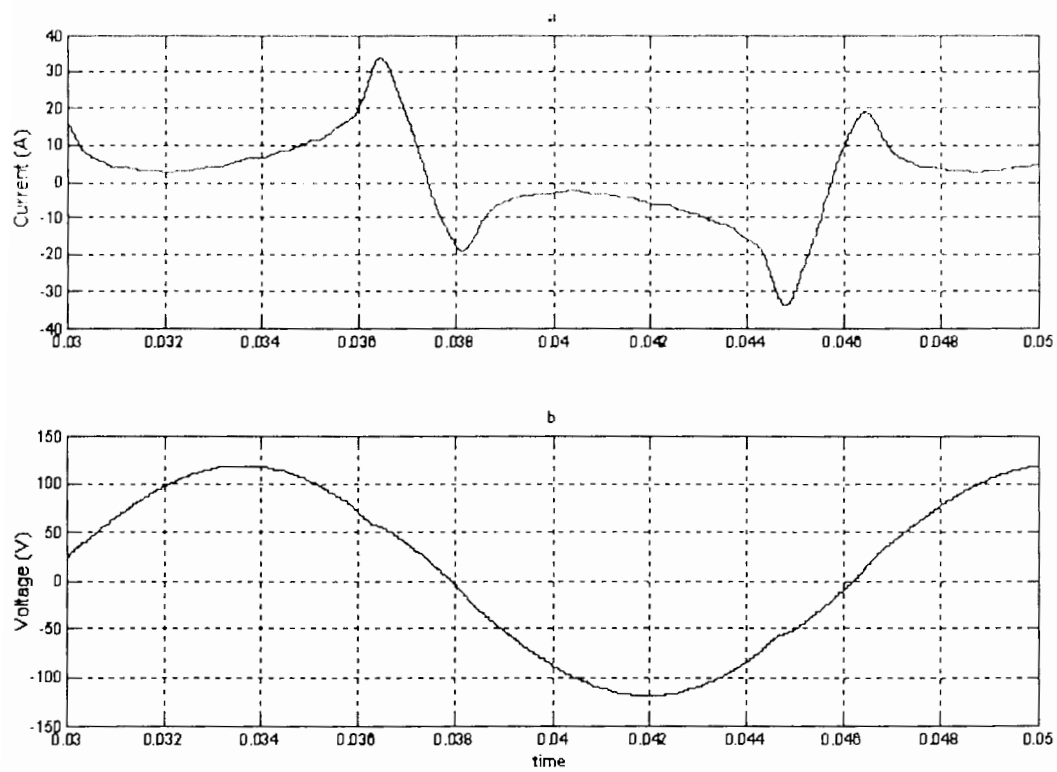


شکل ۳-۳ آرایش درنظر گرفته شده برای یک مرکز کامپیوتر با ۲۰ دستگاه

در این حالت شکل موج ولتاژ در نقطه اتصال مشترک و جریان منبع به صورت شکل ۴-۳ خواهد بود. در اینجا بازهم اعوجاج هارمونیکی کل برای جریان برابر با $\text{THD}=118.8\%$ و برای ولتاژ نقطه اتصال مشترک برابر با $\text{THD}=2.38\%$ می باشد.

۳-۳) حذف هارمونیکها

چنانکه از شکل موجهای ۲-۳ و ۴-۳ مشخص است جریان مصرفی یک مرکز کامپیوتر دارای اعوجاج بسیار است و به این طریق پارامترهای کیفیت توان به شدت تحت تاثیر قرار می گیرند. همانطور که قبله هم گفته شد این تاثیر متقابلاً بر کارکرد کامپیوترها تاثیر منفی خواهد گذاشت. برای رفع این مشکل در این پروژه با در نظر گرفتن یک فیلتر فعال تکفار از نوع موازی سعی شد تا هارمونیکهای جریان بار جبران شوند و در ضمن ضریب توان نیز به مقدار واحد نزدیک شود تا به این طریق توان راکتیو مصرفی بار بار منبع اثر نگذارد. نتایج آمده در فصل پنجم بخوبی بیانگر این مساله هستند.



شکل ۴-۳ (a) شکل موج جریان مصرفی مرکز کامپیووتر (b) ولتاژ نقطه اتصال مشترک

فصل چهارم

فیلتر فعال تکفار برای بهبود کیفیت توان مرکز رایانه

۱-۴) مقدمه

در این فصل به طور کامل فیلتر فعال تکفار در نظر گرفته شده برای این پروژه و چگونگی کنترل آن را مورد بررسی قرار می دهیم.

در ابتدا به چگونگی محاسبه متغیر جبران شدنی می پردازیم. در این پروژه به دو روش مختلف هارمونیک اصلی جریان محاسبه شده است. اولین روش بر مبنای تبدیل فوریه است که با استفاده از تکنیک پنجره لغزان، بهبود یافته و به حجم محاسباتی پایینی دست یافته است. در روش دوم با استفاده از داده های بدست آمده در روش اول، یک شبکه فازی-عصبی تطبیقی (ANFIS)^۱ آموزش داده شده و با دریافت نمونه های کمتری از جریان ورودی دامنه هارمونیک اصلی را در خروجی تخمین می زند.

پس از محاسبه مؤلفه اصلی جریان بار، با تفاصل آن از کل جریان بار، بخش هارمونیکی و اضافه جریان بدست می آید. این جریان در واقع همان جریانی است که فیلتر فعال باید معکوس آن را از شبکه بکشد تا عمل جبران سازی آنجام شود.

۱ - Adaptive Neuro-Fuzzy Interface System

در ادامه ساختار مدار قدرت را به طور مختصر بررسی و المانهای در نظر گرفته شده را معرفی خواهیم نمود.

در بخش بعد یک روش پیشنهادی برای مدولاسیون باند هیسترزیس معرفی و چگونگی پیاده‌سازی آن ارائه می‌شود. این روش نسبت به روش معمول بهبودی نسبی در اعوجاج هارمونیکی کل ایجاد می‌کند.

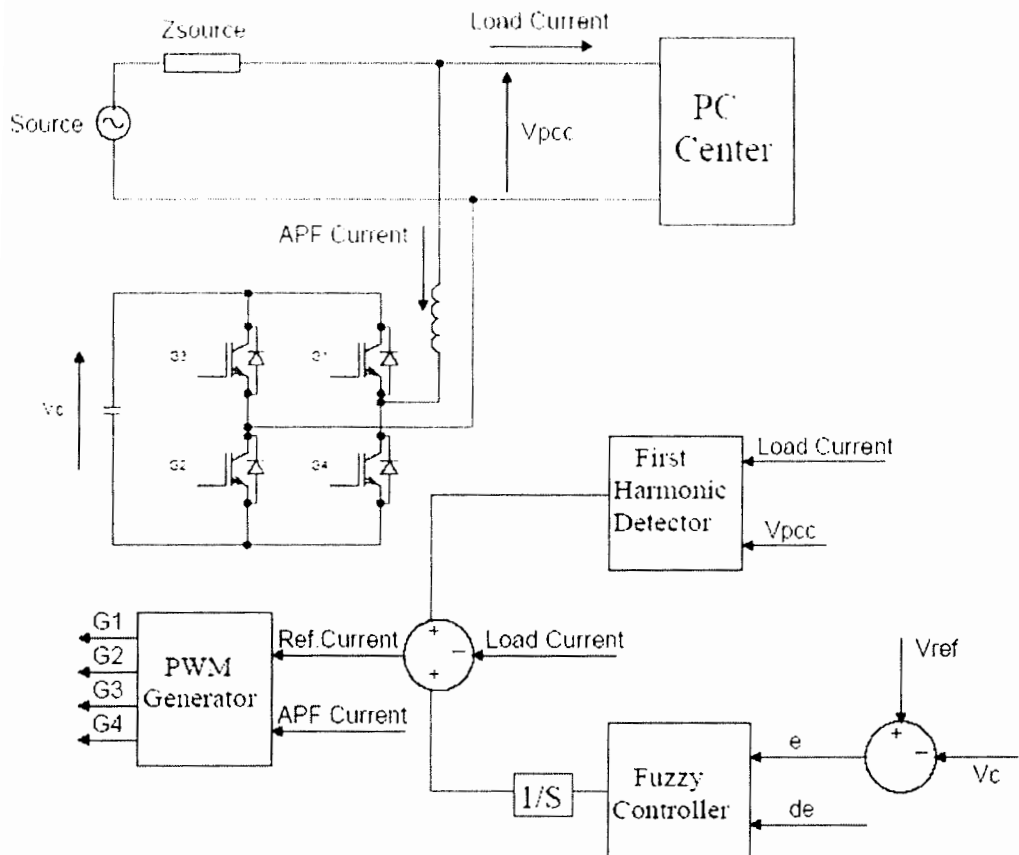
در بخش آخر کنترلر فازی مورد استفاده برای کنترل ولتاژ باس DC معرفی خواهد شد. این کنترلر با دریافت خطای ولتاژ خازن باس DC و همچنین تغییرات این خطای دامنه جریان مورد نیاز برای تثبیت ولتاژ خازن را مشخص خواهد نمود. این جریان به جریان بدست آمده از مرحله قبل اضافه می‌شود و جریان مرجع فیلتر فعال را مشخص می‌نماید.

پس از مشخص شدن جریان مرجع فیلتر فعال، کنترلر PWM با روش باند هیسترزیس این جریان را تولید خواهد نمود.

بلوک دیاگرام کل سیستم در شکل ۱-۴ آمده است.

۲-۴) محاسبه مؤلفه اصلی جریان بار

برای محاسبه مؤلفه اصلی در این پژوهه دو روش مورد استفاده قرار گرفت. روش اول بر مبنای تحلیل فوریه می‌باشد که با هدف پیاده‌سازی در پروسسورهای کم سرعت پیشنهاد شده است. روش دوم با استفاده از تعداد نمونه‌هایی کمتر از روش اول و با استفاده از یک شبکه فازی-عصبی تطبیقی هارمونیک اول را محاسبه می‌کند. در این روش نمونه‌ها با فرکانس $\frac{1}{3} kHz$ انتخاب می‌شوند و در عین حال دقت مناسبی حاصل می‌شود.



شکل ۱-۴ نمای کلی مدار فیلتر قدرت تکفاز در نظرگرفته شده در این پروژه

۱-۲-۴) تبدیل فوریه با پنجره لغزان

برای یک شکل موج قراردادی $x(t)$ با پهنای باند محدود، با پریود T_{period} و شامل هارمونیکهای

فرد که از ω تا $(\omega \cdot N_{max})$ تغییر می کند، سری فوریه به صورت رابطه ۱ قابل نوشتن است

$$x(t) = \sum_{\substack{i=1 \\ i \text{ odd}}}^{N_{max}} A_i \cos(i\omega t) + B_i \sin(i\omega t) \quad (1)$$

که

$$A_i = \frac{2}{T_{period}} \int_0^{T_{period}} x(t) \cos(i\omega t) dt \quad (2)$$

$$B_i = \frac{2}{T_{period}} \int_0^{T_{period}} x(t) \sin(i\omega t) dt \quad (3)$$

معادلات بالا باید برای استفاده در DSP تصحیح شوند. با تبدیل این روابط به زمان کسیسته با فاصله زمانی ثابت τ و با تعداد نقاط N_{points} در هر سیکل خواهیم داشت:

$$x(k\tau) = \sum_{\substack{i=1 \\ i \text{ odd}}}^{N_{max}} A_i \cos(i\omega k\tau) + B_i \sin(i\omega k\tau) \quad (4)$$

که $\tau = \frac{T_{period}}{N_{points}}$ و مشابها خواهیم داشت:

$$A_i = \frac{2}{N_{points}} \sum_{j=0}^{N_{points}-1} x(j\tau) \cos(i\omega j\tau) \quad (5)$$

$$B_i = \frac{2}{N_{points}} \sum_{j=0}^{N_{points}-1} x(j\tau) \sin(i\omega j\tau) \quad (6)$$

روابط بالا بدلیل دارا بودن شرط شروع از نقطه اولیه ($j=0$) یعنی یک زمان ثابت، هنوز مشکل حجم محاسبات را دارند. در تحلیل فوریه با پنجره لغزان، نقطه شروع همواره با رسیدن به لحظه جدید، یکی به جلو می رود. به این ترتیب روابط جدیدی به صورت زیر حاصل می شوند. (جالب توجه است که j از

تا $N_{points}-1$ جابجا می شود.)

$$A_i = \frac{2}{N_{points}} \sum_{j=N_{current}}^{N_{points}+N_{current}-1} x(j\tau) \cos(i\omega j\tau) \quad (7)$$

$$B_i = \frac{2}{N_{points}} \sum_{j=N_{current}}^{N_{points}+N_{current}-1} x(j\tau) \sin(i\omega j\tau) \quad (8)$$

تصحیح ایجاد شده هنوز با توجه به حجم محاسبات بالای مورد نیاز برای هر هارمونیک مناسب نیست.

نکته مهم این است که در کاربرد فیلتر فعال، تنها، مؤلفه اصلی مورد نیاز است. در واقع می توان با محاسبه هارمونیک اصلی و کاستن آن از کل جریان بار، جریان مرجع را محاسبه نمود. این کار محاسبات زیادی لازم ندارد. مؤلفه اصلی $x_1(k\tau)$ به صورت رابطه ۹ است.

$$x_1(k\tau) = A_1 \cos(\omega k \tau) + B_1 \sin(\omega k \tau) \quad (9)$$

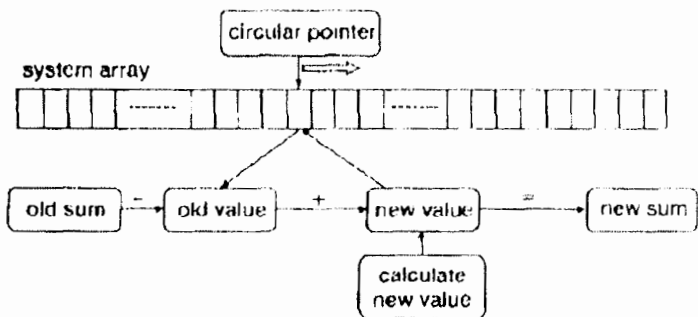
و ضرایب سری فوریه برای روش پنجره لغزان اینگونه اند:

$$A_1 = \frac{2}{N_{points}} \sum_{j=N_{current}}^{N_{points}+N_{current}-1} x(j\tau) \cos(\omega j \tau) \quad (10)$$

و

$$B_1 = \frac{2}{N_{points}} \sum_{j=N_{current}}^{N_{points}+N_{current}-1} x(j\tau) \sin(\omega j \tau) \quad (11)$$

برای بدست آوردن مقادیر لحظه ای سیگنال مطلوب به صورت زمان واقعی، مقادیر A_1 و B_1 باید در هر لحظه مشخص باشند. لذا باید محاسبات ۱۱۰ در هر لحظه نمونه برداری انجام گیرند. این مساله همچنان زمان بر است. روش بهتر برای حل مشکل زمان محاسبه، استفاده از آرایه هاست. در واقع ضرایب معادلات ۱۱۰ در دو آرایه یک بعدی قرار می گیرند. کافی است در هر بار محاسبه A_1 و B_1 ، اندازه اولین نمونه سیگنال از مقدار قبلی A_1 و B_1 ، کسر شود و اندازه جدیدترین نمونه به آن اضافه شود تا مقدار جدید A_1 و B_1 حاصل شود. این عملیات در شکل ۴-۲ آمده است. به این ترتیب در محاسبه A_1 و B_1 تنها یک تفاضل، یک عمل جمع و یک عمل ضرب وجود خواهد داشت و زمان محاسبات به شدت کاهش می یابد.



شکل ۴-۲ اجرای تبدیل فوریه بهبود یافته با پنجره لغزان

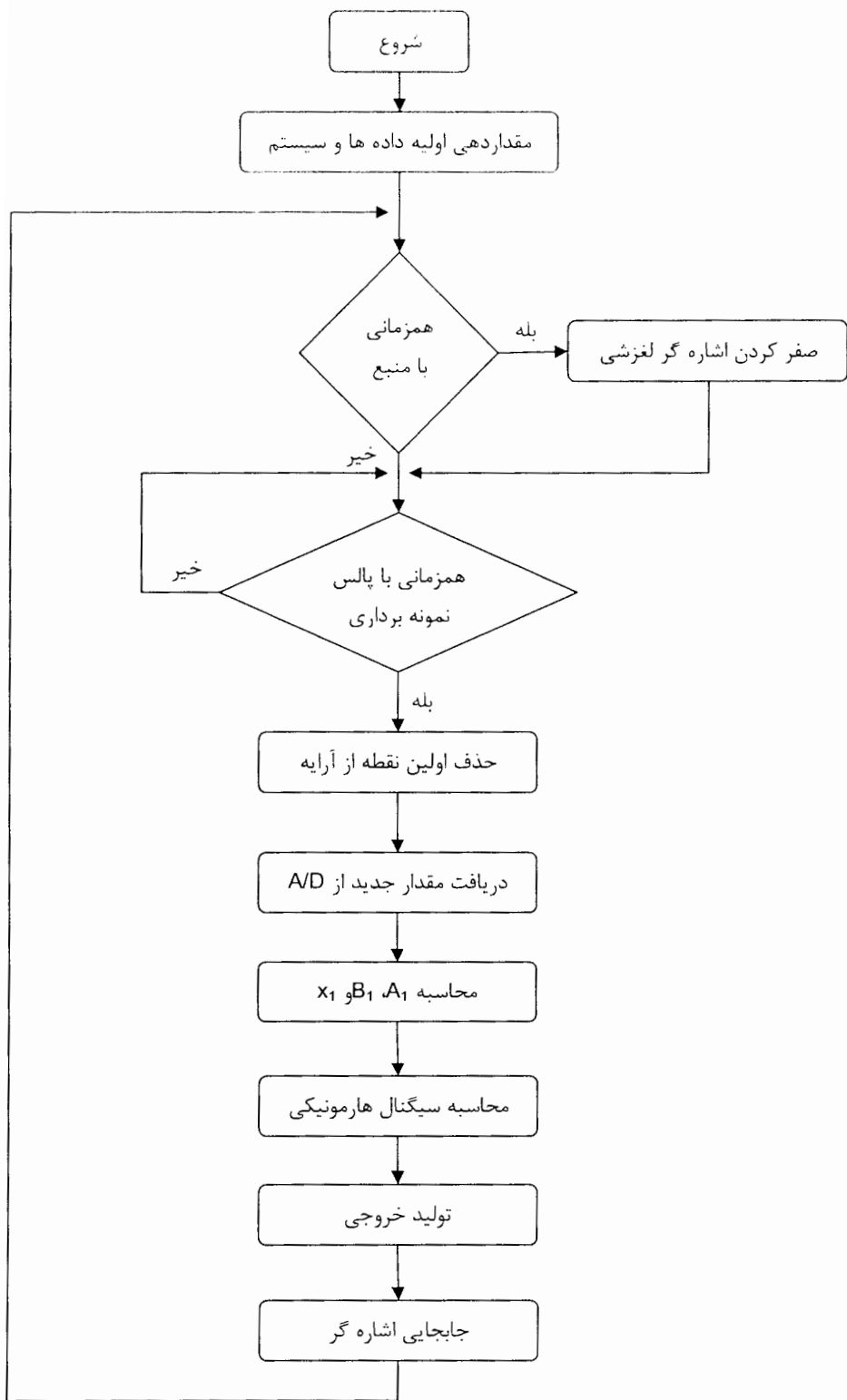
با توجه به اینکه هدف این روش محاسبه مؤلفه اصلی است که طبیعتاً فرکانس پایینی دارد لذا برای این کار نیازی به نمونه برداری با سرعت بالا وجود نخواهد داشت. مثلاً برای آشکار سازی فرکانس 60Hz نمونه برداری با فرکانس 1kHz کفایت می‌کند. به این ترتیب باز هم حجم محاسبات کاهش یافته و زمان بیشتری در اختیار خواهد بود.

فلوچارت این روش به طور خلاصه در شکل ۴-۳ آمده است.

۴-۲-۴) محاسبه مؤلفه اصلی با استفاده از ANFIS

در این روش برای تولید داده‌های آموزشی از جریان بار با فرکانس $\frac{1}{3} kHz$ نمونه برداری شده است و در واقع برای هر پریود مؤلفه اصلی تنها به ۶ نمونه نیاز است. داده‌های آموزشی برای ۱، ۵، ۱۰، ۱۵ و ۲۰ کامپیوتر انتخاب شده اند و آموزش شبکه با استفاده از جعبه ابزار MATLAB/ANFIS انجام شده است. در اینجا ورودیها ۶ نمونه مذکور هستند و خروجی شبکه دامنه مؤلفه اصلی است. با انتخاب نوع شبکه به روش Subtractive Clustering و استفاده از مقادیر پیش فرض آن، شبکه با خطای $1.9622e-7$ آموزش داده می‌شود.

برای آزمایش شبکه داده‌های تست با در نظر گرفتن ۱۸، ۹، ۳ و ۱۱ کامپیوتر بدست آمده اند. برای این داده‌ها خطای متوسط شبکه آموزش دیده ۰.۰۷۶ می‌باشد که خطای قابل قبولی است.



شکل ۴-۳ فلوچارت روش تبدیل فوریه بهبود یافته با پنجره لغزان

در این شبکه هر ورودی دارای ۵ تابع عضویت از نوع gaussmf است و خروجی از نوع خطی انتخاب شده است. در مجموع پنج قاعده فازی از نوع تاکاگی-سوکنو برای تولید خروجی مطلوب تعریف شده اند.

به این ترتیب از این شبکه در محاسبه جریان مرجع فیلتر فعال این پروژه استفاده می شود و همانطور که گفته شد تعداد نمونه های کم مورد نیاز از جریان بار مزیت اصلی این روش است.

۳-۴) ساختار مدار قدرت

در این قسمت به چگونگی انتخاب المانهای مدار می پردازیم. در مقالات مختلف، روشها و روابط مختلف و گاه متفاوتی ذکر شده و استاندارد مشخصی برای مقادیر المانها وجود ندارد. لذا با استفاده از روابطی که ذکر می شود تنها می توان به حداقل مقادیر لازم دست یافت و انتخاب دقیق مقادیر نیاز به آزمایش و خطا دارد. در واقع با هر بار تغییر در مقادیر قطعات می توان به کارکرد خاصی از مدار دست یافت و انتخاب شرایط مناسب بسته به پارامترهای مهمی نظری THD، ریپل ولتاژ خازن و... خواهد بود.

۱-۳-۴) ولتاژ باس DC

به طور کلی ولتاژ باس DC باید بیش از ۱.۷۹ برابر پیک ولتاژ منبع باشد [۲۹]. به این ترتیب خواهیم داشت:

$$V_{dc} > 1.79 \cdot Vp = 1.79 \cdot 120.3 = 215.3 \quad (12)$$

۲-۳-۴) خازن باس DC

حداقل مقدار خازن باس DC را می توان از رابطه ۱۳ بدست آورد [۳۰].

$$C \geq \frac{P_o}{2f_{line}(V_{o\max}^2 - V_{o\min}^2)} \quad (13)$$

در این رابطه P_o توان ماکزیمم است که از مجموع توان بار و توان تلفاتی فیلتر فعال بدست می آید. همچنین $V_{o\min}$ و $V_{o\max}$ مقادیر حداقل و حداقل ریپل ولتاژ خازن هستند و f_{line} فرکانس مؤلفه اصلی است.

در اینجا با در نظر گرفتن ۲۰ کامپیوتر که هر یک در ولتاژ $120.3\angle 83$ جریانی به میزان $0.6\angle 64$ مصرف می کنند و با صرف نظر از تلفات فیلتر فعال خواهیم داشت:

$$P_o = 20 \cdot \frac{1}{2} \cdot 120.3 \cdot 0.6 \cdot \cos(83 - 64) = 682.5 \text{ Watt} \quad (14)$$

همچنین با انتخاب ولتاژ مرجع ۲۵۰ ولت و با در نظر گرفتن ۵ درصد ریپل برای ولتاژ خازن خواهیم داشت:

$$V_{omax}=262.5 \text{ V}, V_{omin}=237.5 \text{ V} \quad (15)$$

به این ترتیب از قرار دادن روابط ۱۴ و ۱۵ در رابطه ۱۳ حداقل مقدار خازن به صورت زیر بدست می آید.

$$C \geq \frac{682.5}{2 \cdot 60 \cdot (262.5^2 - 237.5^2)} = 455 \mu F \quad (16)$$

۳-۳-۴ سلف محدود کننده جریان

حداقل مقدار اندوکتانس فیلتر را می توان از رابطه ۱۷ محاسبه نمود [۳۱].

$$L > \frac{V_{af,rms}}{0.05 \cdot I_1 \cdot 2\pi \cdot f_{sw}} \quad (17)$$

در این رابطه $V_{af,rms}$ ولتاژ مؤثر خروجی اینورتر در فرکانس سوئیچینگ، f_{sw} فرکانس سوئیچینگ و I_1 دامنه مؤلفه اصلی جریان است. با در نظر گرفتن این مقادیر به صورت

$$V_{af,rms} = V_{dc} = 250V, I_1 = 12A, f_{sw} = 30kHz \quad (18)$$

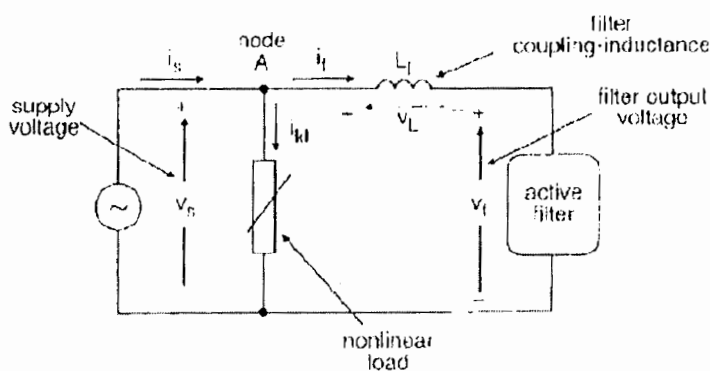
حداقل مقدار اندوکتانس به صورت رابطه ۱۹ بدست خواهد آمد.

$$L \geq \frac{250}{0.05 \cdot 12 \cdot 2\pi \cdot 30000} = 2.2mH \quad (19)$$

۴-۴) روش پیشنهادی مدولاسیون باند هیسترزیس

چنانکه در بخش ۲-۶ بیان کردیم از بین انواع روش‌های مدولاسیون، روش باند هیسترزیس برای تولید جریان در فیلترهای فعال مناسب‌ترین روش است. در این روش به طور معمول یک حد ثابت برای خطا در نظر گرفته می‌شود و عمل سوئیچینگ در هنگام عبور خطا از این محدوده انجام می‌گیرد.

شکل ۴-۴ را در نظر بگیرید. رابطه ۲۰ وضعیت جریان فیلتر را در هنگام سوئیچینگ نشان می‌دهد. آنچه جالب توجه است اینکه نرخ تغییر جریان اندوکتانس محدود کننده موجود در فیلتر با توجه به تغییر ولتاژ منبع سینوسی به طور پیوسته در حال تغییر است.



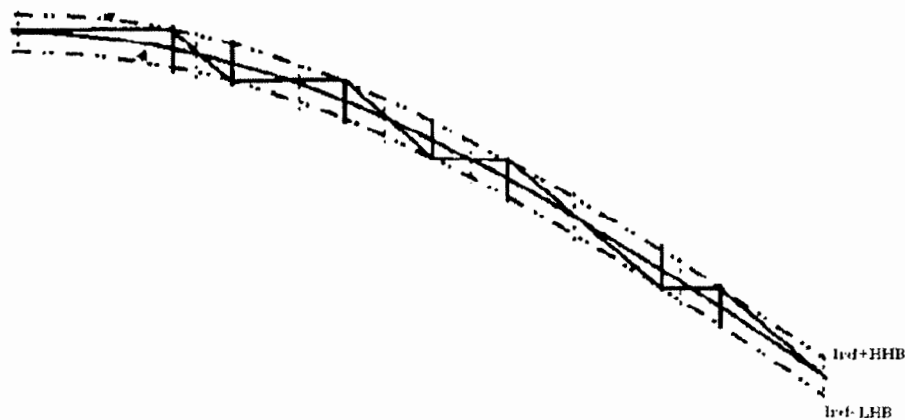
شکل ۴-۴ ساختار کلی یک فیلتر فعال موازی

$$v_f(t) = v_s(t) - L_s \frac{di_f(t)}{dt} \quad (20)$$

از طرف دیگر با فرض اینکه جهت جریان فیلتر از سمت منبع سینوسی به منبع DC مثبت باشد. هنگامی که ولتاژ منبع مثبت است نرخ کاهش جریان فیلتر کمتر از نرخ افزایش آن است. زیرا در هنگام افزایش جریان، v_f مقدار منفی و در هنگام کاهش جریان مقدار مثبت دارد. به همین صورت هنگام منفی بودن ولتاژ منبع سینوسی نرخ کاهش جریان بیش از نرخ افزایش آن است.

بر این اساس می‌توان روش‌هایی را برای رفع این مشکل پیشنهاد نمود. یکی از این روشها استفاده از اینورترهای چند سطحی است. اما استفاده از این روش باعث افزایش تعداد المانهای سوئیچینگ می‌شود و لذا قابل توجیه نیست.

روشی که در این پژوهه پیشنهاد شده، استفاده از باند هیسترزیس نامتقارن است. باند هیسترزیس را مطابق شکل ۴-۵ به صورت $I_{ref}+HHB$ ، برای افزایش جریان فیلتر و $I_{ref}-LHB$ ، برای کاهش آن در نظر بگیرید. بر اساس روش پیشنهادی در هنگام مثبت بودن ولتاژ منبع سینوسی، $HHB > LHB$ و در هنگام منفی بودن آن $LHB > HHB$ در نظر گرفته می‌شود. به این تأثیر تفاوت نرخ تغییرات جریان در دو حالت یاد شده تا حدودی کاهش می‌یابد.



شکل ۴-۵ مدولاسیون باند هیسترزیس

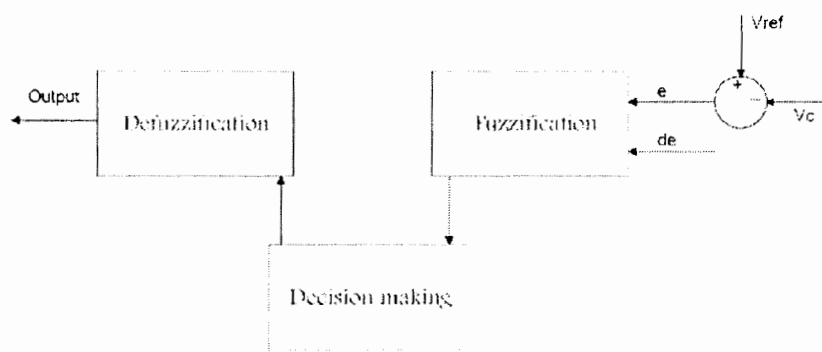
برای تایید این روش با در نظر گرفتن ۱۰ کامپیوتر با آرایشی که در فصل قبل ارائه شد و با مداری مطابق شکل ۴-۱ عمل جبرانسازی انجام گرفت. در این حالت اعوجاج هارمونیکی کل برای بار ۱۱۸.۸٪ است. در اینجا برای اینکه بتوان تأثیر روش مدولاسیون را به صورت مستقل بررسی نمود بجای خازن از یک منبع ولتاژ ۲۵۰ ولت استفاده شد. در حالت اول، با استفاده از روش مدولاسیون با باند هیسترزیس متقارن و با انتخاب مقدار $HHB=LHB=0.1$ مقدار اعوجاج هارمونیکی کل جریان منبع ۳.۴۷٪ حاصل شد. در روش پیشنهادی برای حالت ولتاژ مشتبه منبع $HHB=0.3$ و $LHB=0.1$ و

در حالت ولتاژ منفی منبع $0.1 \text{ THB} = 0.3$ و $1 \text{ THB} = 2.79\%$ برای جریان منبع حاصل شد.

ملاحظه می شود که این روش بهبودی نسبی در اعوجاج هارمونیکی کل ایجاد می کند. انتظار می رود که با انتخاب سطوح بیشتری برای باند هیسترزیس، متناسب با مقادیر مختلف ولتاژ منبع بتوان بهبود بیشتری در میزان اعوجاج هارمونیکی کل بوجود آورد. همچنین لازم است که این تاثیر در فرکانسهای سوئیچینگ مختلف نیز بررسی شود.

۴-۵) طراحی کنترلر فازی

برای پیاده سازی الگوریتم کنترل فیلتر قدرت در نظر گرفته شده مطابق شکل ۴-۱، ولتاژ خازن باس DC اندازه گیری شده، با یک مقدار مرجع مقایسه می شود. آنگاه سیگنالهای خطا، $e = V_{dc,ref} - V_c$ و تغییرات خطا، $de = e_{new} - e_{old}$ مطابق شکل ۴-۶ در هر لحظه نمونه برداری به عنوان ورودی به کنترلر فازی اعمال می شوند. خروجی این کنترلر تغییرات جریان لازم برای شارژ خازن را نشان می دهد [۳۲]. این جریان به جریان هارمونیکی بدست آمده در بخش ۲-۴ اضافه می شود و جریان مرجع فیلتر را تشکیل می دهد.



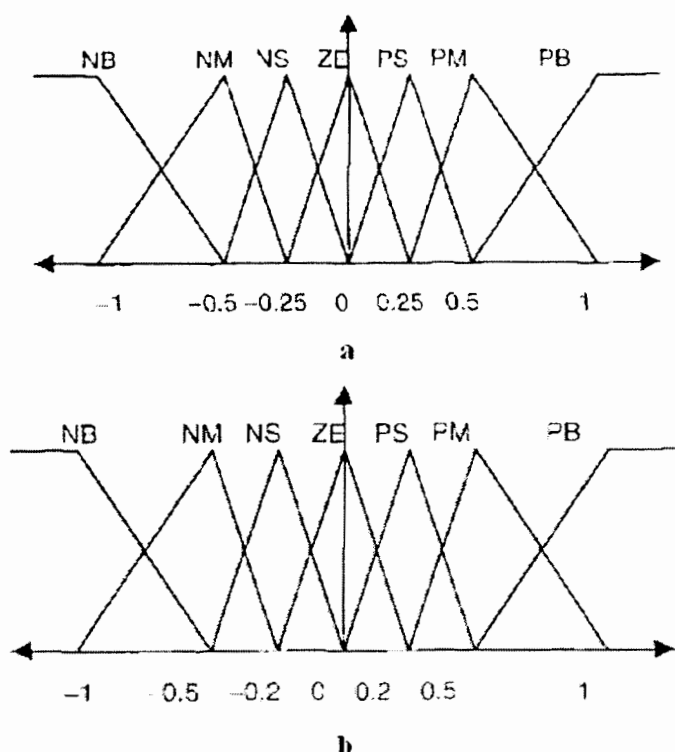
شکل ۴-۶ ساختار کنترلر فازی

در یک کنترلر فازی، عمل کنترل با ارزیابی یک مجموعه قواعد زبانی انجام می شود. ایجاد این قواعد نیازمند درک صحیحی از فرآیند کنترلی مورد نظر است، اما نیازی به مدل ریاضی سیستم ندارد.

در اینجا برای هریک از دو ورودی خطای و تغییرات خطای هفت تابع عضویت فازی تعریف شده است که عبارتند از: NB , NM , NS , ZE , PS , PM و PB . برای این اساس کنترلر فازی شامل اجزاء زیر خواهد بود:

- ۱- هفت تابع عضویت فازی برای هریک از ورودیها و خروجی
- ۲- توابع عضویت مثلثی برای سادگی
- ۳- عملگر «و» فازی به روش \min
- ۴- استلزمام فازی با استفاده از عملگر “ \min ” از نوع ممداňی
- ۵- غیرفازی سازی به روش centroid

توابع عضویت در نظر گرفته شده به صورت شکل ۷-۴ هستند.



شکل ۷-۴ توابع عضویت فازی: (a) ورودیها (b) خروجی

1 - Negative Big, Negative Medium, Negative Small, Zero, Positive Small, Positive Medium, Positive Big

قواعد فازی بر اساس جدول جستجو به صورت جدول ۴ ۱ انتخاب می شوند.

جدول ۴-۱ جدول قواعد فازی

خطا (e)

	NB	NM	NS	ZE	PS	PM	PB
NB	NB	NB	NB	NB	NM	NS	ZE
NM	NB	NB	NB	NM	NS	ZE	PS
NS	NB	NB	NM	NS	ZE	PS	PM
ZE	NB	NM	NS	ZE	PS	PM	PB
PS	NM	NS	ZE	PS	PM	PB	PB
PM	NS	ZE	PS	PM	PB	PB	PB
PB	ZE	PS	PM	PB	PB	PB	PB

با توجه به محدوده در نظرگرفته شده برای توابع عضویت فازی لازم است که ورودیها در محدوده مجاز قرار گیرند. ورودی خطای برای تطبیق با محدوده توابع عضویت نرمالیزه می شود و برای ورودی تغییرات خطای محدوده تغییرات $1 \pm$ در نظر گرفته شد. بدین ترتیب روابط خطای و تغییرات خطای به صورت زیر اصلاح می گردند:

$$e = \frac{V_{ref} - V_c}{V_{ref}} \quad (21)$$

۶

$$de = V_{cnew} - V_{cold} \quad (22)$$

البته برای بھبود حالت گذراي سیستم لازم است که برای ورودی خطای بھرهای بین 2.27 تا 2.63 و برای تغییرات خطای بھرهای برابر با 0.5 در نظر گرفته شود. همچنین یک مقدار ماکزیمم 10A برای جریان شارژ خازن در نظر گرفته شد تا به این طریق جریان مصرفی کل سیستم محدود شود. البته میزان این جریان در مشخصه های پاسخ سیستم تاثیر می گذارد.

برای خروجی کنترلر نیز بهره ای برابر با ۰.۴۵ در نظر گرفته شد تا پاسخ به شکل مطلوبی حاصل شود. همانطور که در شکل ۴-۱ نیز مشخص است در خروجی کنترلر فازی یک انگالگیر قرار داده شده است. به این ترتیب خروجی فازی در هر لحظه به مقدار قبلی جریان شارژ خازن اضافه می-شود.

در فصل پنجم نتایج شبیه سازیها را برای فیلتر فعال طراحی شده بررسی خواهیم نمود.

فصل پنجم

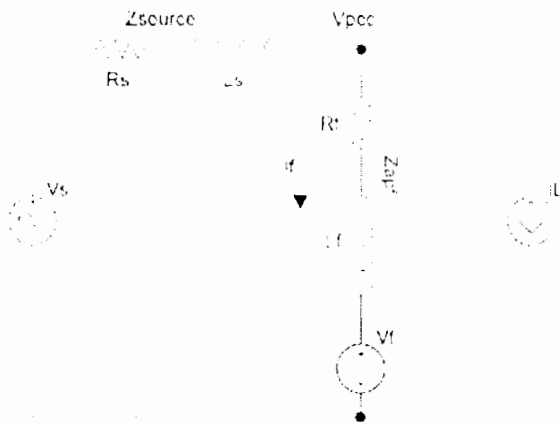
نتایج شبیه سازی

۱-۵) مقدمه

در این فصل نتایج شبیه سازی انجام شده در این پژوهه ارائه می شود. با توجه به اینکه، شبیه سازی در محیط نرم افزار MATLAB انجام گرفته، در ابتدا چگونگی مدلسازی سیستم توضیح داده می شود. آنگاه شرایط مختلفی از قبیل راه اندازی، تغییر بار و تغییر مقادیر المانهای فیلتر بررسی خواهد شد. همچنین نتایج استفاده از شبکه فازی-عصبی تطبیقی در محاسبه هارمونیک اصلی نیز ارائه می شود.

۲-۵) مدلسازی

برای مدلسازی سیستم مورد نظر، مدار شکل ۱-۴ را مطابق شکل ۱-۵ ساده می کنیم. اینورتر به صورت یک منبع ولتاژ V_f سری با سلف L_f در نظر گرفته شده است و R_f مقاومت اندوکتانس است که یک اهم فرض شده است. V_f ولتاژ خروجی اینورتر است که بسته به وضعیت سوئیچها می تواند برابر با $+V_C$ یا $-V_C$ باشد. هرگاه جریان فیلتر از جریان مرجع کمتر باشد $V_f = -V_C$ در غیر این صورت $V_f = +V_C$ خواهد بود. همچنین در این مدار بار کامپیوتر (IL) به صورت جریان ثابت در نظر گرفته شده است. با توجه به شکل ۱-۵ می توان معادلات مدار را به صورت روابط ۱ و ۲ نوشت.



شکل ۱-۵ مدار ساده شده کل سیستم

$$\dot{v}_f = \frac{i_f}{C} \quad (1)$$

$$i_f = \frac{(v_s - v_{PCC}) - R_s(i_f + i_L) - L_s \dot{i}_L}{L_s} \quad (2)$$

حل این معادلات به روش اویلر در نرم افزار MATLAB انجام گرفته، نتایج شبیه سازی ها در بخش‌های بعد خواهد آمد. لازم به توضیح است که در این نتایج، ولتاژ باس DC متوسط ولتاژ خازن است که از نمونه برداری با فرکانس ۱kHz و با استفاده از تکنیک پنجره لغزان، مشابه روش تبدیل فوریه بهبود یافته، حاصل شده است.

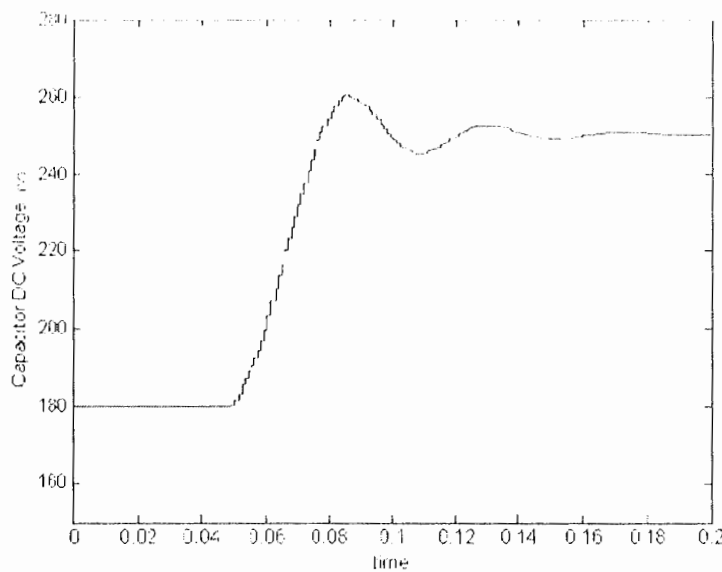
۳-۵ عملکرد کنترلر خطی در هنگام تغییرات بار

برای تعیین کنترلر مقادیر پارامترهای سیستم به صورت زیر در نظر گرفته شدند:

$$C = 800 \mu F, L = 4mH, f_{max} = 30kHz, V_{ref} = 250V$$

مقادیر ولتاژ باس DC، ظرفیت خازن و اندوکتانس سلف با توجه به روابط بخش ۳-۴ انتخاب شده‌اند. همچنین فرکانس سوئیچینگ ماکریم تقریباً ۲۰ برابر بزرگترین هارمونیک جریان انتخاب شده تا عمل حذف هارمونیک به خوبی انجام شود. ولتاژ اولیه خازن نیز ۱۸۰ ولت در نظر گرفته شده است.

قبل از طراحی کنترلر فازی، ابتدا یک کنترلر تناسبی با بهره $P=0.48$ برای سیستم در نظر گرفته شد. ورودی این کنترلر خطای ولتاژ بس DC $E = V_{ref} - V_{dc}$ یعنی می‌باشد. چنانکه شکل ۲-۵ نشان می‌دهد پاسخ، شکل مناسبی دارد.



شکل ۲-۵ ولتاژ بس DC در حالت راه اندازی و با کنترلر تناسبی

در این حالت بالا زدگی برابر ۱۴.۹٪ است، زمان صعود 20.7ms ، زمان نشست با معیار $\frac{1}{3}\text{ms}$ و خطای حالت دائمی $2.1\text{e-}3$ می‌باشد.

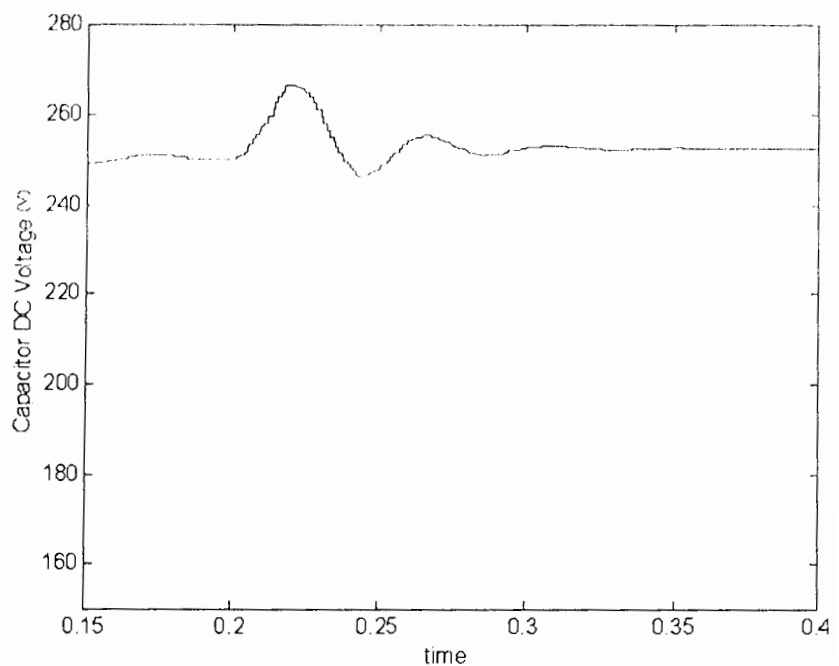
حال لازم است که حالات گذراي سیستم را در حضور کنترلر تناسبی فوق بررسی کنیم.

شکل ۳-۵ تغییرات ولتاژ بس DC را برای کاهش بار به میزان ۵۰٪ نشان می‌دهد.

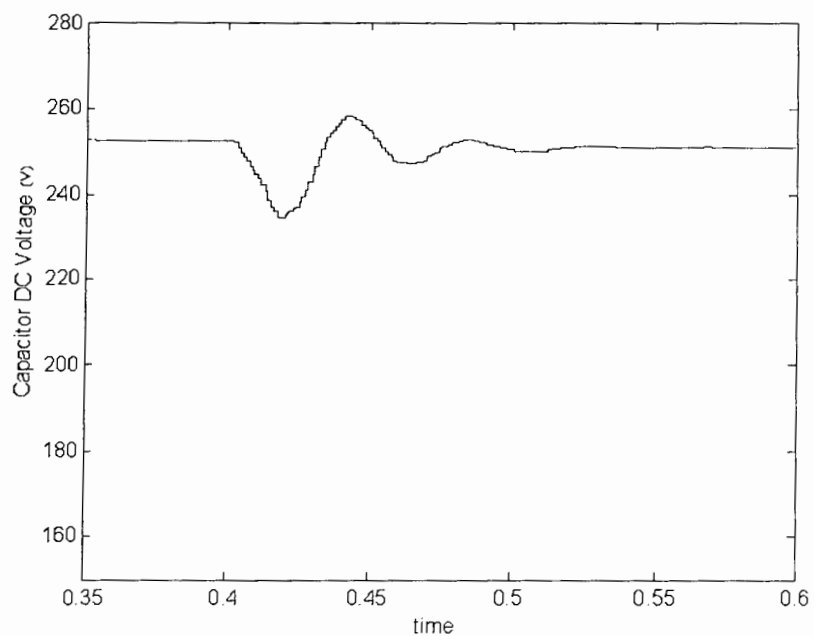
مالحظه می‌شود که در این حالت خطای حالت دائمی به میزان ۱٪ ایجاد شده است و افزایش ولتاژی به میزان ۶.۶٪ نسبت به ولتاژ حالت دائمی در خازن رخ داده است

شکل ۴-۵ تغییرات ولتاژ بس DC را در حالت افزایش بار نشان می‌دهد.

در این وضعیت خطای حالت دائمی به میزان $1.4\text{e-}3$ رسیده است. همچنین در هنگام تغییر بار ولتاژ خازن به میزان ۶.۱٪ افت داشته است.



شکل ۳-۵ ولتاژ بس DC در کاهش بار و با کنترلر تناسبی



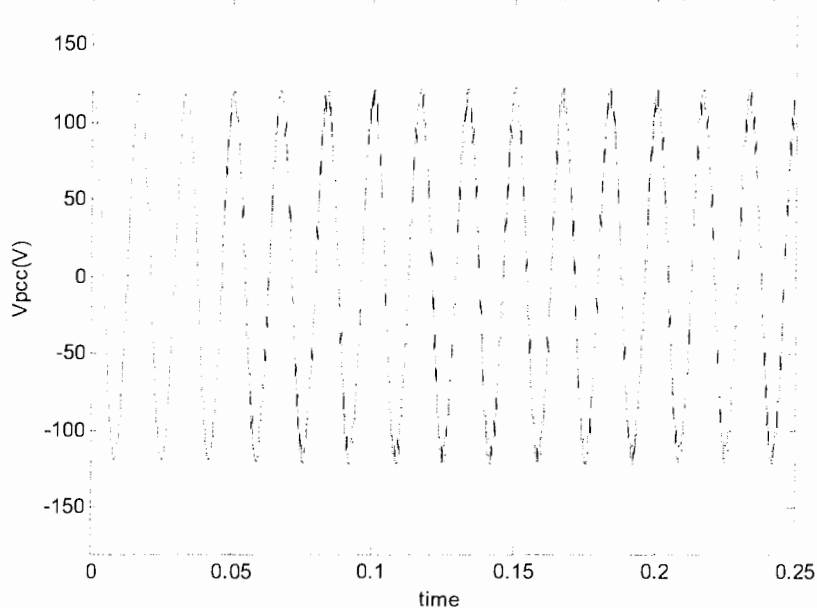
شکل ۴-۵ ولتاژ بس DC در افزایش بار و با کنترلر تناسبی

۴-۵) عملکرد کنترلر فازی در هنگام تغییرات بار

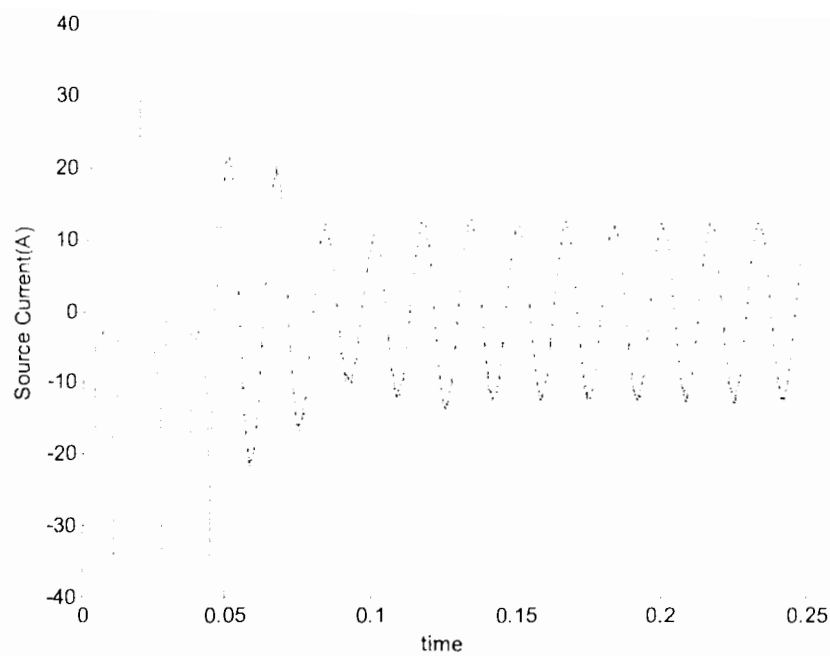
در این قسمت عملکرد کنترلر فازی را در تغییرات بار سیستم بررسی خواهیم نمود. هر یک از حالات راه اندازی، کاهش بار و افزایش بار را به صورت جداگانه ارائه می نماییم. بهره سیگنال ورودی خطای ۲.۳۸ انتخاب شده است. همچنین فرکانس ماکریم مولد PWM به 30kHz محدود شده است. مقادیر المانهای در نظر گرفته شده برای فیلتر فعال در این بخش عبارتند از: $C = 800\mu\text{F}$, $L = 4\text{mH}$.

۱-۴-۵) راه اندازی

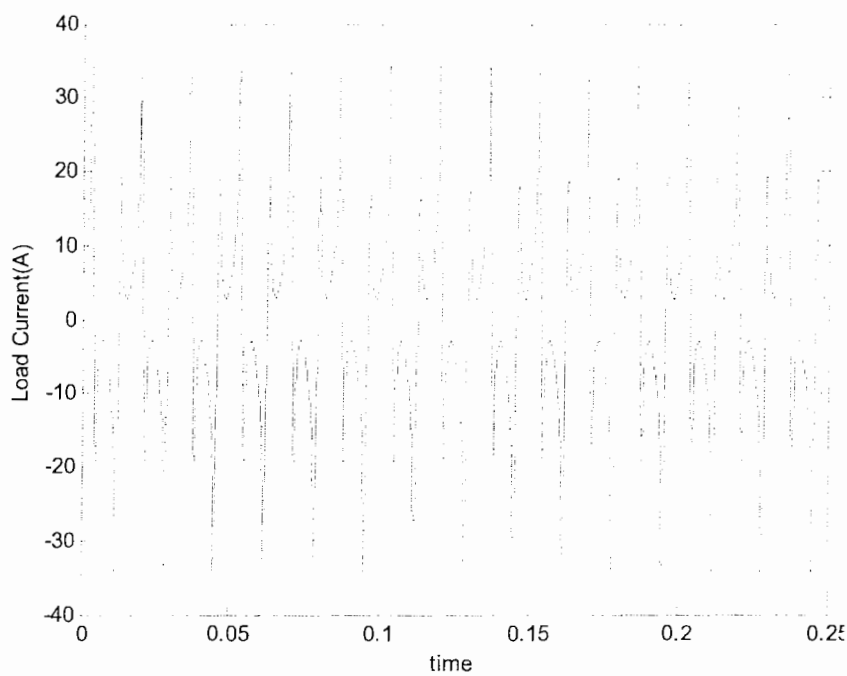
در اینجا فیلتر فعال، هنگامی که مرکز کامپیوتر در شرایط بار کامل قرار دارد وارد عمل می شود. ولتاژ ابتدایی خازن منبع dc، 180 ولت و ولتاژ مرجع 250 ولت در نظر گرفته شده است. شکلهای ۵-۵ تا ۱۰ سیگنالهای مختلف را نشان می دهند.



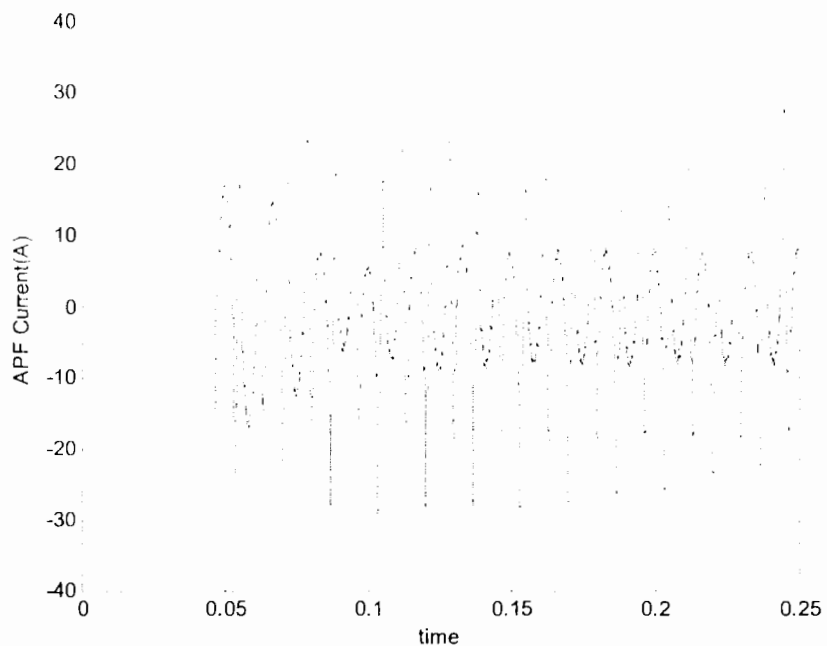
شکل ۵-۵ ولتاژ نقطه اتصال مشترک در حالت راه اندازی با کنترلر فازی



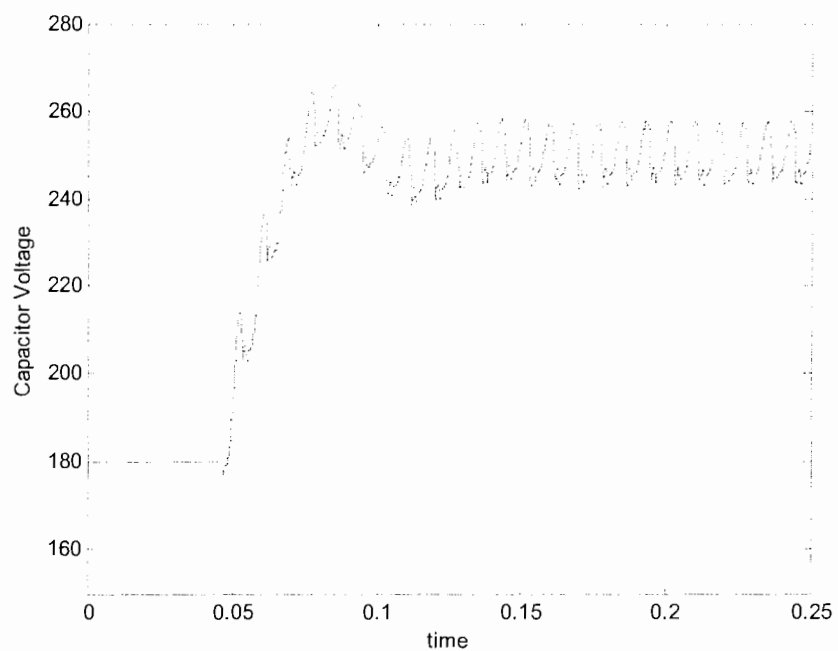
شکل ۶- جریان منبع در حالت راه اندازی با کنترلر فازی



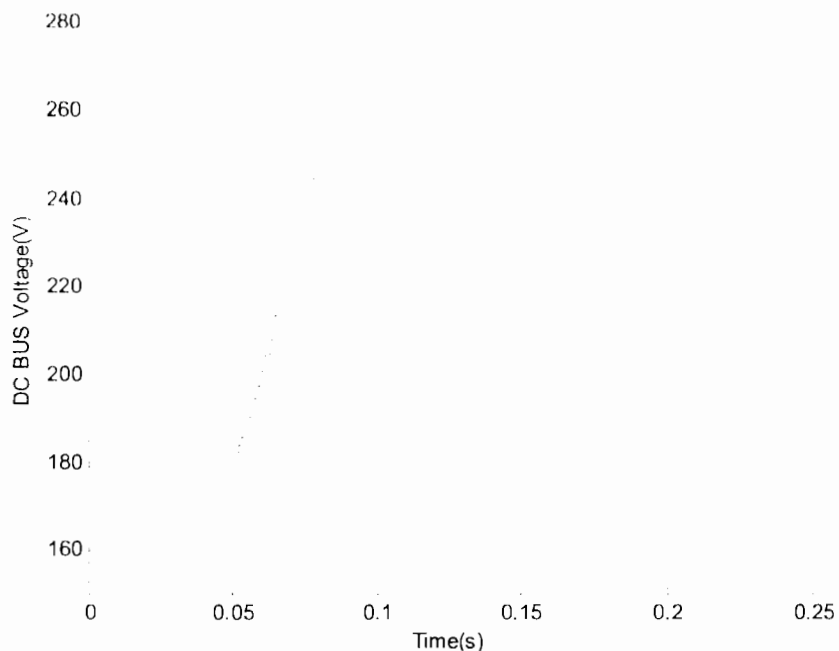
شکل ۷- جریان بار در حالت راه اندازی با کنترلر فازی



شکل ۸-۵ جریان فیلتر فعال در حالت راه اندازی با کنترلر فازی



شکل ۹-۵ تغییرات ولتاژ خازن در حالت راه اندازی با کنترلر فازی

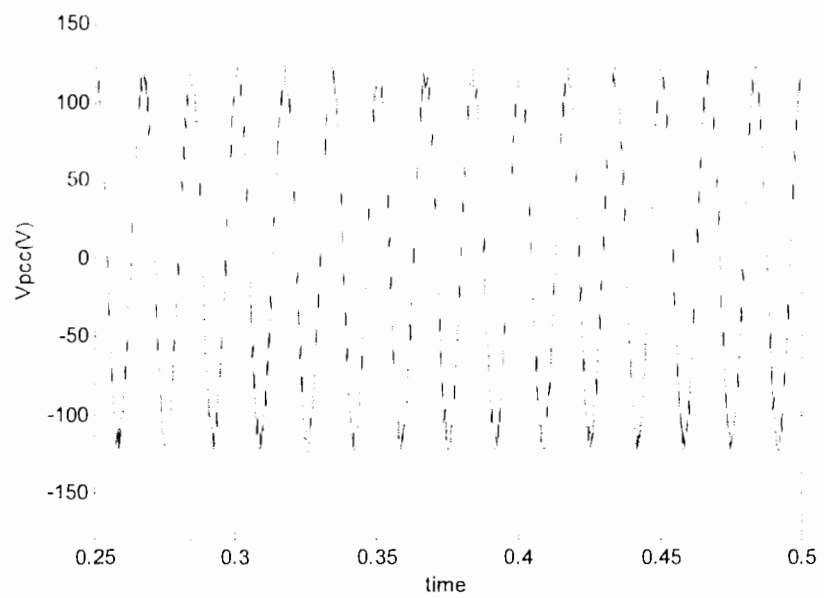


شکل ۵-۱۰ ولتاژ بس DC در حالت راه اندازی با کنترلر فازی

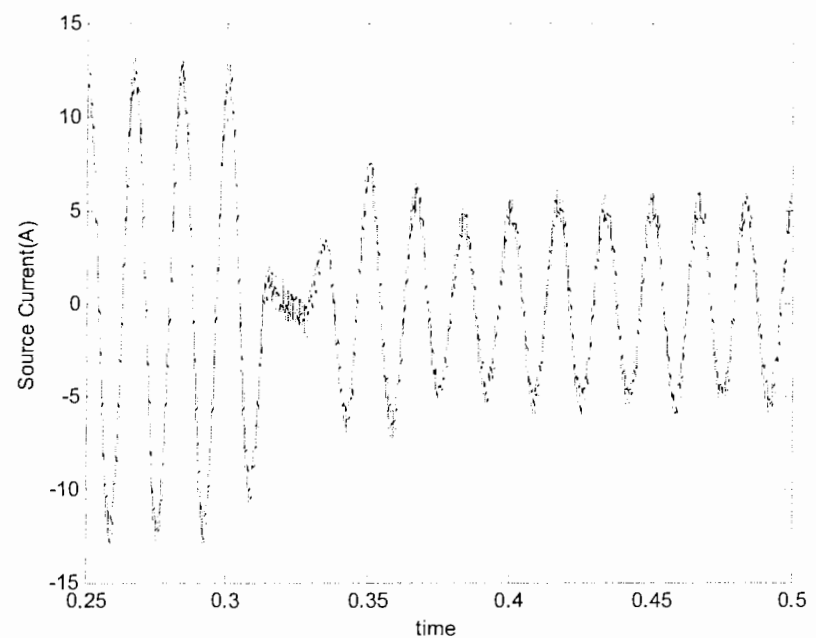
مطابق شکل ۵-۱۰، بالازدگی برابر 11.3% ، زمان صعود 25.3ms ، زمان نشست با معیار $12.34\angle 81.3^\circ$ و خطای حالت دائمی $1e-3$ می باشد. در حالت دائمی، مؤلفه اصلی جریان $119.1\angle 82.7^\circ$ و ضریب توان برابر با 0.9997 می باشد. همچنین داریم: $\text{THD}_{\text{V}_{\text{PCC}}} = 5.62\%$ و $\text{THD}_i = 5.63\%$.

۴-۵-۲) کاهش بار

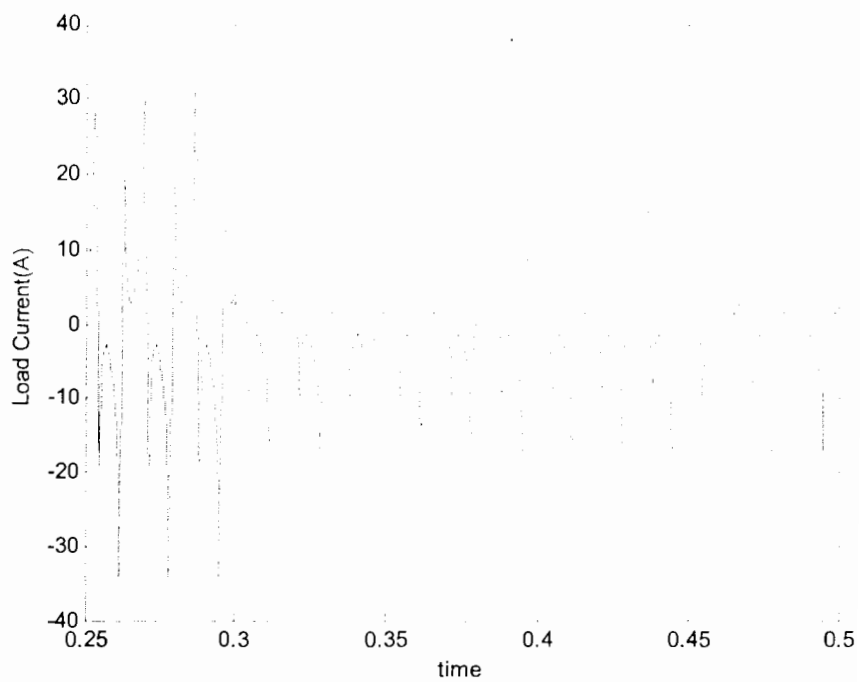
در این قسمت در زمان 0.3sec بار به میزان 50% کاهش یافته است. نتایج شبیه سازی در شکلهاي ۵-۱۶ تا ۵-۱۱ آمده است.



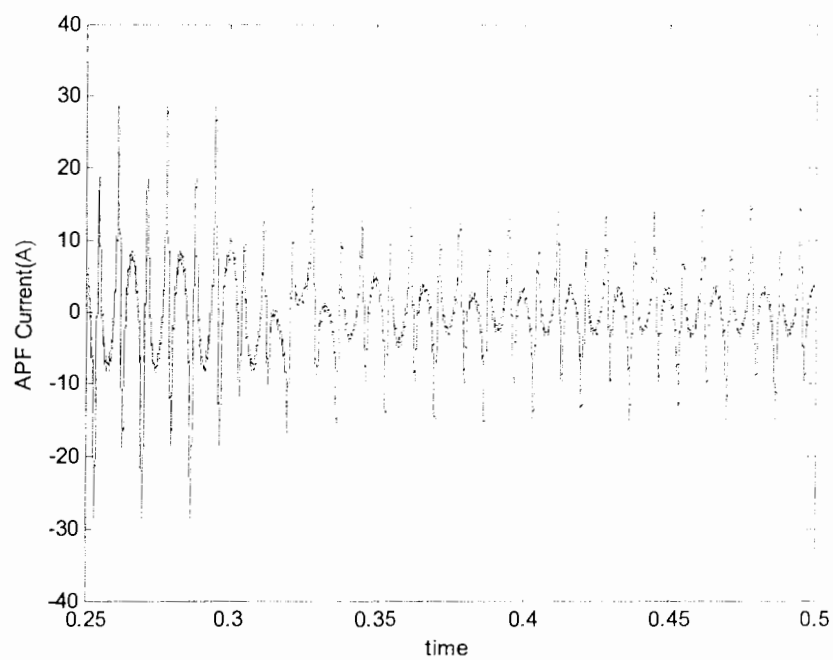
شکل ۱۱-۵ ولتاژ نقطه اتصال مشترک در شرایط کاهش بار با کنترلر فازی



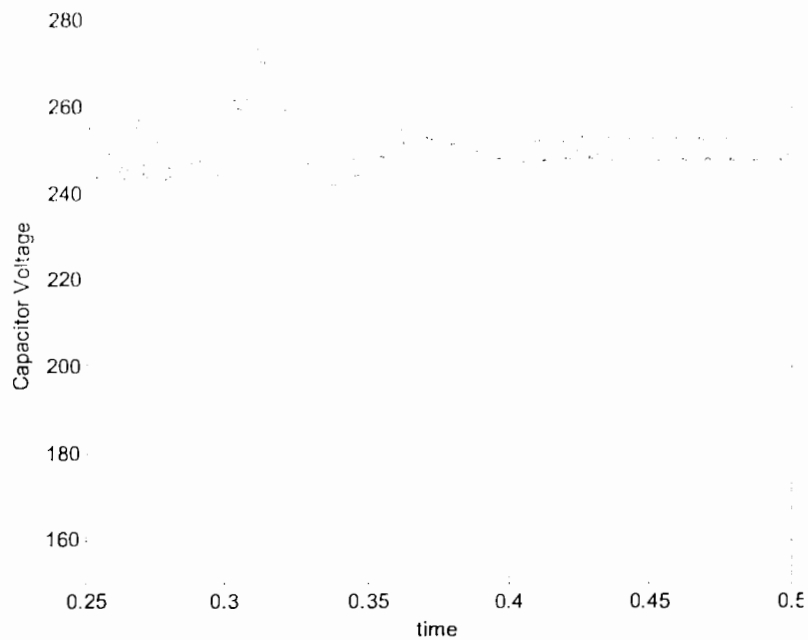
شکل ۱۲-۵ جریان منبع در شرایط کاهش بار با کنترلر فازی



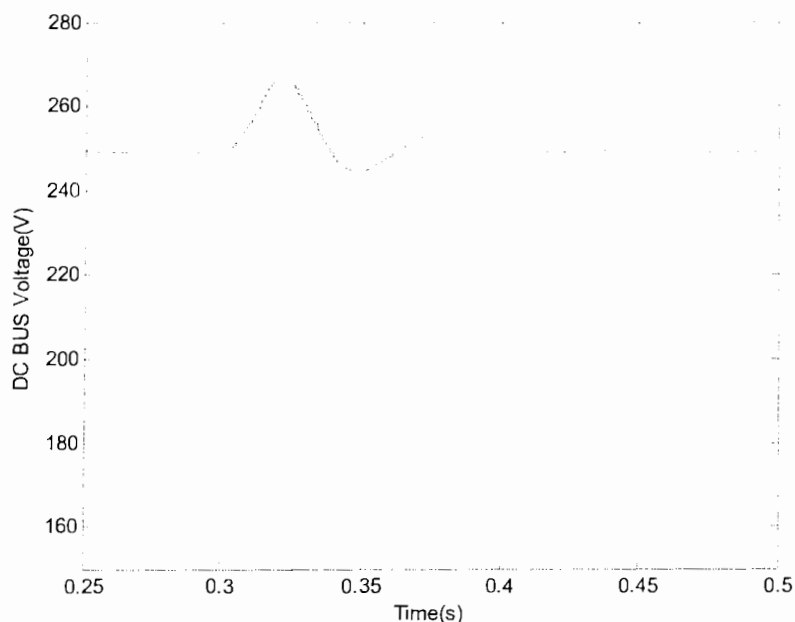
شکل ۱۳-۵ جریان بار در شرایط کاهش بار با کنترلر فازی



شکل ۱۴-۵ جریان فیلتر فعال در شرایط کاهش بار با کنترلر فازی



شکل ۱۵-۵ تغییرات ولتاژ خازن در شرایط کاهش بار با کنترل فازی



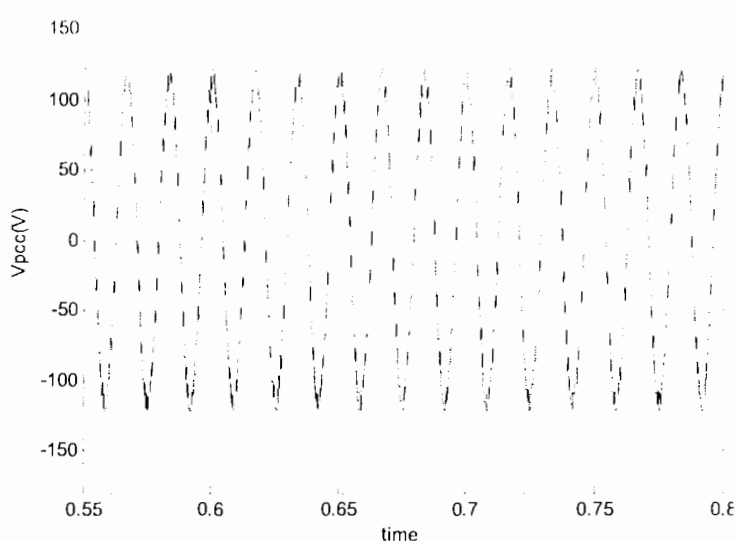
شکل ۱۶-۵ ولتاژ بس DC در شرایط کاهش بار با کنترل فازی

در شکل ۱۶-۵ ملاحظه می شود که با نصف شدن بار ولتاژ بس DC به میزان ۶.۷۶٪ نسبت به ولتاژ مرجع افزایش یافته است. همچنین خطای حالت دائمی در مقدار $1e-3$ ثابت مانده است.

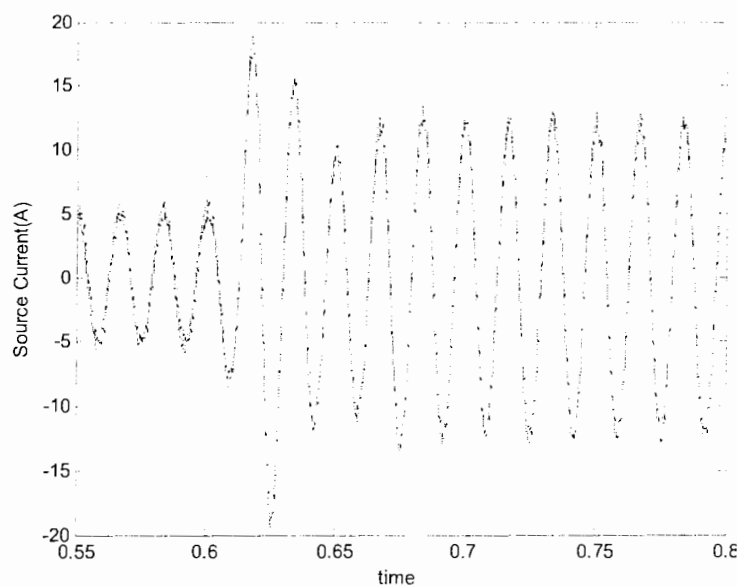
۳-۴-۵) افزایش بار

در این قسمت در زمان ۰.۶sec ۰.۵% افزایش یافته و به مقدار قبلی بازگشته است.

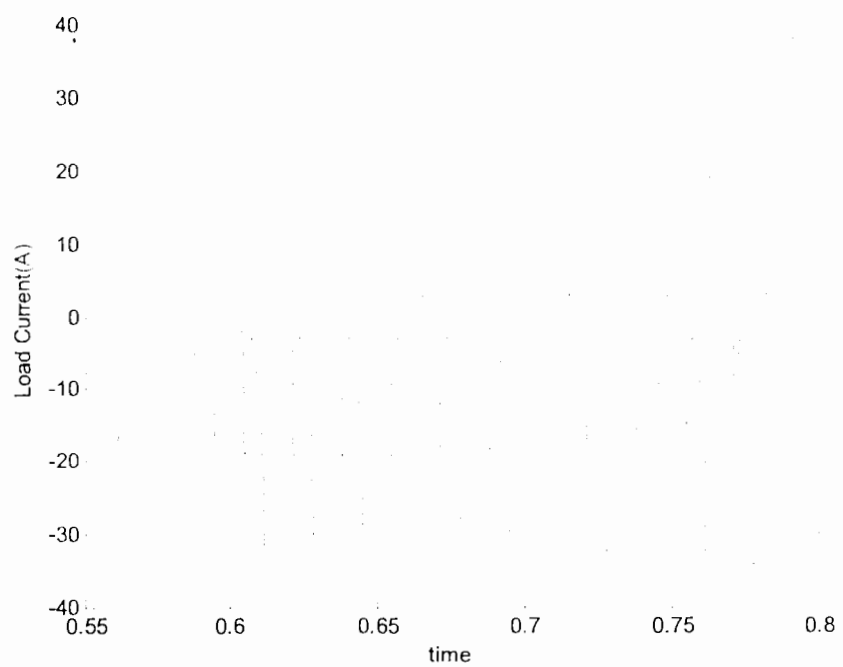
نتایج شبیه سازی در شکل‌های ۱۷-۵ تا ۲۲-۵ آمده است



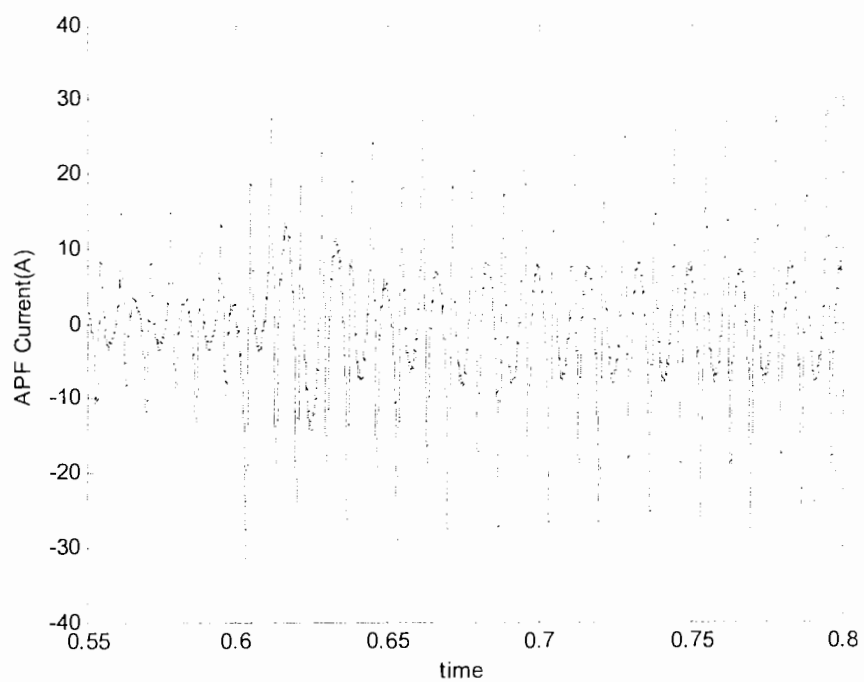
شکل ۱۷-۵ ولتاژ نقطه اتصال مشترک در شرایط افزایش بار با کنترلر فازی



شکل ۱۸-۵ جریان منبع در شرایط افزایش بار با کنترلر فازی



شکل ۱۹-۵ جریان بار در شرایط افزایش بار با کنترل فازی



شکل ۲۰-۵ جریان فیلتر در شرایط افزایش بار با کنترل فازی

280

260

240

220

200

180

160

0.55

0.6

0.65

0.7

0.75

0.8

time

شکل ۲۱-۵ تغییرات ولتاژ خازن در شرایط افزایش بار با کنترلر فازی

280

260

240

220

200

180

160

0.55

0.6

0.65

0.7

0.75

0.8

Time(s)

شکل ۲۲-۵ ولتاژ بس DC در شرایط افزایش بار با کنترلر فازی

در شکل ۲۲-۵ ملاحظه می شود که با نصف شدن بار ولتاژ بس DC به میزان ۸.۱۶٪ نسبت به ولتاژ

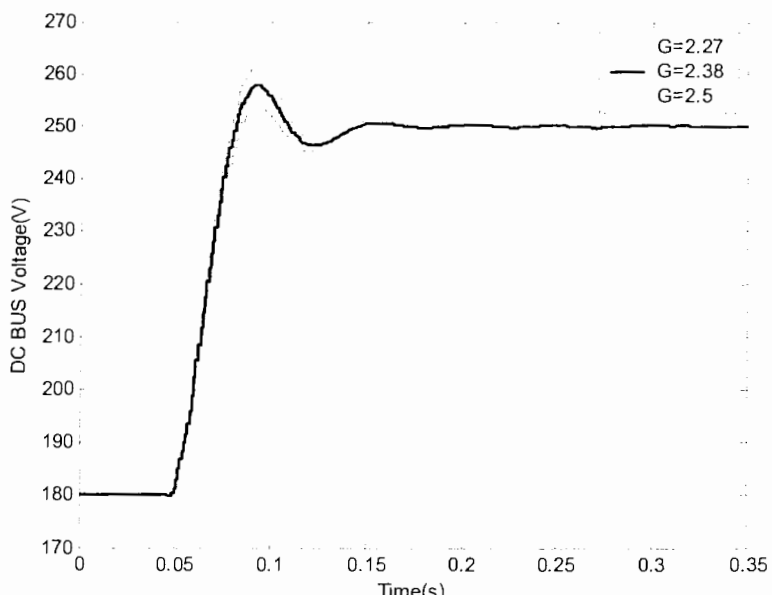
مرجع کاهش یافته است. خطای حالت دائمی نیز در مقدار قبلی ثابت مانده است.

۵-۵) مقایسه کنترل فازی و کنترل تناسبی

چنانکه از بخش‌های ۲-۵ و ۴-۵ بر می‌آید کنترلر فازی به طور کل در حالت دائمی بهتر از کنترلر تناسبی عمل می‌کند و خطای حالت دائمی آن کمتر است. همچنین این کنترلر حساسیت بسیار کمتری به بار در حالت دائمی دارد و با تغییر بار خطای حالت دائمی آن تغییری نمی‌کند. از طرفی با وجود اینکه در حالت گذرا این کنترلر اندکی کنترلر از کنترلر تناسبی عمل می‌کند اما میزان بالازدگی آن در حالت راهاندازی کمتر است.

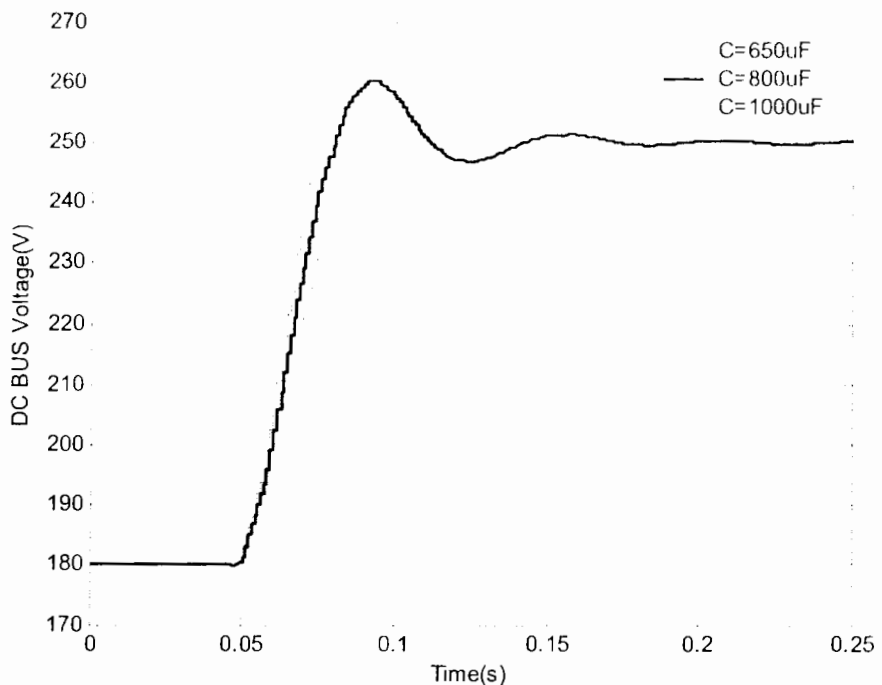
۶-۱) اثر تغییر بهره ورودی خطا و ظرفیت خازن در حالت گذرای سیستم با کنترلر فازی

چنانکه قبلاً گفته شد با تنظیم بهره خطا می‌توان پاسخ دینامیکی سیستم را به شکل مناسبی تنظیم نمود. در شکل ۲۳-۵ پاسخ ولتاژ باس DC برای حالت راه اندازی و برای سه ضریب ۲.27، 2.38 و 2.5 نشان داده شده است. ملاحظه می‌شود که تغییر این ضریب تاثیر چندانی در زمان نشست و سرعت سیستم ندارد و تنها بر میزان بالازدگی سیستم مؤثر است.



شکل ۲۳-۵ ولتاژ باس DC برای تغییرات بهره سیگنال خطا در ورودی کنترلر فازی

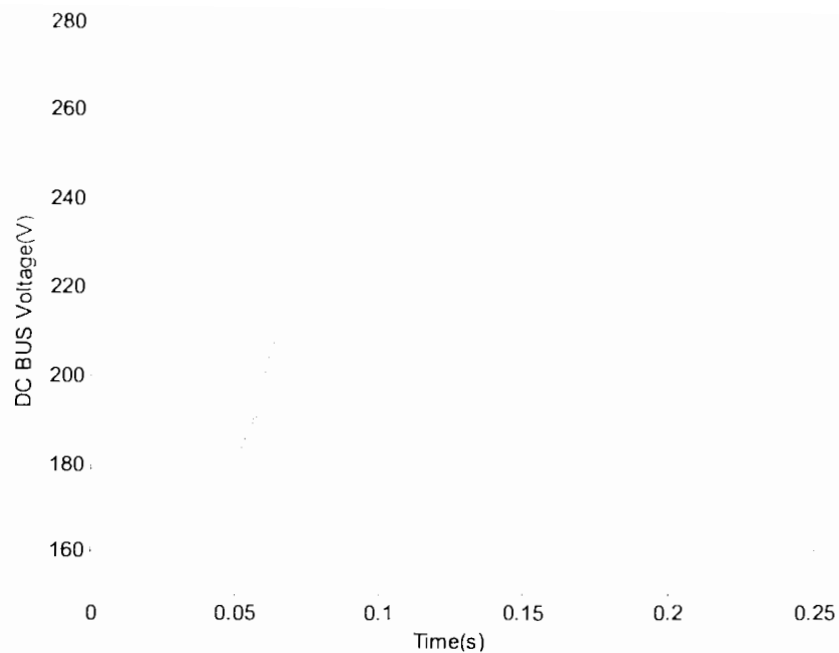
البته باید اشاره نمود که ظرفیت خازن نیز در پاسخ سیستم موتور است. شکل ۲۴-۵ برای بهره ۲.۳۸ پاسخ را با سه مقدار خازن ۶۵۰، ۸۰۰ و ۱۰۰۰ میکروفاراد مقایسه می کند.



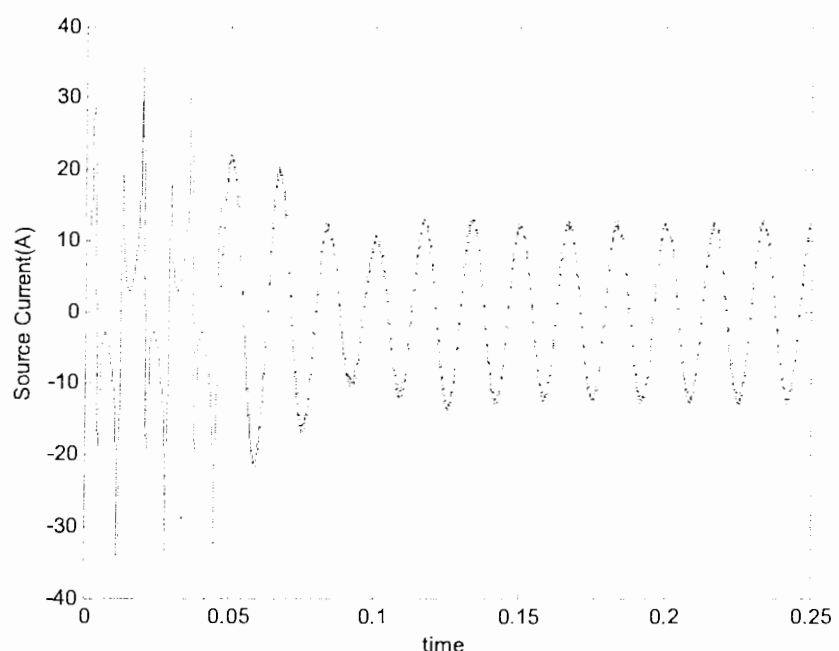
شکل ۲۴-۵ ولتاژ بس DC برای تغییرات ظرفیت خازن

۷-۵) استفاده از ANFIS

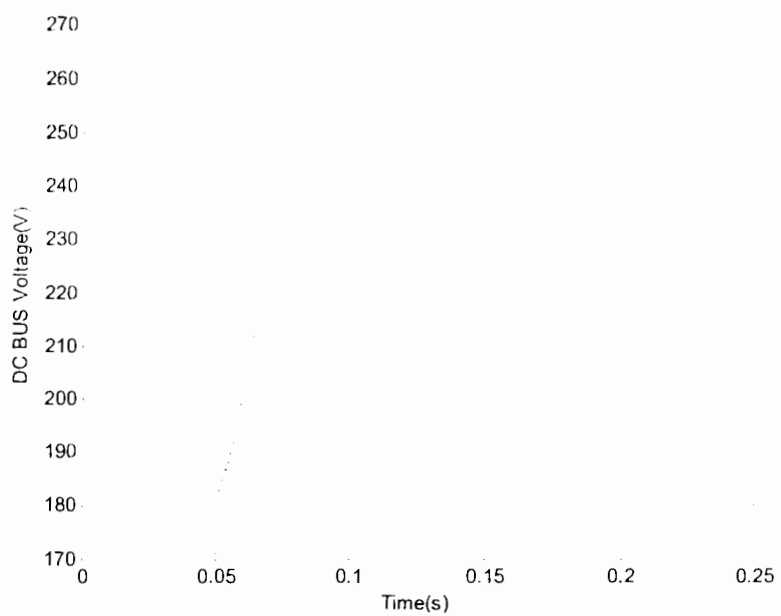
همانطور که در بخش ۲-۲-۴ بیان شد، برای محاسبه هارمونیک اصلی با استفاده از داده های بدست آمده از روش تبدیل فوریه بهبود یافته، یک شبکه فازی-عصبی تطبیقی با شش ورودی از نمونه های جریان بار با فرکانس نمونه برداری $1/3 \text{ kHz}$ برای تولید دامنه مؤلفه اصلی جریان به کار گرفته شد. شکل های ۲۵-۵ و ۲۶-۵ به ترتیب ولتاژ بس DC و جریان منبع را برای راه اندازی در بار کامل نشان می دهند. در حالت دائمی، مؤلفه اصلی جریان $12.3\angle 81.59^\circ$ ، مؤلفه اصلی ولتاژ $119.1\angle 82.69^\circ$ و ضریب توان برابر با ۰.۹۹۹۸ می باشد. همچنین داریم: $\text{THD}_{V_{pcc}}=5.61\%$ و $\text{THD}_i=5.19\%$. لازم به ذکر است که با استفاده از روش تبدیل فوریه بهبود یافته داشتیم: $I_1 = 12.34\angle 81.3^\circ$ ، $\text{THD}_{V_{pcc}}=5.62\%$ و $\text{THD}_i=5.63\%$ ، $\text{PF}=0.9997$ ، $V_{pcc,1} = 119.1\angle 82.7^\circ$



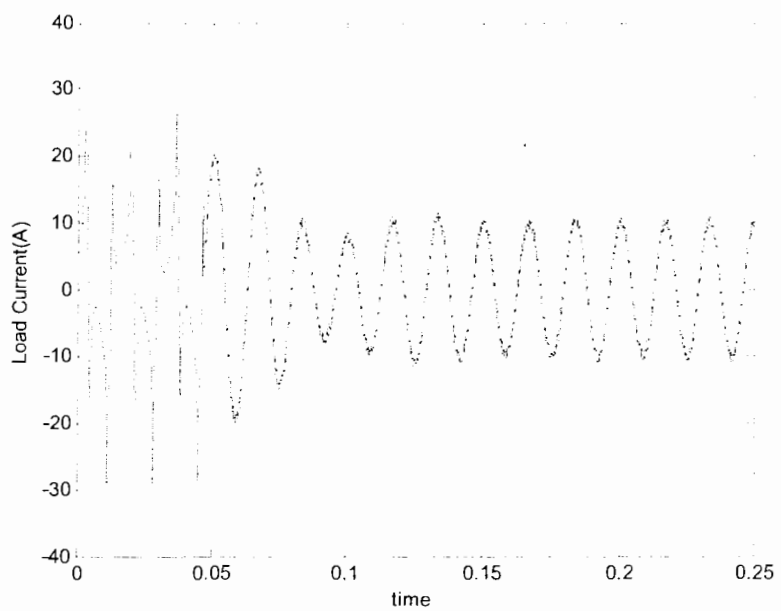
شکل ۲۵-۵ ولتاژ بس DC در حالت راه اندازی و با استفاده از ANFIS برای محاسبه مؤلفه اصلی جریان بار



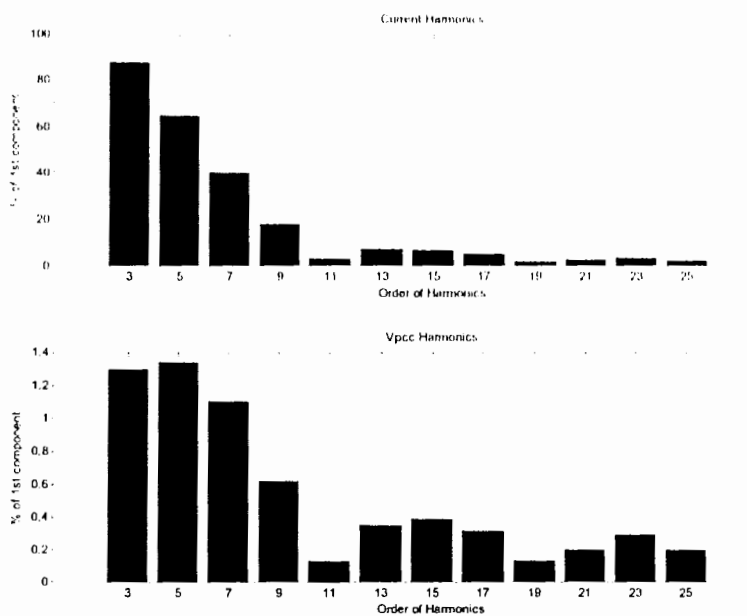
شکل ۲۶-۵ جریان منبع در حالت راه اندازی و با استفاده از ANFIS برای محاسبه مؤلفه اصلی جریان بار



شکل ۵-۲۷ ولتاژ بس DC در حالت راه اندازی و با استفاده از ANFIS برای محاسبه مؤلفه اصلی جریان بار برای ۱۷ کامپیوتر

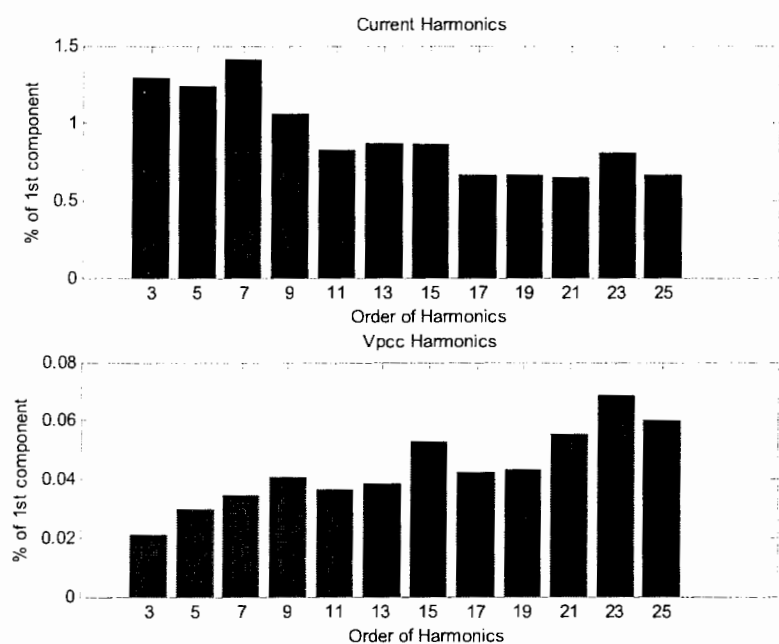


شکل ۵-۲۸ جریان منبع در حالت راه اندازی و با استفاده از ANFIS برای محاسبه مؤلفه اصلی جریان بار برای ۱۷ کامپیوتر



شکل ۲۹-۵ هارمونیکهای جریان منبع و ولتاژ نقطه اتصال مشترک بدون جبران سازی

شکل ۳۰-۵ همین هارمونیکها را برای جریان منبع در حالت فوق الذکر نشان می دهد.



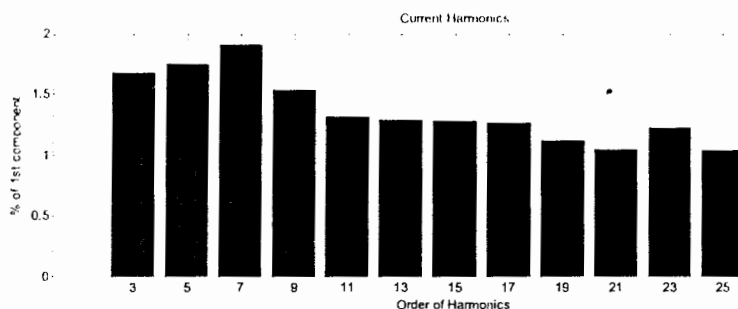
شکل ۳۰-۵ هارمونیکهای جریان منبع و ولتاژ نقطه اتصال مشترک در حالت نمونه

در این حالت $\text{THD}_{\text{V}_{\text{PCC}}} = 5.62\%$ و $\text{THD}_i = 5.63\%$ ملاحظه می‌شود که وضعیت هارمونیکی جریان و ولتاژ بخوبی بهبود یافته است.

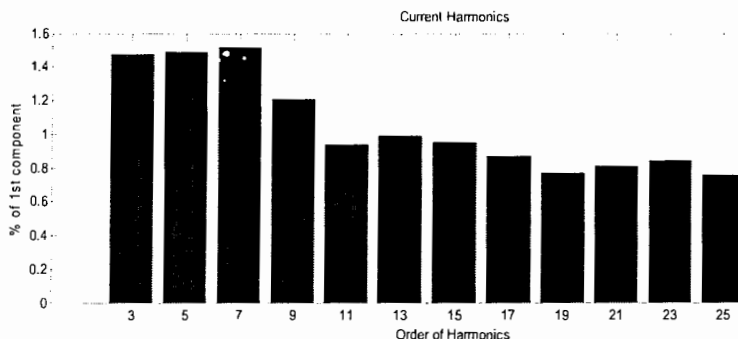
در ادامه تنها وضعیت هارمونیکهای جریان منبع را برای تغییر پارامترها نشان خواهیم داد.

۲-۸-۵) تغییر ولتاژ مرجع باس dc

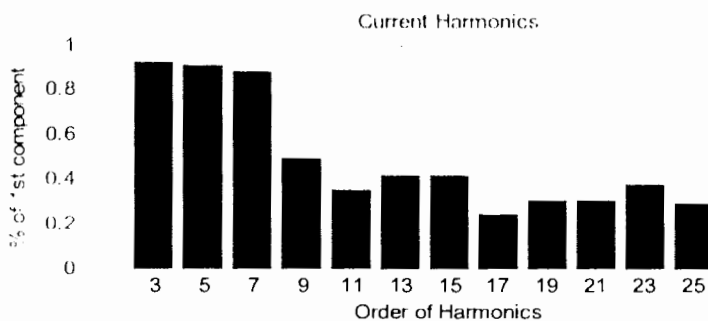
در این قسمت، هارمونیکها برای ولتاژهای مرجع ۲۲۰، ۲۳۵، ۲۶۵ و ۲۸۰ ولت در شکل‌های ۳۱-۵ تا ۳۴-۵ آمده است.



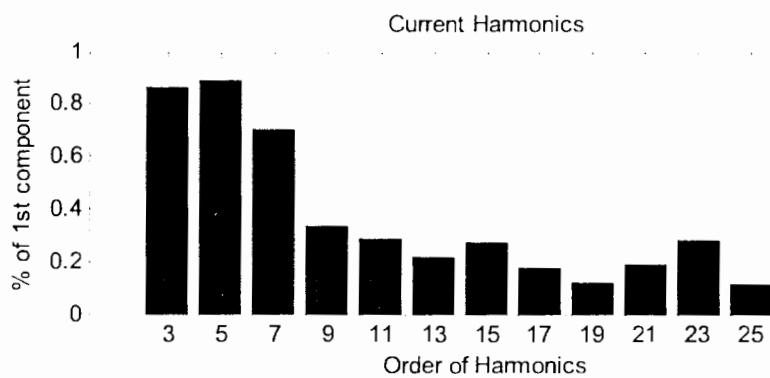
شکل ۳۱-۵ هارمونیکهای جریان برای $V_{\text{ref}}=220\text{v}$ - $\text{THD}_{\text{V}_{\text{PCC}}}=4.79\%$, $\text{THD}_i=6.73\%$



شکل ۳۲-۵ هارمونیکهای جریان برای $V_{\text{ref}}=235\text{v}$ - $\text{THD}_{\text{V}_{\text{PCC}}}=5.2\%$, $\text{THD}_i=5.81\%$



شکل ۳-۵ هارمونیکهای جریان برای $V_{ref}=265v$ و $THD_i=5.15\%$ – $THD_{V_{pcc}}=6.01\%$

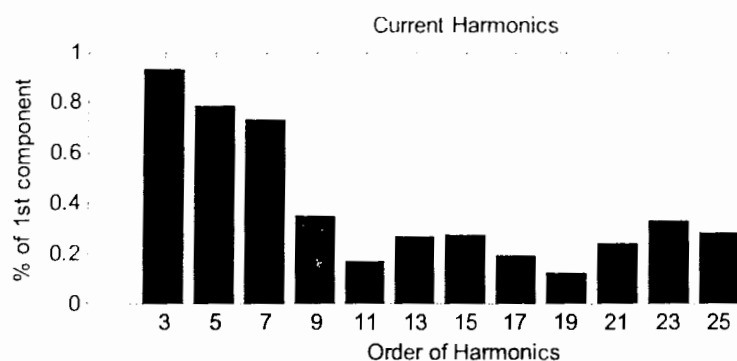


شکل ۳-۶ هارمونیکهای جریان برای $V_{ref}=280v$ و $THD_i=5.28\%$ – $THD_{V_{pcc}}=6.41\%$

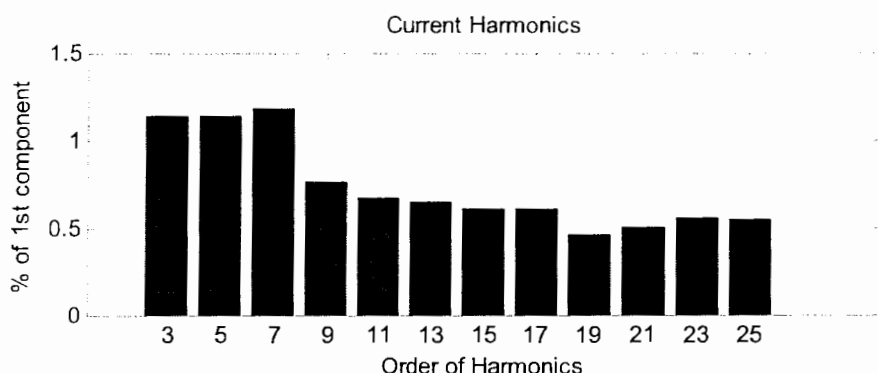
با در نظر گرفتن هارمونیکهای ۳ تا ۲۵ نشان داده شده در شکلها، ملاحظه می شود که با کاهش ولتاژ نسبت به ولتاژ حالت نمونه (۲۵۰ ولت) جبران این هارمونیکها کمتر شده و با افزایش ولتاژ، بهبود بیشتری در وضعیت هارمونیکها حاصل شده است. البته لازم به ذکر است که حداقل ولتاژ مرجع را می توان مطابق روابط بیان شده در بخش ۳-۴ برابر با ۲۱۵ ولت انتخاب نمود و حداکثر این ولتاژ نیز بستگی به مشخصه های قطعات و ملاحظات اقتصادی دارد. ضمن اینکه با افزایش ولتاژ، سرعت تغییر جریان سلف نیز افزایش می یابد و لازم است فرکانس سوئیچینگ برای محدود کردن این جریان افزایش یابد.

۳-۸-۵) تغییر ظرفیت خازن باس dc

در این بخش وضعیت هارمونیکهای جریان را برای دو مقدار $C=650\mu F$ و $C=1000\mu F$ به عنوان ظرفیت خازن باس DC بررسی می‌نماییم. سایر پارامترهای سیستم مطابق حالت نمونه در نظر گرفته شده در بخش ۱-۸-۵ می‌باشد. شکل‌های ۳۶-۵ و ۳۵-۵ نتایج تغییر ظرفیت خازن را نشان می‌دهند.



شکل ۳۵-۵ هارمونیکهای جریان برای $C=650\mu F$ و $THD_i=4.79\%$

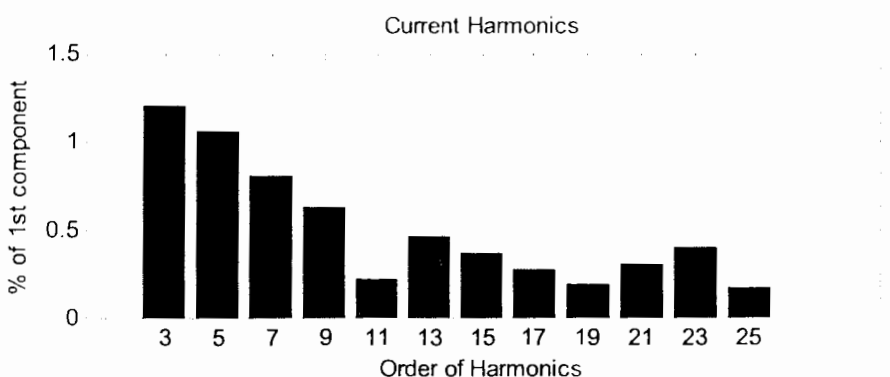


شکل ۳۶-۵ هارمونیکهای جریان برای $C=1000\mu F$ و $THD_i=5.35\%$

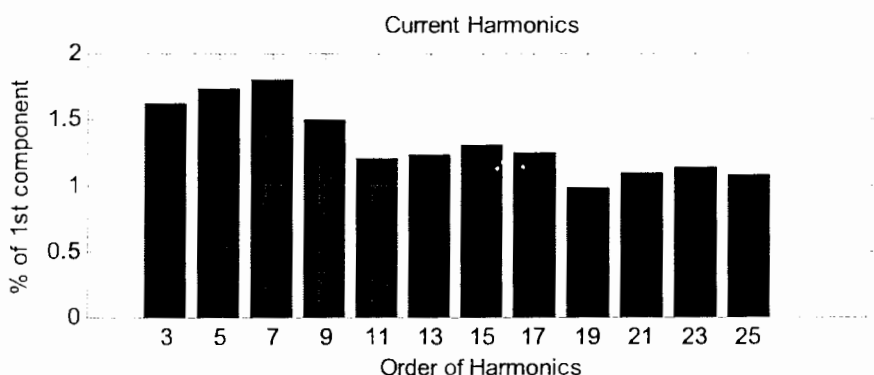
با در نظر گرفتن هارمونیکهای ۳ تا ۲۵ نشان داده شده در شکل‌ها، ملاحظه می‌شود که با تغییر ظرفیت خازن نسبت به حالت نمونه ($800\mu F$) بهبود بیشتری در وضعیت هارمونیکها حاصل شده است.

۴-۸-۵) تغییر اندوکتانس محدود کننده جریان

در این بخش وضعیت هارمونیکهای جریان را با دو مقدار $3mH$ و $5mH$ برای اندوکتانس فیلتر بررسی می‌نماییم. سایر پارامترهای سیستم مطابق حالت نمونه در نظر گرفته شده در بخش ۱-۸-۵ می‌باشند. شکلهای ۳۷-۵ و ۳۸-۵ نتایج تغییر اندوکتانس نشان می‌دهند.



شکل ۳۷-۵ هارمونیکهای جریان برای $THD_{V_{PCC}}=7.56\%$ ، $THD_i=6.28\%$ – $L=3mH$

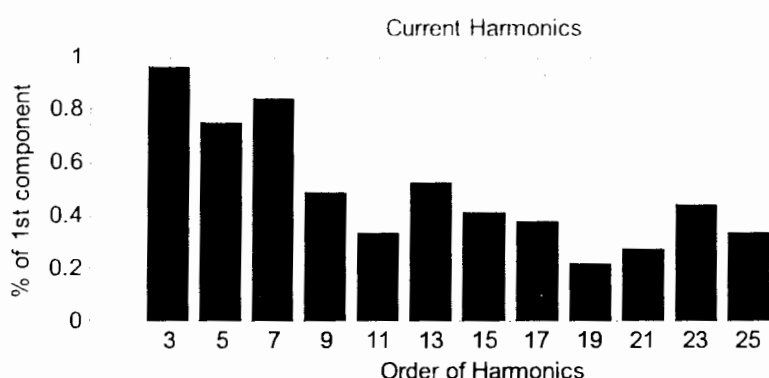


شکل ۳۸-۵ هارمونیکهای جریان برای $THD_{V_{PCC}}=4.40\%$ ، $THD_i=6.3\%$ – $L=5mH$

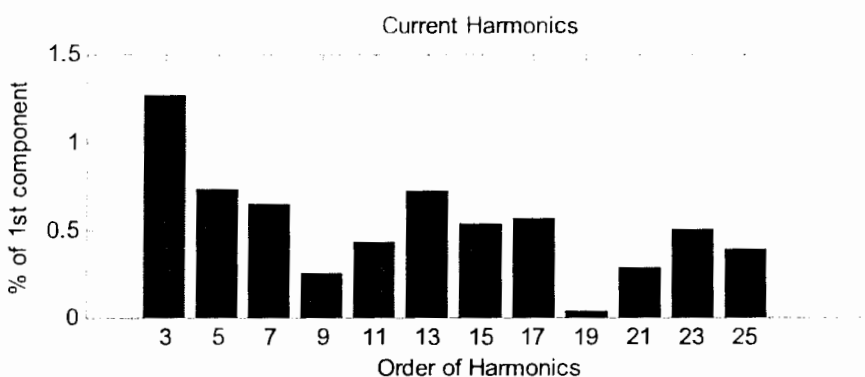
با در نظر گرفتن هارمونیکهای ۳ تا ۲۵ نشان داده شده در شکلهای، ملاحظه می‌شود که با افزایش اندوکتانس نسبت به حالت نمونه ($4mH$) جبران این هارمونیکها کمتر شده و با کاهش آن، بهبود بیشتری در وضعیت هارمونیکها حاصل شده است

۵-۸-۵) تغییر بار

در این بخش میزان هارمونیکها و اعوجاج هارمونیکی کل برای $\frac{3}{4}$ و $\frac{1}{2}$ بار کامل در شکلهای ۳۹-۵ و ۴۰-۵ نشان داده شده اند.



شكل ۳۹-۵ هارمونیکهای جریان برای $\frac{3}{4}$ بار- $\frac{1}{2}$ بار- $\frac{1}{4}$ بار

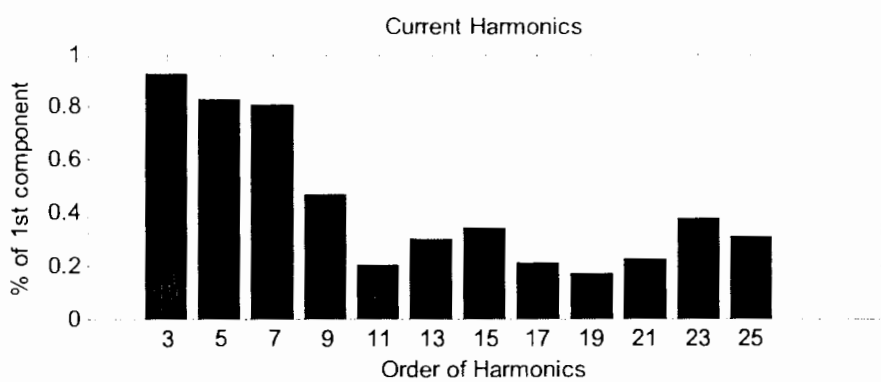


شكل ۴۰-۵ هارمونیکهای جریان برای $\frac{1}{2}$ بار- $\frac{1}{4}$ بار- $\frac{1}{4}$ بار

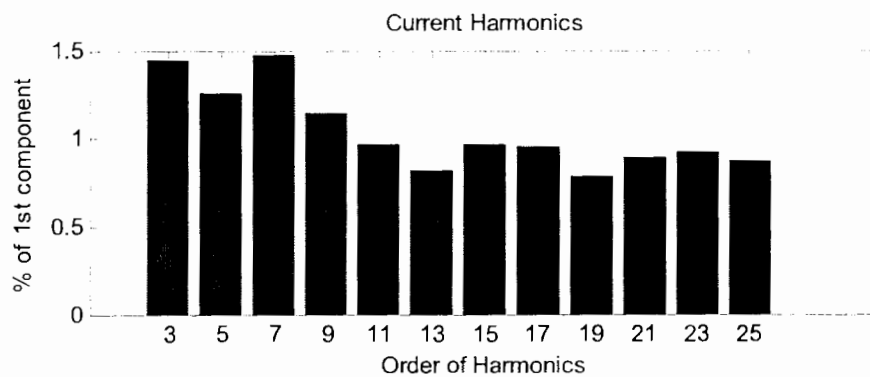
ملاحظه می شود که هارمونیکها در $\frac{3}{4}$ بار، نسبت به بار کامل و $\frac{1}{2}$ بار وضعیت بهتری دارند.

۶-۸-۵) تغییر فرکانس سوئیچینگ

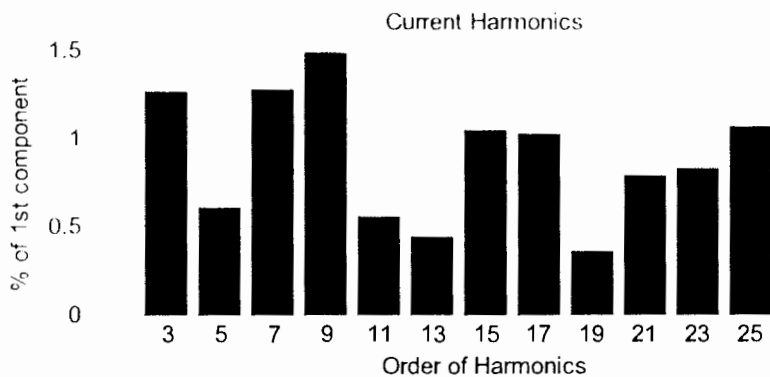
در روش مدولاسیون باند هیسترزیس فرکانس سوئیچینگ ثابت نیست. در این پروژه برای این فرکانس یک مقدار حداقل در نظر گرفته شده است. در حالت نمونه که در بخش ۵-۸-۱ به آن اشاره شد این فرکانس 30kHz در نظر گرفته شده است. در اینجا نتیجه شبیه سازی را برای فرکانس‌های ۱۰, ۱۵, ۲۰, ۲۵ kHz در شکل‌های ۴۱-۵ تا ۴۱-۵ می‌توان مشاهده نمود.



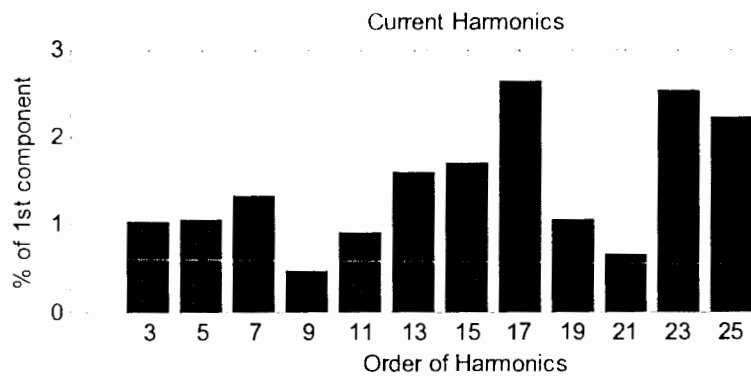
شکل ۴۱-۵ هارمونیکهای جریان برای $\text{THD}_{\text{V}_{\text{PCC}}} = 5.57\%$ و $\text{THD}_i = 4.83\%$ - $f_{\text{max}} = 25\text{kHz}$



شکل ۴۲-۵ هارمونیکهای جریان برای $\text{THD}_{\text{V}_{\text{PCC}}} = 5.65\%$ و $\text{THD}_i = 6.21\%$ - $f_{\text{max}} = 20\text{kHz}$



شکل ۴۳-۵ هارمونیکهای جریان برای $f_{max}=15\text{kHz}$ و $\text{THD}_i=7.24\%$ و $\text{THD}_{V_{PCC}}=5.73\%$



شکل ۴۴-۵ هارمونیکهای جریان برای $f_{max}=10\text{kHz}$ و $\text{THD}_i=10.78\%$ و $\text{THD}_{V_{PCC}}=5.82\%$

با توجه به شکلهای ۴۱-۵ تا ۴۴-۵ مشخص است که بهترین وضعیت هارمونیکها در فرکانس ماقزیم ۲۵kHz حاصل شده است. البته نتایج حاصل شده در سایر فرکانسها نیز قابل قبول است و با توجه به شرایط ساخت می تواند مورد مصالحه قرار گیرد.

۷-۸-۵) تغییر همزمان پارامترها

در این بخش پارامترها را به صورت زیر در نظر می کیریم:

$$L=4\text{mH}, C=650\mu\text{F}, V_{\text{ref}}=250\text{V}, f_{\text{max}}=25\text{kHz}$$

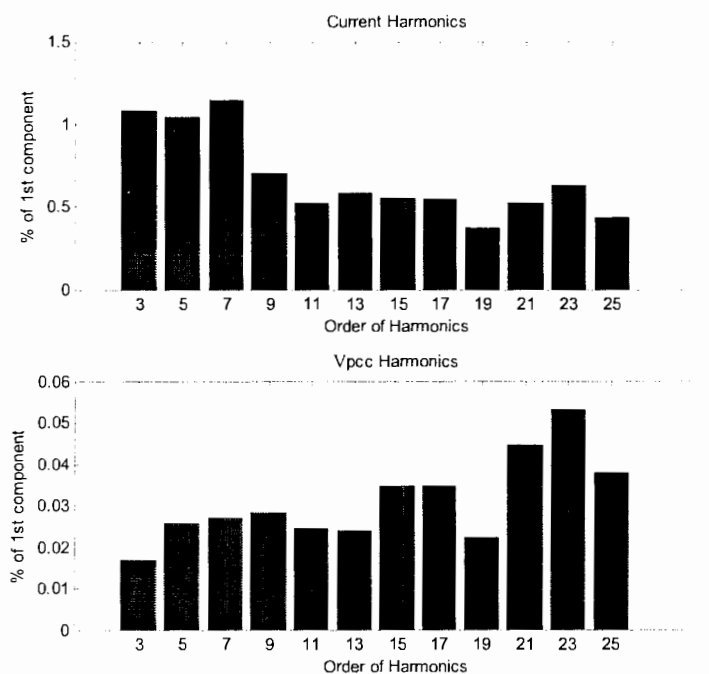
نتیجه برای طیف هارمونیکی ولتاژ و جریان در شکل ۴۵-۵ آمده است. چنانکه ملاحظه می شود بهبودی قابل ملاحظه‌ای در وضعیت هارمونیکها حاصل شده است. در این حالت داریم:

$$\text{THD}_{V_{\text{PCC}}} = 5.58\%$$

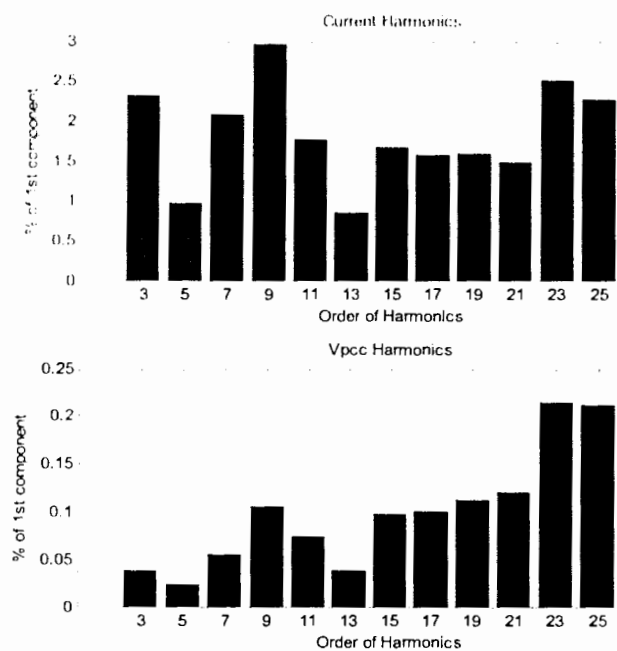
حالت دیگری با پارامترهای در شکل ۴۵-۵ نشان داده شده است.

$$L=5\text{mH}, C=800\mu\text{F}, V_{\text{ref}}=250\text{V}, f_{\text{max}}=10\text{kHz}$$

در این حالت داریم: $\text{THD}_{V_{\text{PCC}}} = 4.55\%$ و $\text{THD}_i = 10.22\%$. چنان که انتظار می‌رود وضعیت هارمونیکها نسبت به حالت نمونه چندان مناسب نیست.



شکل ۴۵-۵ هارمونیکهای جریان منبع



شکل ۴۶-۵ هارمونیکهای جریان منبع و ولتاژ نقطه اتصال مشترک

۸-۸-۵) جمع بندی

در این بخش نتایج شبیه سازیهای بخش‌های ۱-۸-۵ تا ۱-۸-۵ به صورت خلاصه در جدول ۱-۵ ارائه می‌شود. لازم به ذکر است که در همه حالات یاد شده، ضریب توان بین مقادیر ۰.۹۹۹۵ تا ۰.۹۹۹۸ قرار داشته است.

جدول ۱- خلاصه نتایج تغییر پارامترها

THD _{V_{pcc}}	THD _i	پارامتر					Load (% of full)
		V _{ref}	C(uF)	L(mH)	f(kHz)		
5.62	5.63	250	800	4	30	100	
4.79	6.73	220	800	4	30	100	
5.2	5.81	235	800	4	30	100	
6.01	5.15	265	800	4	30	100	
6.41	5.28	280	800	4	30	100	
5.60	4.79	250	650	4	30	100	
5.60	5.35	250	1000	4	30	100	
7.56	6.28	250	800	3	30	100	
4.4	6.3	250	800	5	30	100	
5.71	6.75	250	800	4	30	75	
5.81	5.81	250	800	4	30	50	
5.57	4.83	250	800	4	25	100	
5.65	6.21	250	800	4	20	100	
5.73	7.24	250	800	4	15	100	
5.82	10.78	250	800	4	10	100	
5.58	5.13	250	650	4	25	100	
4.55	10.22	250	800	5	10	100	

از این نتایج به دلیل وجود هارمونیکهای سوئیچینگ نمی‌توان برداشت چندان مناسبی داشت. چنانکه با در نظر گرفتن یک فیلتر غیر فعال مناسب در خروجی فیلتر فعال، قسمت اعظم هارمونیکهای سوئیچینگ حذف شوند؛ می‌توان اعوجاج هارمونیکی کل جریان و ولتاژ نقطه اتصال را برای

هارمونیکهای ۳ تا ۲۵ نشان داده در نمودارهای میله‌ای محاسبه نمود. به این ترتیب نتایج جدول ۱-۵ به صورت جدول ۲-۵ قابل بیان خواهند بود. در این حالت تأثیر تغییر هر یک از پارامترها بخوبی نمایان می‌شود.

جدول ۲-۵ خلاصه نتایج تغییر پارامترها بدون در نظر درفتن هارمونیکهای سونیجینک

THD _{V_{pcc}} (%)	THD _i (%)	پارامتر					Load (%of full)
		V	C(uF)	L(mH)	f(kHz)		
0.158	3.318	250	800	4	30	100	
0.249	4.87	220	800	4	30	100	
0.179	3.77	235	800	4	30	100	
0.084	1.918	265	800	4	30	100	
0.053	1.59	280	800	4	30	100	
0.06	1.617	250	650	4	30	100	
0.121	2.7	250	1000	4	30	100	
0.072	2.1	250	800	3	30	100	
0.238	4.68	250	800	5	30	100	
0.056	1.89	250	800	4	30	75	
0.052	2.105	250	800	4	30	50	
0.066	1.737	250	800	4	25	100	
0.191	3.688	250	800	4	20	100	
0.1831	3.323	250	800	4	15	100	
0.3803	5.49	250	800	4	10	100	
0.113	2.51	250	650	4	25	100	
0.403	6.71	250	800	5	10	100	

نتیجه گیری

استفاده از کامپیوترها معمولاً در انتهای خطوط توزیع و در ولتاژ پایین صورت می‌گیرد این ناشر منفی در شبکه‌های توزیع نمود بیشتری پیدا می‌کند. در این پایان نامه با در نظر گرفتن یک مدل جریانی برای کامپیوتر شخصی، یک فیلتر فعال تکفاز برای یک مرکز کامپیوتر طراحی شد.

مدلسازی این مرکز و فیلتر فعال در نرم افزار MATLAB و حل معادلات آن به روش اویلر انجام گرفت. در این راستا برای محاسبه مؤلفه اصلی جریان از روش تبدیل فوریه بهبود یافته با پنجره لغزان استفاده شد. میزان محاسبات و پیچیدگی این روش نسبت به سایر روشها به مرتب کمتر است و با استفاده از پردازنده‌های کم سرعت قابل پیاده سازی است. همچنین به عنوان یک روش دیگر، یک شبکه فازی-عصبی تطبیقی پیشنهاد شد و نشان داده شد که نتایج حاصل از هر دو روش به میزان زیادی به هم نزدیک می‌باشد. این روش از تعداد نمونه‌های کمتری نسبت به روش اول بهره می‌برد اما دقت مناسبی ایجاد می‌کند.

در بخش دیگر یک کنترلر فازی برای کنترل ولتاژ بس DC طراحی و با یک کنترلر خطی مقایسه شد. کنترلر فازی در حالت دائمی پاسخی بهتر از خود نشان می‌دهد و به تغییرات پارامترهای سیستم از جمله بار حساسیت کمتری دارد.

نتایج به دست آمده به خوبی تاثیر فیلتر فعال و نیز تغییر پارامترهای سیستم را در اعوجاج هارمونیکی کل جریان و ولتاژ نشان می‌دهند.

پیشنهادها

در ادامه به نکاتی در راستای انجام اینگونه پروژه‌ها اشاره می‌گردد.

- ۱- یکی از مداراتی که برای فیلترهای فعال تکفار پیشنهاد شده است مدار رگولاتور ولتاژ می‌باشد که در فصل دوم معرفی شده است. این مدار نسبت به مدارهای اینورتری مزیتهای زیادی دارد. هر چند در انجام این پایان نامه با توجه به نوظهور بودن مدار رگولاتور ولتاژ، کارهای کم‌انجام شده ببروی آن، معمول بودن اینورتر در چنین کاربردی و مهمتر از همه توان پایین بار، از این ساختار استفاده نشد اما جای کار بیشتری بر روی آن وجود دارد.
- ۲- از جمله دیگر کارهایی که می‌توان در راستای این پروژه انجام داد می‌شود به طراحی فیلتر سه فاز و طراحی فیلتر فعال سری برای بهبود هارمونیکهای ولتاژ با توجه به حساس بودن منابع سوئیچینگ به شکل موج ولتاژ و بخصوص اعوجاج بیشتر ولتاژ در انتهای خطوط توزیع، اشاره کرد.
- ۳- مدل استفاده شده برای کامپیوتر در این پایان نامه از یکی از مقالات IEEE انتخاب شد. این مدل از اندازه گیریهای انجام شده در کشور کانادا بدست آمده است. به نظر می‌رسد با توجه به عدم چنین اطلاعاتی در ایران، انجام چنین کاری به عنوان یک پروژه مطالعاتی- عملی مفید باشد.

مراجع

- [١] Liang Jiao; Koval, D.; Salmon, J.; Xu, W.; "Modelling the power quality characteristics of computer loads" IEEE Canadian Conference on Electrical and Computer Engineering, Volume 3, 9-12 May 1999 Page(s):1283 - 1288 vol.3
- [٢] Rudnick, H.; Dixon, J.; Moran, L.; "Delivering clean and pure power" IEEE Power and Energy Magazine, Volume 1, Issue 5, Sep-Oct 2003 Page(s):32 – 40
- [٣] H. Sasaki, T. Machida.; "A new Method to Eliminate AC Harmonic Currents by Magnetic Flux Compensation" IEEE Trans. on Power Apparatus and Systems, Vol. PAS-90, PP. 2009- 2019, 1971.
- [٤] H. S. Patel and R. G. Hoft, "Generalized harmonic elimination and voltage control in thyristor inverters: part I—harmonic elimination," IEEE Trans. Ind. Applicat., vol. 9, pp. 310–317, May/June 1973.
- [٥] H. S. Patel and R. G. Hoft "Generalized harmonic elimination and voltage control in thyristor inverters: part II—voltage control technique," IEEE Trans. Ind. Applicat., vol. 10, pp. 666–673, Sept./Oct. 1974.
- [٦] A. Ametani, "Harmonic Reduction in Thyristor Converters by Harmonic Current Injection," IEEE Trans. on Power Apparatus and Systems, vol. PAS-95, no. 2, March/April 1976, pp. 441-449.
- [٧] H. Akagi, Y. Kanazawa, and A. Nabae, "Instantaneous reactive power compensators comprising switching devices without energy storage components," IEEE Trans. Ind. Applicat., vol. IA-20, no. 3, pp. 625–630, May/Jun. 1984
- [٨] Peng, F.-Z.; Akagi, H.; Nabae, A.; "A study of active power filters using quad-series voltage-source PWM converters for harmonic compensation" IEEE Transactions on Power Electronics, Volume 5, Issue 1, Jan. 1990 Page(s):9 - 15
- [٩] Peng, F.Z.; Akagi, H.; Nabae, A.; "Compensation characteristics of the combined system of shunt passive and series active filters" , IEEE Transactions on Industry Applications Volume 29, Issue 1, Jan.-Feb. 1993 Page(s):144 - 152
- [١٠] Fujita, H.; Akagi, H.; "A practical approach to harmonic compensation in power systems-series connection of passive and active filters" Conference Record of the 1990

- IEEE Industry Applications Society Annual Meeting, , 7-12 Oct. 1990 Page(s):1107 - 1112 vol.2
- [11] Tanaka, T.; Akagi, H.; "A new combined system of series active and shunt passive filters aiming at harmonic compensation for large capacity thyristor converters" 1991 Proceedings International Conference on Industrial Electronics, Control and Instrumentation, 1991. IECON '91., 28 Oct.-1 Nov. 1991 Page(s):723 - 728 vol.1
- [12] Akagi, H.; "New trends in active filters for power conditioning" IEEE Transactions on Industry Applications, Volume 32, Issue 6, Nov.-Dec. 1996 Page(s):1312 – 1322
- [13] MEHTA, P., DARWISH, M.K.. and THOMSON, T.: "Active harmonic filters: an overview and comparison". Proceedings of Universities Power Engineering conference, UPEC-89, UK, September 1989
- [14] BIRD, B.M., MARCH, J.F., and McLELLAN, P.R.: "Harmonic reduction in multiplex converter by triple frequency current injection", IEE Proc. Electr. Power Appl., 1969, 116, (10), pp. 1730-1734
- [15] AKAGI, H.: "New trends in active Filters". Proceedings of European Power Electronics conference, EPE-95, Sevilla, Spain, September 1995,pp. 17-26
- [16] GRADY, W.M.. SAMOTYJ, M.J.. and NOYOLA, A.H.: "Survey of active power line conditioning methodologies", IEEE Trans.,1990, PWRD-5, (3), pp. 1536-1542
- [17] El-Habrouk, M.; Darwish, M.K.; "Design and implementation of a modified Fourier analysis harmonic current computation technique for power active filters using DSPs" IEE Proceedings-Electric Power Applications, Volume 148, Issue 1, Jan. 2001 Page(s):21 – 28
- [18] El-Habrouk, M.; Darwish, M.K.; Mehta, P.; "Analysis and design of a novel active power filter configuration" IEE Proceedings- Electric Power Applications, Volume 147, Issue 4, July 2000 Page(s):320 - 328
- [19] El-Habrouk, M.; Darwish, M.K.; Mehta, P.; "Active power filters: a review" IEE Proceedings-Electric Power Applications, Volume 147, Issue 5, Sept. 2000 Page(s):403 – 413
- [20] Dixon, J.; Tepper, S.; Moran, L.; "Practical evaluation of different modulation techniques for current-controlled voltage source inverters" IEE Proceedings-Electric Power Applications, Volume 143, Issue 4, July 1996 Page(s):301 - 306
- [21] MORAN, L.A., DIXON, J.W., and WALLACE, R.R.: "A three phase active power filter operating with fixed switching frequency for reactive power and current harmonic compensation", IEEE Trans. Ind. Electron., 1995, 42. (4), pp. 402-408
- [22] KIM, S., PARK, J., KIM, J., CHOE, G., and PARK, M.: "An improved PWM current control method for harmonic elimination using active power filter". IEEE Industrial Application Society Annual Meeting, IEEE-IAS, 1987, pp. 927-931

- [۱۳]CHOE; G., and PARK, M.: 'Analysis and control of active power filter with optimized injection', IEEE Trans. Power Electron., 1989, 4,(4), pp. 427-433
- [۱۴] ENSLIN, J., and VAN WYK, J.D.: 'A new control philosophy for power electronic converters as fictitious power compensators', IEEE Trans. Power Electron., 1990, 5, (1), pp. 88-97
- [۱۵]VAN HARMELEN, G.L., and ENSLIN, J.: 'Real time dynamic control of dynamic power filters in supplies with high contamination', IEEE Trans. Power Electron., 1993, 8, (3), pp. 301-308
- [۱۶]LI, X., and MA, H.: 'A hybrid estimation model of artificial neural network and weighted least square for harmonic sources identification'. Proceedings of 7th international conference on Harmonics and quality of power, Las Vegas, USA, 1996, Vol.7, pp. 286-292
- [۱۷]LIU, S.: 'An adaptive Kalman filter for dynamic estimation of harmonic signals'. Proceedings of 8th international conference on Harmonics and quality of power, Athens, Greece, 1998, pp. 6 3 M 0
- [۱۸]VALIVIITA, S., and OVASKA, S.: 'Delayless method to generate current reference for active filters'. IEEE Trans. Ind. Electron.. 1998, 45, (4), pp. 859-567
- [۱۹]Mark Mc Granaghan.; "Active filter design and specification for control of harmonics in industrial and commercial facilities" Electrotek Concepts, Inc Knoxville TN,USA
- [۲۰] Chongming Qiao; Smedley, K.M.; Maddaleno, F.; "A comprehensive analysis and design of a single phase active power filter with unified constant-frequency integration control" PESC. 2001 IEEE 32nd Annual Power Electronics Specialists Conference, 2001. Volume 3, 17-21 June 2001 Page(s):1619 - 1625 vol. 3
- [۲۱]Thierry Thomas.; Kevork Haddad.; "Design and performance of active power filters" IEEE Industry Application Magazine, Sep/Oct 1998, page(s):38-46
- [۲۲] Jain, S.K.; Agrawal, P.; Gupta, H.O.; "Fuzzy logic controlled shunt active power filter for power quality improvement" IEE Proceedings- Electric Power Applications, Volume 149, Issue 5, Sept. 2002 Page(s):317 -328

برنامه کامپیوتری

```

clc
clear all

deltaT=5e-6;
V2(1)=0;
I1(1)=0;

Tau=1/1000
t=0:deltaT:.9;
[a,b]=size(t)
V2(b)=0;
Vf(b)=0;
I1(b)=0;
I2(b)=0;
If(b)=0;

%*****FOURIER PARAMETERS*****
j=1;
i=1;
Nflag=0;
Tperiod=1/f;
Npoints=floor(Tperiod/Tau)
A1(Npoints)=0;
B1(Npoints)=0;
Aco=0;
Bco=0;
coef=0;

```

```

%*****SWITCHING PARAMETERS*****
jsw1=0;
jsw2=0;
swflag=0;
sampflag=1;

f=60; %Line Frequency

%*****CIRCUIT PARAMETERS*****
Rs=0.0997;
Ls=0.0356/(2*pi*f);

RL=188.89;
LL=67.04/(2*pi*f);

%*****FILTER PARAMETRES*****
Rf=1;
Lf=.004;
Vref=250;
C=1000e-6;
Vc0=180;
Vc=Vc0*ones(1,b);
Vf=-Vc0*ones(1,b);

%*****SOURCE VOLTAGE*****
Vs=120.31*sin(2*pi*f*t+83*pi/180);

%*****ZERO CROSSING*****
for i=5736:b-1,
if (abs(Vs(i)/100)<1 && Vs(i)>0)
    zerotime=i;
    time=i-Tau/deltaT;
    break;
end
end

%*****LOAD CURRENT*****
IL=100*sin(2*pi*f*t+64*pi/180)+87.9*sin(2*pi*3*f*t+282*pi/180)+65*sin(2*pi*5*f*t+112*pi/180)+40.7*sin(2*pi*7*f*t+305*pi/180)...
+18.3*sin(2*pi*9*f*t+140*pi/180)+3.3*sin(2*pi*11*f*t+29*pi/180)+7.3*sin(2*pi*13*f*t+311*pi/180)+7*sin(2*pi*15*f*t+153*pi/180)...
+5.1*sin(2*pi*17*f*t+356*pi/180)+1.9*sin(2*pi*19*f*t+251*pi/180)+2.7*sin(2*pi*21*f*t+152*pi/180)+3.5*sin(2*pi*23*f*t+357*pi/180)...
+2.2*sin(2*pi*25*f*t+214*pi/180);

```

```

pIL= 100*2*pi*f*cos(2*pi*f*t+64*pi/180)+87.9*2*pi*3*f*cos(2*pi*3*f*t+282*pi/180)
+65*2*pi*5*f*cos(2*pi*5*f*t+112*pi/180)...
+40.7*2*pi*7*f*cos(2*pi*7*f*t+305*pi/180)+18.3*2*pi*9*f*cos(2*pi*9*f*t+140*pi/180)
+3.3*2*pi*11*f*cos(2*pi*11*f*t+29*pi/180)...
+7.3*2*pi*13*f*cos(2*pi*13*f*t+311*pi/180)+7*2*pi*15*f*cos(2*pi*15*f*t+153*pi/180)
+5.1*2*pi*17*f*cos(2*pi*17*f*t+356*pi/180)...
+1.9*2*pi*19*f*cos(2*pi*19*f*t+251*pi/180)+2.7*2*pi*21*f*cos(2*pi*21*f*t+152*pi/180)
+3.5*2*pi*23*f*cos(2*pi*23*f*t+357*pi/180)...
+2.2*2*pi*25*f*cos(2*pi*25*f*t+214*pi/180);

IL=0.6*17*IL/100;
pIL=0.6*17*pIL/100;

%*****OTHER PARAMETERS*****
Vdc=Vc0*ones(1,Npoints);
Vdcco=Vc0*Npoints;
Imax=10;
Inorm=.2;
Icap=0;
fismat = readfis('DCfuzzy2');

%*****LOAD CHANGE*****
jj=60000:120000;
IL(jj)=IL(jj)*1/2;
pIL(jj)=pIL(jj)*1/2;

%*****APF PROGRAM*****
for j=1:b
    waitbar(j/b)

    if sampflag==1
        if (j-time)*deltaT >= Tau
            time=j;
        end
        Aco=Aco-A1(i);
    end
end

```

```

Bco=Bco-B1(i);
Vdeco= Vdeco-Vdc(i);

A1(i)=IL(j)*cos((i-1)*2*pi*Tau/Tperiod);
B1(i)=IL(j)*sin((i-1)*2*pi*Tau/Tperiod);
Vdc(i)=Vc(j-1);

Aco=Aco+A1(i);
Bco=Bco+B1(i);
Vdeco=Vdeco+Vdc(i);

Vapf(j)=Vdcco/Npoints;
%*****FUZZY CONTROLLER*****
Inorm=.6;
Err=(Vref-Vapf(j))/105;
dErr=(Vapf(j-1)-Vapf(j))/2;
fuzzyout = evalfis([Err;dErr],fismat);

%*****Icap=Icap+fuzzyout*Inorm;
VcOld=Vc;
if Icap>Imax
    Icap=Imax;
end
if Icap<-Imax
    Icap=-Imax;
end
if coef+Npoints*Icap/2<0
    Icap=-2*coef/Npoints;
end

i=i+1;
if i>Npoints
    i=1;
    sampflag=0;
end
end
end

Vapf(j)=Vdcco/Npoints;

if (j-zerotime)*deltaT >= 1/f
    sampflag=1;

```

```

zerotime=j;
Nflag=1;
coef=sqrt(Aco^2+Bco^2);

end

if Nflag==1
    firstharmonic(j)=(coef+Icap*Npoints/2)*2*sin((j-
zerotime)*deltaT*2*pi*I/Tperiod)/Npoints;
    iref(j)=firstharmonic(j)-IL(j);

    If(j+1)=((Vs(j)-Vf(j)-(Rf+Rs)*If(j)-Rs*IL(j)-Ls*pIL(j))/(Ls+Lf))*deltaT+If(j);
    Vf(j+1)=Vf(j)+deltaT*If(j)/C;

    if swflag==1
        Vc(j)=Vf(j);
    else
        Vc(j)=-Vf(j);
    end

%*****HYSTERESIS BAND pwm*****
if Vs(j)>0
    LHB=.1;
    HHB=.3;
else
    LHB=.3;
    HHB=.1;
end
%*****SWITCHNG*****
if j-jsw2>2
    if ((j-jsw2)*deltaT >= (1/30000)-(jsw2-jsw1)*deltaT)
        if swflag==1
            if If(j)<=iref(j)-LHB %-Vdc
                swflag=0;
                jsw1=jsw2;
                jsw2=j;
                Vc(j)=Vf(j);
                Vf(j+1)=-Vc(j);
            end
        else
            if If(j)>=iref(j)+HHB %+Vdc
                swflag=1;
                jsw1=jsw2;
                jsw2=j;
            end
        end
    end

```

```

    Vc(j)=Vf(j);
    Vf(j+1)=Vc(j);
end
end
end
end
end
end

close(h)

Vpcc(1)=Vs(1);
jj=2:b;
Vpcc(jj)=Vs(jj)-Rs*(If(jj)+IL(jj))-Ls*(If(jj)+IL(jj)-(If(jj-1)+IL(jj-1)))/deltaT;

[x,y]=size(If);
If=If(:,[1:y-1]);

%*****PLOT OUTPUTS*****
a=100000:160000;
t1=t(:,[a]);
vpcc=Vpcc(:,[a]);
Is=IL(:,[a])+If(:,[a]);
iL=IL(:,[a]);
iF=If(:,[a]);
vc=Vc(:,[a]);
vapf=Vapf(:,[a]);

aa=0;
bb=0.25;

figure(1)
plot(t1,vpcc)
axis([aa bb -180 180])
xlabel('time')
ylabel('Vpcc(V)')

figure(2)
plot(t,Is)
axis([aa bb -20 20])
xlabel('time')
ylabel('Source Current(A)')

figure(3)
plot(t1,iL)
axis([aa bb -40 40])

```

```
xlabel('time')
ylabel('Load Current(A)')

figure(4)
plot(t1,iF)
axis([aa bb -40 40])
xlabel('time')
ylabel('APF Current(A)')

figure(5)
plot(t1,vc)
axis([aa bb 150 280])
xlabel('time')
ylabel('Capacitor Voltage')

figure(6)
plot(t1,vapf-1.)
axis([aa bb 150 280])
xlabel('Time(s)')
ylabel('DC BUS Voltage(V)')
```

Abstract

The computers are widely used in domestic and industrial applications. The computers are, mainly due to embedded switching power supplies, non-linear loads and generate undesired harmonics in the line current. These high frequency harmonics degrade the power quality, and result in voltage distortion. For a wide range of electronic devices it is important to compensate current harmonics using some form of filtering. In this thesis an active power filter (APF) is designed and simulated for compensation of current harmonics of a computer center. For designing APF, a current based model is considered for computers. The modified Fourier transform with sliding window is used for extracting fundamental component of the load current. The computer center and APF is modeled in MATLAB. Moreover an adaptive neuro-fuzzy inference system (ANFIS) is used for filter control and the results of these two methods are compared. Also, a fuzzy controller is designed for controlling DC bus voltage, and compared with linear controller. Simulations show that fuzzy controller is superior in the steady-state regime.

Keywords: Active filter, power quality, fuzzy controller, ANFIS.



**Shahrood University of Technology
Department of Electrical Engineering**

**Thesis Submitted for the Degree of Master of Science in Power
Engineering**

**Design and Simulation of
an Active Power Filter for Power Quality
Improvement of a Computer Center Based on
Fuzzy Logic**

By:
Khorasani Javid

Supervisors:

Ali Akbar Gharaveici (PHD)
S.Ebrahim Hosseini (PHD)

Summer 2005